

**INSTITUT TEKNOLOGI NASIONAL MALANG
FAKULTAS TEKNOLOGI INDUSTRI
JURUSAN TEKNIK ELEKTRO
PROGRAM STUDI TEKNIK ENERGI LISTRIK**



**REKONFIGURASI JARINGAN SISTEM DISTRIBUSI UNTUK
PERBAIKAN PELAYANAN DENGAN METODE *PARALLEL
SIMULATED ANNEALING (PSA)* PADA GARDU INDUK
BLIMBING - MALANG**

SKRIPSI

**Disusun Oleh :
AKHMAD MUSYAFAK
01.12.101**



MARET 2007

LEMBAR PERSETUJUAN

REKONFIGURASI JARINGAN SISTEM DISTRIBUSI UNTUK PERBAIKAN PELAYANAN DENGAN METODE PARALLEL *SIMULATED ANNEALING (PSA)* PADA GARDU INDUK BLIMBING - MALANG

SKRIPSI

*Disusun Guna Melengkapi dan Memenuhi Syarat-Syarat
Untuk Mencapai Gelar Sarjana Teknik Energi Listrik*

Disusun Oleh :

**AKHMAD MUSYAFAK
01.12.101**



**Mengetahui,
Ketua Jurusan Teknik Elektro (S-1)**

**Diperiksa dan Disetujui,
Dosen Pembimbing**

**Ir. F. Yudi Limpraptono, MT
NIP.Y.103 95 00274**

**Ir. H. Taufik Hidayat, MT
NIP.Y.101 87 00151**

**KONSENTRASI TEKNIK ENERGI LISTRIK
JURUSAN TEKNIK ELEKTRO S-1
FAKULTAS TEKNOLOGI INDUSTRI
INSTITUT TEKNOLOGI NASIONAL MALANG**

A B S T R A K S I

REKONFIGURASI JARINGAN SISTEM DISTRIBUSI UNTUK PERBAIKAN PELAYANAN DENGAN METODE *PARALLEL SIMULATED ANNEALING (PSA)* PADA GARDU INDUK BLIMBING - MALANG

(Akhmad Musyafak, Nim. 01.12.101, Teknik Elektro / T. Energi Listrik)
(Dosen Pembimbing : Ir. H Taufik Hidayat, MT.)

Kata Kunci : Jaringan Distribusi, Rekonfigurasi, *parallel simulated annealing*,
Keseimbangan Beban

Sistem distribusi merupakan bagian dari sistem tenaga listrik yang berfungsi untuk menyalurkan dan mendistribusikan tenaga listrik ke pusat-pusat beban atau konsumen. Permasalahan yang harus dihadapi jaringan distribusi adalah bagaimana menyalurkan daya yang baik pada saat tertentu maupun di masa yang akan datang. Kelemahan sistem distribusi yang hampir semuanya menggunakan sistem distribusi radial adalah sulitnya memenuhi aspek teknis. Hal ini karena lokasi beban dan variasi dari kerapatan beban yang menyebabkan tingginya rugi-rugi daya, jatuh tegangan pada saat proses penyaluran dan terjadinya ketidakseimbangan beban.

Skripsi ini mempresentasikan cara yang efektif dalam rekonfigurasi jaringan untuk menjaga keseimbangan beban sehingga akan dicapai rugi-rugi daya yang minimum menggunakan metode *parallel simulated annealing* (PSA) untuk memecahkan masalah secara *multiojektif* dengan pengaturan keadaan *switch normally open/normally closed* yang optimal.

Dari hasil rekonfigurasi jaringan distribusi pada penyulang-penyulang keluaran dari Trafo II Gardu Induk Blimbings Malang menggunakan metode PSA diperoleh hasil sebagai berikut: pada kondisi sebelum dilakukan rekonfigurasi status *switch* dalam keadaan *open* adalah *switch* 23, 24, 25 dan 26 dan pada kondisi setelah dilakukan rekonfigurasi status *switch* dalam keadaan *open* adalah *switch* 3, 4, 24, dan 13, rugi-rugi daya sebelum dilakukan rekonfigurasi jaringan adalah sebesar $0.193 + j0.295$ MVA dan setelah dilakukan rekonfigurasi jaringan rugi-rugi daya menjadi $0.165 + j0.252$ MVA atau turun sebesar $0.028 + j0.043$ MVA (14,51 %), nilai tegangan terendah sebelum rekonfigurasi sebesar 0,96445 pu yang terdapat pada bus 7, sedangkan setelah dilakukan rekonfigurasi nilai tegangan terendah sebesar 0,96975 pu pada bus 7

KATA PENGANTAR

Dengan memanjatkan puji syukur kepada Allah SWT , atas Karunia-Nya, sehingga penyusun dapat menyelesaikan skripsi ini dengan judul :

**"REKONFIGURASI JARINGAN SISTEM DISTRIBUSI UNTUK
PERBAIKAN PELAYANAN DENGAN METODE PARALLEL
SIMULATED ANNEALING (PSA) PADA GARU INDUK
BLIMBING - MALANG"**

Skripsi ini disusun sebagai salah satu persyaratan dalam menyelesaikan studi program strata satu (S-1) jurusan Teknik Elektro/Program Studi Teknik Energi Listrik, Fakultas Teknologi Industri, Institut Teknologi Nasional Malang

Sebelum dan selama penyusunan skripsi ini, penyusun telah banyak mendapatkan bantuan dan bimbingan dari berbagai pihak. Untuk itu pada kesempatan ini penyusun menyampaikan terima kasih yang sebesar-besarnya kepada :

1. Bapak Prof. Dr. Ir. Abraham Lomi, MSEE, selaku Rektor Institut Teknologi Nasional Malang.
2. Bapak Ir. Mochtar Asroni, MT, selaku Dekan Fakultas Teknik Industri Institut Teknologi Nasional Malang.
3. Bapak Ir. F. Yudi Limpraptono, MT, selaku Ketua Jurusan Teknik Elektro Fakultas Teknologi Industri Institut Teknologi Nasional Malang.
4. Bapak Ir. Yusuf Nakhoda, MT, selaku Sekretaris Jurusan Teknik Elektro Institut Teknologi Nasional Malang.
5. Bapak H. Ir. Taufik Hidayat, MT, selaku dosen pembimbing dalam penyusunan skripsi ini.

6. Bapak dan Ibu dosen jurusan Teknik Elektro Energi Listrik.
7. Teman-teman Teknik Elektro Energi Listrik, terima kasih atas bantuan kalian semua. Serta semua pihak yang turut membantu penyusun menyelesaikan skripsi ini.

Penyusun menyadari sepenuhnya akan segala kekurangan yang ada dalam penyusunan skripsi ini, maka dengan kerendahan hati penyusun mengharapkan kritik dan saran demi penyempurnaan skripsi ini.

Akhirnya penyusun berharap semoga dalam skripsi ini dapat membantu serta bermanfaat bagi rekan-rekan mahasiswa khususnya pada jurusan Teknik Elektro Energi Listrik.

Malang, March 2007

Penyusun

DAFTAR ISI

HALAMAN JUDUL	i
LEMBAR PERSETUJUAN	ii
ABSTRAKSI.....	iii
KATA PENGANTAR.....	iv
DAFTAR ISI	vi
DAFTAR GAMBAR.....	ix
DAFTAR TABEL	xii
DAFTAR GRAFIK	xii
BAB I PENDAHULUAN.....	1
1.1. Latar Belakang	1
1.2. Rumusan Masalah	2
1.3. Tujuan Pembahasan	2
1.4. Batasan Masalah.....	3
1.5. Metodologi Penelitian	3
BAB II SISTEM DISTRIBUSI TENAGA LISTRIK	5
2.1 Sistem Distribusi	5
2.2.1. Struktur Jaringan Radial.....	6
2.2.2. Struktur Jaringan Loop.....	7
2.2.3. Struktur Jaringan Grid atau Mesh	8
2.3. Macam-macam Struktur Jaringan Distribusi Radial.....	9

2.4.	Daya Sistem Distribusi.....	12
2.4.1.	Daya Nyata (<i>Real Power</i>)	12
2.4.2.	Daya Reaktif (<i>Reactive Power</i>).....	12
2.4.3.	Daya Kompleks (<i>Compleks Power</i>).....	13
2.5.	Sistem Per-Unit.....	13
2.6.	Beban Sistem Distribusi	16
2.7.	Rugi-rugi Jaringan.....	16
2.8.	Peralatan Hubung Pada Jaringan Distribusi.....	17
2.8.1.	Pemisah (Disconnecting Switch)	17
2.8.2.	Klasifikasi Pemisah Menurut Fungsi Kerjanya.....	18
BAB III METODE REKONFIGURASI.....		20
3.1.	Analisis Aliran Daya.....	20
3.1.1.	Tujuan	20
3.1.2.	Klasifikasi Bus	21
3.1.3.	Pembentukan Matrik Admitansi Simpul.....	22
3.1.4.	Penyelesaian Aliran Daya	23
3.1.5.	Metode Newton Raphson.....	25
3.2.	Metode Rekonfigurasi Jaringan	30
3.3.	Teori Dasar Simulated Annealing (SA)	32
3.3.1.	Pengenalan Konsep Simulated Annealing	32
3.3.2.	Analogi Pada Pemanasan Fisik (<i>physical annealing</i>)	32
3.3.3.	<i>Parallel Simulated Annealing</i> (PSA).....	33
3.3.4.	Fungsi Objektif Dan Batasan-Batasan	34

3.3.5. Algoritma <i>Parallel Simulated Annealing</i>	36
BAB IV ANALISIS DAN HASIL PROGRAM REKONFIGURASI	
JARINGAN DISTRIBUSI	38
4.1. Program Komputer Metode Rekonfigurasi Jaringan	38
4.2. Algoritma Program.....	38
4.2.1. Flowchart Program.....	39
4.2.2. Algoritma Program Aliran Daya Metode Newton Raphson.....	40
4.2.3. <i>Flowchart</i> Perhitungan Aliran Daya Metode Newton Raphson.....	41
4.3. Sistem Distribusi GI Climbing	41
4.4. Analisis Perhitungan Aliran Daya Sebelum Rekonfigurasi	45
4.5. Analisis Rekonfigurasi Jaringan	46
4.5.1. Analisis Perhitungan Rekonfigurasi Jaringan	47
4.5.2. Hasil Perhitungan Aliran Daya Setelah Rekonfigurasi.....	49
4.6. Hasil Dan Analisis Hasil	52
4.6.1. Tampilan Program.....	52
BAB V PENUTUP.....	59
5.1. Kesimpulan	59
5.2. Saran	59
DAFTAR PUSTAKA	
LAMPIRAN	

DAFTAR GAMBAR

Gambar 2.1. Skema Gardu Induk yang dihubungkan melalui Jaringan Tegangan Menengah (JTM) hingga ke Pelanggan.....	6
Gambar 2.2. Sistem Jaringan Radial	7
Gambar 2.3. Struktur Jaringan Loop.....	8
Gambar 2.4. Struktur Jaringan Mesh.....	8
Gambar 2-5. Sistem Jaringan Distribusi Radial Dengan <i>Tie</i> dan <i>Switch</i> Pemisah	10
Gambar 2-6. Jaringan Radial Dengan Beban Terpusat	11
Gambar 2-7. Jaringan Distribusi Radial Dengan Phase Area	12
Gambar 2.8. Rugi-rugi Pada Bagian Sistem Tenaga.....	17
Gambar 3.1. Diagram Skematik Tipe (a) NC <i>switch</i> dan (b) NO <i>switch</i>	31
Gambar 4.1. Konfigurasi Jaringan Radial dari <i>Single Line Diagram</i> GI Blimbing Malang (Kondisi awal).....	42
Gambar 4.2. Konfigurasi Jaringan dengan Penutupan <i>Tie Switch</i> Sebelum Dilakukan Rekonfigurasi	47
Gambar 4.3. Kondisi Jaringan Setelah Rekonfigurasi	49
Gambar 4.4. Tampilan Utama Program	52
Gambar 4.5. Tampilan monitor client.....	52
Gambar 4.6. Tampilan Setting Pc Client	53
Gambar 4.7. Tampilan Data Program	53
Gambar 4.8. Tampilan Load Flow Pada Kondisi Awal	54
Gambar 4.9. Tampilan Aliran Daya Pada Kondisi Awal.....	54

Gambar 4.10. Tampilan Hasil Perhitungan Aliran Daya Sebelum Restorasi	55
Gambar 4.11. Tampilan Parameter Psa.....	55
Gambar 4.12. Tampilan Load Flow Pada Kondisi Akhir	56
Gambar 4.13 Tampilan Aliran Daya Pada Kondisi Akhir.....	56
Gambar 4.14 Tampilan Hasil Perhitungan Aliran Daya Sesudah Restorasi.....	57
Gambar 4.15 Tampilan Hasil Kombinasi Open Switch.....	57

DAFTAR TABEL

Tabel 4.1.	Hasil Perhitungan Daya dan Impedansi Saluran Jaringan Distribusi GI Blimbing Malang	44
Tabel 4.2	Hasil Perhitungan Aliran Daya Sebelum Rekonfigurasi	45
Tabel 4.3	Hasil Perhitungan Rugi-rugi Daya Sebelum Rekonfigurasi.....	46
Tabel 4.4	Hasil Kombinasi Optimal <i>Switch</i>	49
Tabel 4.5	Hasil Perhitungan Aliran Daya Setelah Rekonfigurasi	50
Tabel 4.6	Hasil Perhitungan Rugi-rugi Daya Setelah Rekonfigurasi.....	51

DAFTAR GRAFIK

Grafik 4.1.	Grafik Hasil Pembangkitan , Pembebanan dan Rugi-rugi Daya Sebelum Rekonfigurasi	46
Grafik 4.2.	Grafik Hasil Pembangkitan , Pembebanan dan Rugi-rugi Daya Setelah Rekonfigurasi.....	51
Grafik 4.3,	Grafik Perbandingan Tegangan Sebelum dan Setelah Rekonfigurasi	58

BAB I

PENDAHULUAN

1.1. Latar Belakang

System distribusi merupakan bagian dari system tenaga listrik yang berfungsi untuk menyalurkan dan mendistribusikan tenaga listrik ke pusat-pusat beban atau konsumen. Kelemahan system distribusi yang hampir semuanya menggunakan system radial yakni sulitnya memenuhi aspek teknis. Hal ini karena lokasi beban dan variasi dari kerapatan beban yang menyebabkan tingginya rugi-rugi daya dan jatuh tegangan pada saat proses penyalurannya.

Beranjak dari hal di atas, produsen energi listrik harus benar-benar memperhatikan dan mengusahakan penyaluran energi listrik yang baik kepada pelanggan, mulai dari system transmisi tenaga sampai dengan system distribusi. Lebih ditekankan dalam hal ini adalah system distribusi karena akan berhubungan langsung dengan pemakai atau konsumen energi listrik.

Akan tetapi dalam penyaluran tenaga listrik sering kali terjadi banyak gangguan. Gangguan yang terjadi pada system distribusi merupakan hambatan dalam kontinuitas penyaluran. Sehingga jika terjadi gangguan pada suatu daerah, maka hal ini jangan sampai mengganggu penyaluran listrik ke konsumen di daerah lain.

Dalam skripsi ini mencoba untuk menganalisis metode parallel simulated annealing untuk perbaikan pelayanan system distribusi yang disebabkan adanya gangguan pada suatu daerah yaitu dengan pengaturan membuka atau menutup pemutus daya (*switch*) pada penyulang sehingga rugi-rugi bisa seminimal

mungkin. Penggunaan program komputer digunakan untuk menunjukkan keefektifan metode parallel simulated annealing.

1.2. Rumusan Masalah

untuk perbaikan pelayanan pada suatu daerah yang mengalami gangguan, maka pemikiran yang muncul pertama kali adalah perlu adanya metode alternatif untuk menentukan *switch-switch* mana yang optimal untuk dihuka atau ditutup sehingga didapatkan rugi-rugi seminimal mungkin dan kontinuitas penyaluran daya listrik tetap terjaga.

dari permasalahan diatas, maka judul yang diangkat adalah:

rekonfigurasi jaringan sistem distribusi untuk perbaikan pelayanan dengan metode *parallel simulated annealing (psa)* pada gardu induk blimbing - malang

1.3. Tujuan Pembahasan

tujuan dari penulisan skripsi ini adalah :

1. merekonfigurasi jaringan untuk menentukan switch-switch yang optimal apabila terjadi gangguan.
2. untuk mereduksi rugi-rugi daya pada system distribusi.
3. memperbaiki profil tegangan.

1.4. Batasan Masalah

agar permasalahan mengarah sesuai dengan tujuan, maka dibatasi ruang lingkupnya sebagai berikut :

1. beban diasumsikan beban 3 fasa seimbang.
2. sistem distribusi GI blimbing merupakan struktur jaringan radial
3. tidak membahas jenis dan penyebab terjadinya gangguan
4. gangguan diasumsikan pada saluran 4-5 penyulang mawar.
5. tidak membahas cara pengontrolan *switch* yang dilakukan.
6. metode yang digunakan adalah metode parallel simulated annealing.
7. tidak membahas secara detail mengenai aliran daya.
8. data dan acuan diambil pada penyulang dari trafo II GI blimbing malang

1.5. Metode Pembahasan

Metode yang digunakan dalam pembahasan skripsi ini dilakukan dengan langkah-langkah :

1. studi literature

yaitu kajian pustaka dengan mempelajari teori-teori yang terkait melalui literatur yang ada, yang berhubungan dengan permasalahan.

2. pengumpulan data

bentuk data yang digunakan adalah:

- Data kuantitatif yaitu data yang dapat dihitung atau data yang berbentuk angka yaitu data pembangkitan dan pembebanan penyulang

- penyulang GI malang.

- Data kualitatif yaitu data yang berbentuk diagram. Dalam hal ini adalah single line diagram penyulang (GI climbing malang).

Keseluruhan data diambil dari PT.PLN distribusi jawa timur cabang malang.

3. Simulasi dan analisa data

Analisa aliran daya tiap saluran menggunakan metode *Newton raphson*, sedangkan untuk menentukan *switch-switch* yang optimal menggunakan metode parallel simulated annealing pemrograman computer.

4. merancang perangkat lunak (*software*) dengan menggunakan program parallel simulated annealing, untuk menentukan *switch-switch* yang optimal untuk dibuka atau ditutup apabila terjadi gangguan
5. menarik kesimpulan.



BAB II

SISTEM DISTRIBUSI TENAGA LISTRIK

2.1. Sistem Distribusi

Sistem distribusi merupakan bagian dari sistem tenaga listrik yang berperan dalam mendistribusikan tenaga listrik dari Gardu Induk (GI) sampai ke konsumen.

Sistem distribusi dapat dibedakan menjadi 2 bagian yaitu:

1. Jaringan Distribusi Primer (Jaringan Tegangan Menengah)

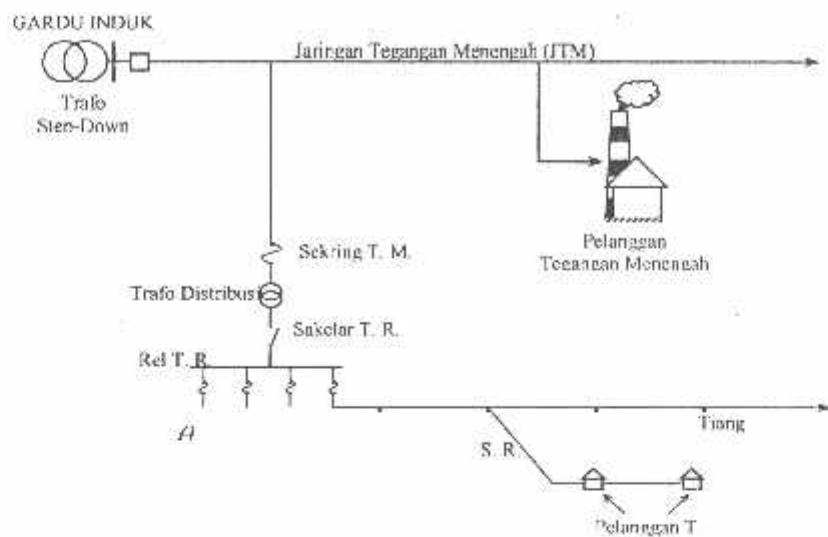
Jaringan distribusi primer merupakan sistem tenaga listrik yang menyalurkan energi listrik antara Gardu Induk sampai Gardu Distribusi dengan tegangan 20 kV atau 6 kV.

2. Jaringan Distribusi Sekunder (Jaringan Tegangan Rendah)

Jaringan distribusi sekunder merupakan jaringan tegangan listrik yang menyalurkan energi listrik antara Gardu Distribusi sampai ke konsumen dengan tegangan 110 atau 220 Volt.

Secara garis besar jaringan distribusi diklasifikasikan menjadi:

1. Struktur Jaringan Radial.
2. Struktur Jaringan *Loop* (Lingkaran).
3. Struktur Jaringan *Grid* atau *Mesh*



Keterangan: T. M. = Tegangan Menengah

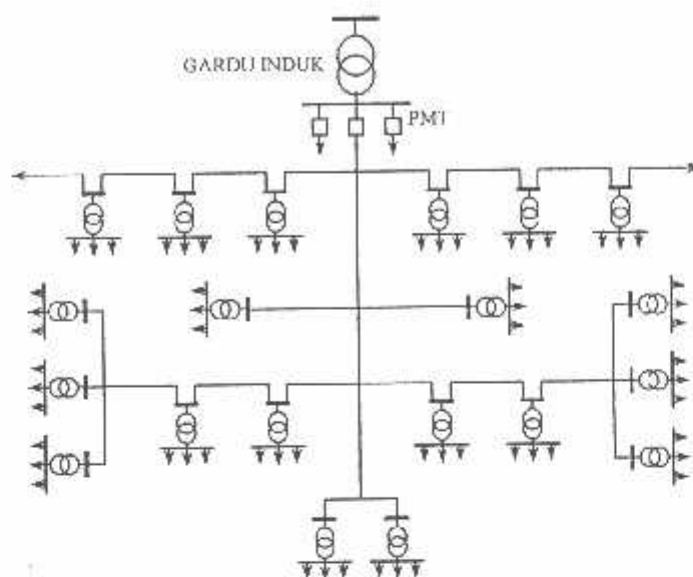
T. R. = Tegangan Rendah

S. R. = Sambungan Rumah

Gambar 2-1. Skema Gardu Induk yang dihubungkan melalui Jaringan Tegangan Menengah (JTM) hingga ke Pelanggan

2.2.1. Struktur Jaringan Radial

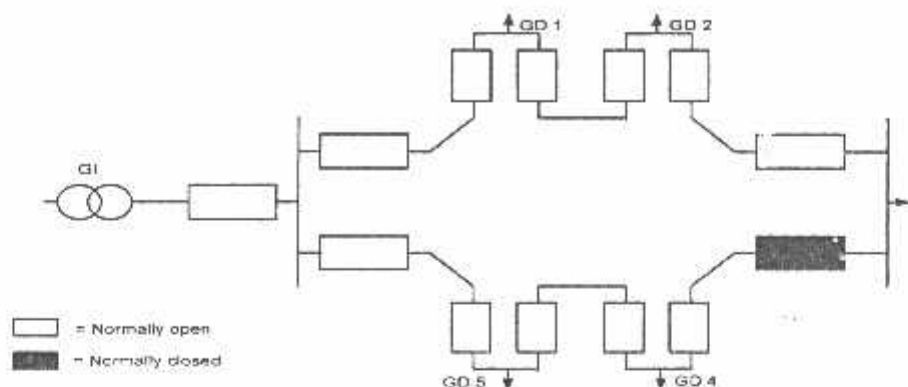
Struktur jaringan radial merupakan struktur jaringan yang paling sederhana dan paling murah biaya pembangunannya. Struktur jaringan ini dalam menyalurkan energi listrik, keandalannya kurang. Suatu gangguan pada penyulang dapat mengakibatkan gangguan dalam penyaluran energi listrik ke konsumen yang berada di belakang titik gangguan.



Gambar 2-2. Sistem Jaringan Distribusi Radial

2.2.2. Struktur Jaringan Loop

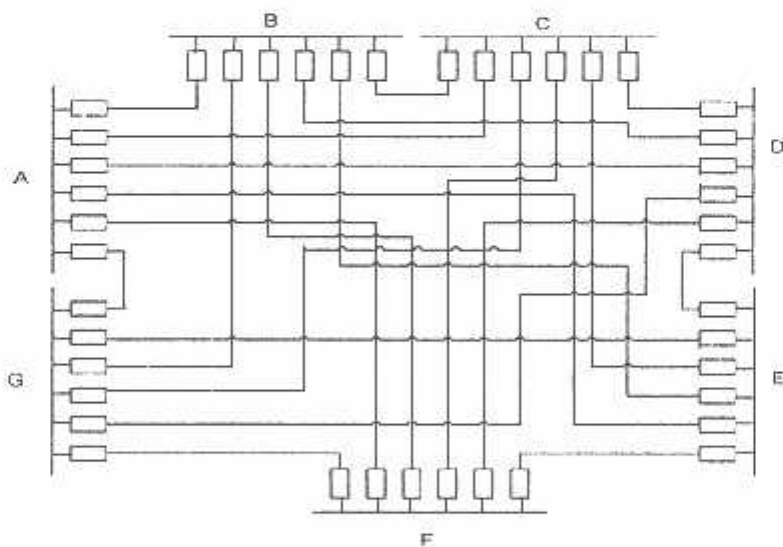
Struktur jaringan *loop* merupakan gabungan dari dua struktur jaringan radial, dimana pada ujung kedua jaringan dipasang sebuah pemutus atau pemisah. Pada saat terjadi gangguan, setelah gangguan dapat diisolir, maka pemutus atau pemisah ditutup sehingga aliran daya listrik ke bagian yang tidak terkena gangguan tidak berhenti. Dalam kondisi normal, jaringan ini merupakan dua struktur jaringan radial. Struktur jaringan ini mempunyai keandalan yang cukup, sehingga biaya pembangunannya lebih mahal dibandingkan dengan biaya struktur jaringan radial.



Gambar 2.3 Struktur Jaringan Loop

2.2.3. Struktur Jaringan Grid atau Mesh

Struktur jaringan ini merupakan kombinasi antara struktur jaringan radial dengan struktur jaringan *loop*. Titik beban memiliki lebih banyak alternatif penyulang, sehingga bila salah satu penyulang terganggu maka dengan segera dapat digantikan oleh penyulang yang lain, dengan demikian kontinyuitas penyaluran daya dapat terjamin.



Gambar 2.4 Struktur Jaringan Mesh

2.3. Macam-macam Struktur Jaringan Distribusi Radial

Tipe jaringan ini merupakan bentuk dasar, susunan maupun kebutuhan alat-alat penunjang paling sedikit dan paling sederhana. Tipe ini paling banyak digunakan untuk melayani konsumen terutama beban-beban rumah tangga yang tidak menuntut tingkat kontinyuitas pelayanan yang tinggi. Sumber daya pada tipe ini hanya dari satu titik.

Salurannya dicabang-cabang menuju ke titik-titik beban, dan antara titik sumber dengan titik beban hanya ada satu pilihan. Dengan demikian bila salah satu saluran cabang mengalami gangguan maka seluruh beban yang ada di saluran tersebut akan mengalami pemadaman total.

Jaringan distribusi tipe radial mempunyai beberapa keuntungan dan kelemahan sebagai berikut:

Keuntungan jaringan radial :

1. Bentuknya sederhana dibandingkan dengan bentuk yang lain.
2. Biaya investasinya relatif murah karena saluran menuju ke titik beban hanya tersedia satu jalur.

Kerugian jaringan radial :

1. Kualitas pelayanan (penyaluran daya) dibanding dengan tipe yang lain lebih jelek, sebab jatuh tegangan dan rugi daya relatif besar. Kerugian ini terjadi di saluran.
2. Kontinyuitas penyaluran daya tidak terjamin dengan hanya mengandalkan satu saluran, maka bila terjadi gangguan pada saluran tersebut tidak dapat diharapkan *supply* dari saluran lain.

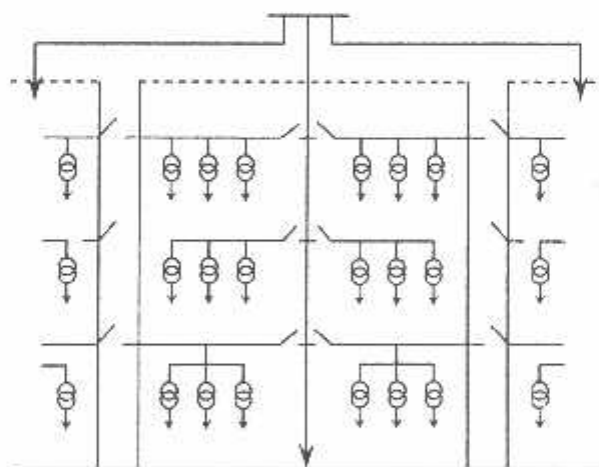
Jaringan radial ini dalam perkembangannya mengalami beberapa bentuk modifikasi sehingga dikenal beberapa macam jaringan distribusi radial, yaitu:

1. Sistem radial pohon.

Sistem radial jaringan pohon ini merupakan bentuk yang paling dasar dari sistem jaringan radial. Saluran utama (*main feeder*) ditarik dari suatu Gardu Induk sesuai dengan kebutuhan kemudian dicabangkan melalui saluran cabang (*lateral feeder*), selanjutnya dicabangkan lagi melalui saluran anak cabang (*sub lateral feeder*). Ukuran dari masing-masing saluran tergantung dari besar arus yang ditanggung. Dari gambar 2-2, *main feeder* merupakan saluran yang dialiri arus terbesar, selanjutnya arus mengcil pada setiap cabang dari besarnya beban.

2. Sistem radial dengan *tie* dan *switch* pemisah

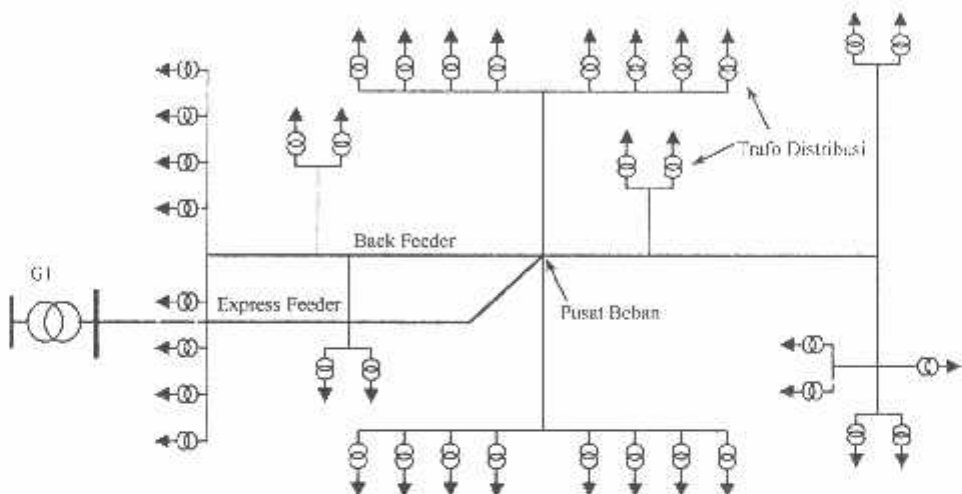
Sistem ini merupakan pengembangan dari sistem radial pohon, untuk meningkatkan keandalan sistem saat terjadi gangguan maka *feeder* yang terganggu akan dilokalisir sedangkan area yang semula dilayani *feeder* tersebut pelayanannya dialihkan pada *feeder* yang sehat atau yang tidak terganggu. Sistem radial dengan *Tie* dan *Switch* pemisah dapat dilihat pada gambar 2-5.



Gambar 2-5. Sistem Jaringan Distribusi Radial Dengan *Tie* dan *Switch* Pemisah

3. Sistem radial dengan pusat beban.

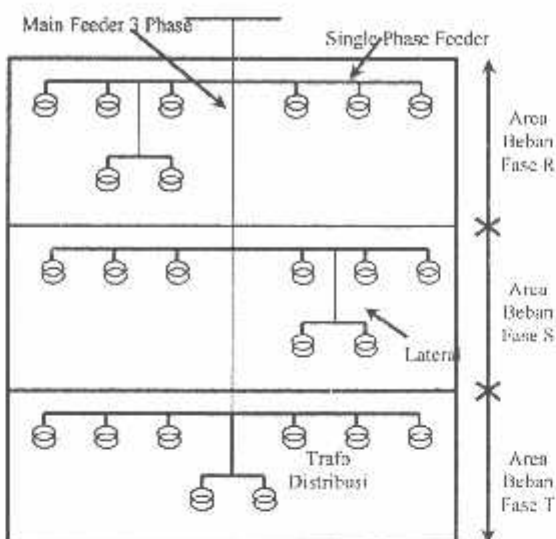
Bentuk dari sistem ini mensuplai daya dengan menggunakan *main feeder* yang disebut *express feeder* langsung ke pusat beban, dan dari titik pusat beban ini disebut dengan menggunakan *back feeder* secara radial seperti terlihat pada gambar 2-6.



Gambar 2-6. Jaringan Radial Dengan Beban Terpusat

4. Sistem radial dengan pembagian daerah phasa (*Phase Area*).

Pada bentuk ini masing-masing fasa dari jaringan bertugas melayani daerah beban yang berlainan. Bentuk ini dapat menimbulkan kondisi sistem tiga fasa yang tidak seimbang (simetris), bila digunakan pada daerah beban yang baru dan belum mantap pembagian bebannya. Contoh dari sistem jaringan ini dapat dilihat pada gambar 2-7.



Gambar 2-7. Jaringan Distribusi Radial Dengan Phase Area

2.4. Daya Sistem Distribusi

Daya merupakan banyaknya perubahan energi terhadap waktu dalam bentuk tegangan dan arus.

2.4.1. Daya Nyata (*Real Power*)

Daya nyata dinyatakan dalam persamaan :

$$P = |V| |I| \cos \phi \dots \quad (2.1)$$

Daya nyata untuk beban 3 fasa seimbang :

$$P = \sqrt{3} |V_{jala-jala}| |I_{jala-jala}| \cos \phi \dots \quad (2.2)$$

2.4.2. Daya Reaktif (*Reactive Power*)

Daya reaktif dinyatakan dalam persamaan :

$$Q = |V| |I| \sin \phi \dots \quad (2.3)$$

Daya reaktif untuk beban 3 fasa seimbang :

$$Q = \sqrt{3} |V_{jala-jala}| |I_{jala-jala}| \sin \phi \dots \quad (2.4)$$

2.4.3. Daya Kompleks (*Compleks Power*)

Daya kompleks dinyatakan dalam persamaan :

$$S = |V| |I| \dots \quad (2.5)$$

Daya kompleks untuk beban 3 fasa scimbang :

$$S = \sqrt{3} |V_{\text{phase-phase}}| |I_{\text{phase-phase}}| \dots \quad (2.6)$$

Persamaan (2.2), (2.4), (2.6) di atas berlaku tanpa memandang beban dihubungkan secara segi tiga (Δ) atau bintang (Y).

2.5. Sistem Per-Unit

Sistem tenaga listrik dioperasikan pada tingkat tegangan di mana kilovolt merupakan unit yang sangat memudahkan untuk menyatakan tegangan. Karena besarnya daya yang harus disalurkan, kilowatt atau megawatt dan kilovolt-ampere atau megavolt-ampere adalah istilah-istilah yang sudah biasa dipakai. Tetapi, kuantitas-kuantitas tersebut di atas bersama-sama dengan ampere dan ohm sering juga dinyatakan sebagai suatu persentase atau per unit dari suatu nilai dasar atau referensi yang ditentukan untuk masing-masing. Definisi nilai per unit untuk suatu kuantitas ialah perbandingan kuantitas tersebut terhadap nilai dasarnya yang dinyatakan dalam desimal.

Tegangan, arus, kilovoltampere dan impedansi mempunyai hubungan sedemikian rupa sehingga pemilihan nilai dasar untuk dua saja dari kuantitas-kuantitas tersebut sudah dengan sendirinya menentukan nilai dasar untuk kedua kuantitas yang lainnya. Jika nilai dasar dari arus dan tegangan sudah dipilih, maka nilai dasar dari impedansi dan kilovoltampere dapat ditentukan. Impedansi dasar

adalah impedansi yang akan menimbulkan jatuh tegangan (*volt drop*) padanya sendiri sebesar tegangan dasar, jika arus yang mengalirinya sama dengan arus dasar. Kilovoltampere dasar pada sistem fasa tunggal adalah hasil perkalian dari tegangan dasar dalam kilovolt dengan arus dasar dalam ampere. Biasanya megavoltampere dasar dan tegangan dasar dalam kilovolt adalah kuantitas yang dipilih untuk menentukan dasar atau referensi. Jadi untuk sistem fasa tunggal atau sistem tiga fasa di mana istilah arus berarti arus saluran, istilah tegangan berarti tegangan ke netral, dan istilah kilovoltampere berarti kilovoltampere perfasa, berlaku rumus-rumus berikut ini untuk hubungan bermacam-macam kuantitas :

$$\text{Arus dasar} = \frac{\text{dasar kVA}_{1\alpha}}{\text{tegangan dasar, kV}_{LN}} \quad \dots \dots \dots \quad (2.7)$$

$$\text{Impedansi dasar} = \frac{\text{tegangan dasar, V}_{LN}}{\text{arus dasar, A}} \quad \dots \dots \dots \quad (2.8)$$

$$\text{Impedansi dasar} = \frac{(\text{tegangan dasar, kV}_{LN})^2 \times 1000}{\text{dasar kVA}_{1\alpha}} \quad \dots \dots \dots \quad (2.9)$$

$$\text{Impedansi dasar} = \frac{(\text{tegangan dasar, kV}_{LN})^2}{\text{dasar MVA}_{1\alpha}} \quad \dots \dots \dots \quad (2.10)$$

$$\text{Daya dasar, kW}_{1\alpha} = \text{dasar kVA}_{1\alpha} \quad \dots \dots \dots \quad (2.11)$$

$$\text{Daya dasar, MW}_{1\alpha} = \text{dasar MVA}_{1\alpha} \quad \dots \dots \dots \quad (2.12)$$

$$\text{Impedansi per unit suatu elemen rangkaian} = \frac{\text{impedansi sebenarnya, } \Omega}{\text{impedansi dasar, } \Omega} \quad \dots \dots \dots \quad (2.13)$$

Dalam persamaan di atas, subkrip 1θ dan LN berturut-turut menunjukkan "per fasa" dan "saluran ke netral", untuk persamaan-persamaan yang berlaku bagi rangkaian tiga fasa. Jika persamaan-persamaan itu dipakai untuk rangkaian berfasa tunggal, kV_{LN} berarti tegangan pada saluran berfasa tunggal atau tegangan saluran ke tanah jika salah satu salurannya di ketanahkan.

Impedansi dasar dan arus dasar dapat langsung dihitung dari nilai-nilai tiga dasar untuk kilovolt dasar dan kilovoltampere dasar. Jika kita mengartikan bahwa kilovoltampere dasar dan tegangan dasar dalam kilovolt berturut-turut sama dengan kilovoltampere dasar untuk total tiga fasa dan tegangan dasar antar saluran maka kita peroleh :

$$\text{arus dasar} = \frac{\text{dasar kVA}_{3\theta}}{\sqrt{3} \times \text{tegangan dasar, } kV_{LL}} \quad \dots \dots \dots (2.14)$$

dan dari persamaan (2.9)

$$\text{Impedansi dasar} = \frac{(\text{tegangan dasar, } kV_{LL}/\sqrt{3})^2 \times 1000}{\text{dasar kVA}_{3\theta} / 3 \text{ dasar}} \quad \dots \dots \dots (2.15)$$

$$\text{Impedansi dasar} = \frac{(\text{tegangan dasar, } kV_{LL})^2 \times 1000}{\text{dasar kVA}_{3\theta} \text{ dasar}} \quad \dots \dots \dots (2.15)$$

$$\text{Impedansi dasar} = \frac{(\text{tegangan dasar, } kV_{LL})^2}{\text{dasar MVA}_{3\theta} \text{ dasar}} \quad \dots \dots \dots (2.16)$$

2.6. Beban Sistem Distribusi

Secara garis besar beban dapat diklasifikasikan menjadi 3, yaitu:

1. Beban Perumahan (Rumah Tangga).

Beban rumah tangga pada umumnya berupa penerangan, kipas angin, alat-alat rumah tangga, dan lain-lain.

2. Beban Komersial.

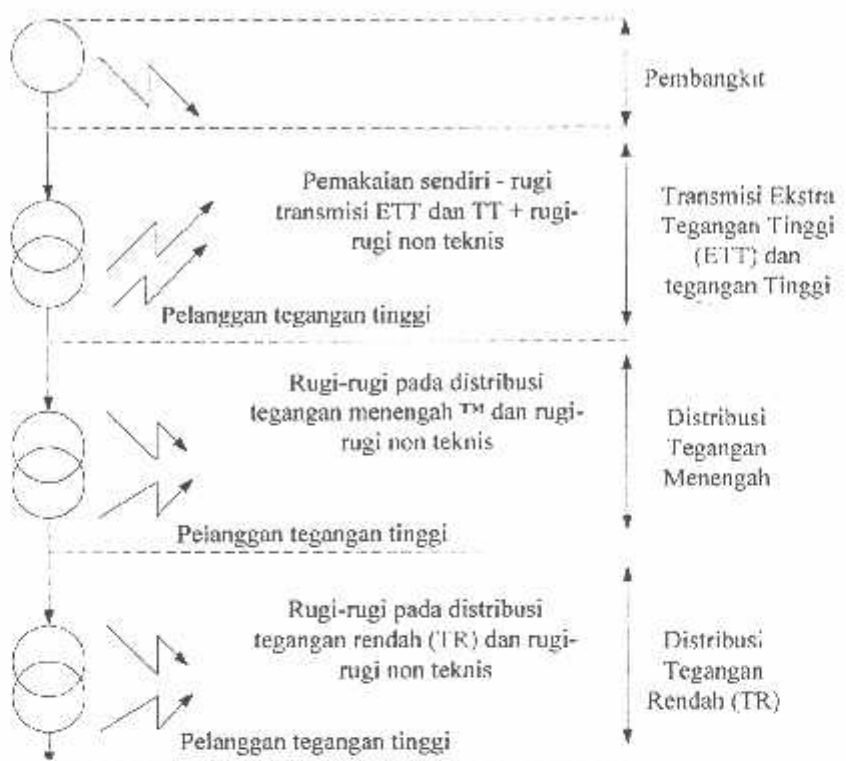
Beban komersial pada umumnya berupa penerangan toko, reklame dan lain-lain.

3. Beban Industri.

Beban industri diklasifikasikan menjadi dua yaitu skala besar dan skala kecil.

2.7. Rugi-rugi Jaringan

Dalam proses penyaluran energi listrik ke pelanggan terjadi rugi-rugi teknis (*losses*), yaitu rugi daya dan rugi energi. Rugi ini dimulai dari pembangkit, transmisi dan distribusi. Rugi-rugi teknis adalah pada penghantar saluran, adanya tahanan dari penghantar yang dialiri arus, timbulah rugi-rugi teknis (I^2R) pada jaringan tersebut. Pada gambar 2.8 rugi teknis tersebut terdapat pada saluran dan transformator. Rugi teknis pada penyaluran merupakan penjumlahan dari I^2R atau rugi tahanan. Rugi teknis dari jaringan tenaga listrik tergantung dari macam pembebanan pada saluran tersebut (beban merata, terpusat).



Keterangan :

—→ = Aliran daya dan energi

○ = Pembangkit

○○ = Trafo

↙ ↘ = Rugi-rugi

Gambar 2.8. Rugi-rugi Pada Bagian Sistem Tenaga

2.8. Peralatan Hubung Pada Jaringan Distribusi

2.8.1. Pemisah (*Disconnecting Switch*)

Fungsi pemisah ialah untuk memutuskan/menghubungkan rangkaian listrik dalam keadaan tanpa beban.

2.8.2. Klasifikasi Pemisah Menurut Fungsi Kerjanya

a. *Disconnecter*

adalah alat pemutus rangkaian listrik dalam keadaan tanpa beban, yang putus lidahnya dapat dilihat mata.

b. *Pole Top Switch*

adalah alat yang digunakan untuk mengisolir jaringan dengan pemutusan dapat dilihat dengan mata, hanya dapat untuk melepaskan atau memasukkan jaringan dengan keadaan tanpa beban dan tidak dapat memutuskan jaringan dengan sendirinya (otomatis) pada waktu ada gangguan, pemasangan hanya pada tiang listrik (pasangan luar).

c. *Air Break Switch*

adalah alat yang digunakan untuk mengisolir (memisahkan) jaringan dengan pemutusan dapat dilihat dengan mata, dapat digunakan untuk memasukkan dan melepaskan beban kurang dari I nominal (misal 30 % dari I nominal), tidak akan terbuka dengan sendirinya bila ada gangguan. Pemasangan dapat di luar maupun di dalam.

d. *Load Break Switch*

adalah sakelar pemutus beban yang dapat digunakan sebagai pemisah ataupun pemutus tenaga dengan beban nominal. Tidak dapat membuka secara otomatis pada waktu gangguan, dibuka/ditutup hanya untuk memanipulasi beban.

e. *Sectionalizer*

adalah alat pemutus rangkaian yang dapat memisahkan saluran utama beberapa seksi secara otomatis, agar pada keadaan gangguan permanen, luas

daerah atau jaringan yang harus dibebaskan di sekitar lokasi gangguan sekecil mungkin. *Sectionalizer* yang dipakai antara lain AVS (*Automatic Vacum Switch*), yaitu peralatan yang digunakan sebagai pemutus saluran (beban) bila sisi yang satu terjadi gangguan sehingga sebagian dari saluran masih dapat dipasok dari sisi saluran yang lain setelah sisi yang terganggu terisolir. Berlangsung secara otomatis, dengan media hampa udara, kerjanya berdasar sensor tegangan.

BAB III

METODE REKONFIGURASI

Dalam analisis metode rekonfigurasi diperlukan suatu proses aliran daya untuk mengetahui tegangan pada bus beban dan rugi-rugi daya pada saluran. Oleh karena itu pembahasan selanjutnya sebelum membahas proses rekonfigurasi adalah analisis aliran daya menggunakan metode *Newton Rapshon*.

3.1. Analisis Aliran Daya

3.1.1. Tujuan

Dalam analisis aliran daya dilakukan perhitungan tegangan, arus, daya nyata dan daya reaktif yang terdapat pada berbagai titik dalam suatu jala-jala listrik pada keadaan pengoperasian normal untuk sekarang dan akan datang .

Tujuan dari aliran daya:

1. Untuk menentukan daya nyata dan daya reaktif.
2. Untuk mengetahui apakah semua peralatan pada sistem memenuhi batas-batas yang telah ditetapkan untuk operasi penyaluran daya.
3. Untuk mengetahui kondisi awal pada perencanaan sistem yang baru.
4. Untuk mengetahui daya yang mengalir pada tiap saluran jaringan tenaga listrik.

Dalam analisis aliran daya terdapat 3 jenis variabel :

1. Variabel bebas, misalnya $|V|$ dan δ pada bus beban atau δ dan Q pada bus generator.

2. Variabel tidak bebas, misalnya P dan $|V|$ pada bus generator.
3. Variabel yang tidak dapat diatur, misalnya kebutuhan konsumen.

3.1.2. Klasifikasi Bus

Tujuan aliran daya pada sistem tenaga listrik adalah untuk menghitung besar tegangan $|V|$ dan sudut fasa tegangan δ pada semua bus, sehingga dengan diketahuinya parameter-parameter tersebut akan dapat dihitung besar daya yang mengalir beserta rugi-ruginya.

Pada setiap bus dari jaringan terdapat parameter sebagai berikut:

1. Daya nyata, dinyatakan dengan P satuannya MW.
2. Daya reaktif, dinyatakan dengan Q satuannya MVAR.
3. Besar (*magnitude*) tegangan, dinyatakan dengan $|V|$ satuannya kV.
4. Sudut fasa tegangan, dinyatakan dengan δ satuannya derajat.

Untuk 1 dan 2 menyatakan daya yang dibangkitkan oleh generator yang mengalir ke bus. Jika pada bus terdapat beban maka daya tersebut menyatakan selisih antara daya yang dibangkitkan dengan beban.

Dalam aliran daya, pada setiap bus perlu diketahui 2 parameter dari 4 parameter yang diperhitungkan. Dengan melihat dua parameter tersebut dapat diketahui jenis busnya, yaitu:

1. Bus Beban (*Load Bus*) (PQ)

Pada bus ini hanya terdapat kebutuhan daya untuk beban dimana P daya aktif dan Q daya reaktif diketahui, sementara $|v|$ dan δ berubah-ubah menurut kebutuhan. Oleh karena itu, $|v|$ dan δ harus ditentukan (dicari).

2. Bus Generator (PV)

Pada bus ini hanya terdapat daya pembangkitan dimana $|v|$ diatur menggunakan regulator tegangan dan P diatur dengan governor. Sehingga untuk bus ini P dan $|v|$ diketahui. Sementara Q (daya reaktif) dan δ (sudut fasa) dicari.

3. Bus Slack

Pada bus ini $|v|$ dan δ sudah ditentukan besarnya sementara P dan Q dihitung. Biasanya nilai $|v|$ adalah 1 p.u, sedangkan sudut fasa tegangan δ berharga 0, karena itu fasor tegangan dari bus dipakai sebagai referensi.

3.1.3. Pembentukan Matrik Admitansi Simpul

Suatu rangkaian yang mempunyai n simpul (termasuk simpul referensi) dapat ditulis dalam bentuk persamaan arus:

$$I_1 = Y_{11}V_1 + Y_{12}V_2 + \dots + Y_{1n}V_n$$

$$I_2 = Y_{21}V_1 + Y_{22}V_2 + \dots + Y_{2n}V_n$$

$$I_n = Y_{n1}V_1 + Y_{n2}V_2 + \dots + Y_{nn}V_n$$

$$\text{atau } I_p = \sum_{q=1}^n Y_{pq}V_{pq} \quad \dots \dots \dots \quad (3.1)$$

Dengan : $P = 1, 2, 3, \dots, n$

I_p = arus yang masuk ke simpul p.

V_q = tegangan simpul q terhadap referensi.

Y_{pq} = admitansi antara simpul p dan q.

Persamaan di atas dapat ditulis dalam bentuk matrik sebagai berikut:

$$I_{bus} = Y_{bus} \cdot V_{bus} \quad \dots \dots \dots \quad (3.2)$$

Dengan : $I_{b,w}$ = matrik kolom vektor arus simpul.

Y_{hus} = matrik kolom vektor admitansi simpul.

V_{bys} = matrik kolom vektor tegangan simpul.

Elemen dari Y_{bus} matrik adalah arus yang mengalir pada simpul jaringan dimana terdapat unit sumber tegangan atau simpul referensi.

Untuk elemen diagonal Y_{pp} unit sumber dipasang pada simpul terhadap

- referensi dan diukur arus yang melalui elemen tersebut, dimana semua simpul yang lain dihubung singkat, sedangkan elemen bukan diagonal Y_{pq} diukur arus pada simpul p dimana unit sumber tegangan dipasang pada simpul q, sedangkan simpul yang lain dihubung singkat, jika p dan q tidak dihubung secara langsung maka arus yang mengalir akan sama dengan nol atau Y_{pq} sama dengan nol.

3.1.4. Penyelesaian Aliran Daya

Untuk penyelesaian aliran daya diperlukan suatu persamaan daya aktif dan daya reaktif yang dinyatakan dalam besaran komplek. Dimana untuk jaringan sistem listrik pada tiap-tiap bus dapat ditulis sebagai berikut:

$$I_f = Y_{f1}V_1 + Y_{f2}V_2 + \dots + Y_{fn}V_n$$

$$I_2 = Y_{21}V_1 + Y_{22}V_2 + \dots + Y_{2n}V_n$$

$$I_p = Y_{p1}V_1 + Y_{p2}V_2 + \dots + Y_{pn}V_n$$

Dimana persamaan tersebut dapat dituliskan menjadi bentuk umum :

Dengan :

$$P = 1, 2, 3, \dots, n$$

I_p = arus dalam bentuk kompleks yang masuk ke bus p.

V_q = tegangan bus q dalam bentuk kompleks terhadap referensi.

Y_{pq} = admitansi antara simpul p dan q.

Dalam bentuk matrik persamaan di atas dapat ditulis sebagai berikut:

$$\begin{bmatrix} I_1 \\ I_2 \\ \dots \\ I_n \end{bmatrix} = \begin{bmatrix} Y_{11} & Y_{12} & Y_{13} & \dots & Y_{1n} \\ Y_{21} & Y_{22} & Y_{23} & \dots & Y_{2n} \\ \dots & \dots & \dots & \dots & \dots \\ Y_{n1} & Y_{n2} & Y_{n3} & \dots & Y_{nn} \end{bmatrix} \begin{bmatrix} V_1 \\ V_2 \\ \dots \\ V_n \end{bmatrix}$$

atau dapat ditulis $I_{bus} = Y_{bus}, V_{bus}$

Dengan :

I_{bus} = matrik kolom vektor arus bus.

Y_{bus} = matrik kolom vektor admitansi bus.

V_{bus} = matrik kolom vektor tegangan bus.

Persamaaan daya nyata dan daya reaktif yang masuk ke bus adalah:

$$P_p - jQ_p = V_p * I_p \quad \dots \dots \dots \quad (3.4)$$

Dengan mensubstitusikan persamaaan (3.3) ke persamaan (3.4) maka diperoleh persamaan sebagai berikut:

$$P_p - jQ_p = V_p * \sum_{q=1}^n Y_{pq} V_{pq} \quad \dots \dots \dots \quad (3.5)$$

$$V_p * = e_p - jf_p = |V_p| \angle \delta_p$$

$$V_q = e_q - jf_q = |V_q| \angle \delta_q$$

$$Y_{pq} = G_{pq} - jB_{pq} = |Y_{pq}| \angle \theta_q$$

Dengan demikian persamaan ini dapat dinyatakan dalam bentuk *rectangular* sebagai berikut:

$$P_p - jQ_p = (e_p - jf_p) \sum_{q=1}^n (G_{pq} - jB_{pq})(e_q + jf_q) \dots \dots \dots \quad (3.6)$$

dengan $p = 1, 2, 3, \dots, n$

Persamaan-persamaan terakhir menyatakan dua buah persamaan aliran daya pada sistem dengan n bus, dimana tiap-tiap bus digolongkan dalam $4n$ variabel dan $2n$ variabel yang lain telah ditentukan terlebih dahulu.

Variabel dari bus berayun telah ditentukan terlebih dahulu sehingga persamaan untuk bus berayun ini dapat dihilangkan dan dengan demikian hanya dibutuhkan $(n-1)$ buah persamaan untuk studi aliran daya. Bentuk persamaan dua terakhir menyatakan hubungan matematis yang diperlukan untuk analisis aliran daya dengan komputer.

Selain itu persamaan di atas hanya berlaku untuk sistem satu fasa dan untuk sistem tiga fasa seimbang, dengan satuan yang dipakai adalah per unit, sebab sistem per-unit tidak akan terpengaruh oleh perbedaan tegangan pada sistem jaringan yang sesungguhnya.

3.1.5. Metode Newton Raphson^[3]

Metode *Newton Rapshon* dibentuk berdasarkan matrik admitansi simpul (Y_{bus}), sehingga merupakan suatu prosedur yang langsung dan sederhana.

Pada admittansi simpul elemen diagonalnya (Y_{pp}) adalah jumlah admittansi dari semua elemen-elemen jaringan yang terhubung dengan simpul p tersebut. Untuk elemen bukan diagonal (Y_{pq}) adalah sama dengan negatif admittansi dari elemen jaringan yang menghubungkan simpul p dan simpul q.

Karena pada jaringan sistem tenaga listrik tidak semua simpul saling berhubungan satu dengan yang lainnya, maka Y_{bus} akan membentuk matriks yang

terdiri dari elemen-elemen yang mempunyai nilai tidak sama dengan nol (di antara simpul-simpul tersebut tidak mempunyai hubungan saluran) dan elemen-elemen yang bernilai sama dengan nol (di antara simpul-simpul tersebut mempunyai hubungan saluran). Secara matematis persamaan aliran daya metode *Newton Rapshon* dapat menggunakan koordinat *rectangular*, koordinat polar atau bentuk *hybrid* (gabungan antara bentuk kompleks dengan bentuk polar). Dalam pembahasan ini digunakan bentuk koordinat polar.

Hubungan antara arus simpul I_p dengan tegangan simpul V_q pada suatu jaringan dengan n simpul dapat dituliskan:

Injeksi daya pada simpul p adalah:

Dalam penyelesaian aliran daya dengan *Newton Rapshon* bentuk persamaan aliran daya yang dipilih adalah polar, dimana tegangan dinyatakan dalam bentuk polar yaitu:

$$V_p^* = |V_p| e^{-\phi \hat{T}^*}$$

$$V_q^* = |V_q| e^{-i\phi_q}$$

$$V_{pq}^* = |V_{pq}| e^{-i\theta_{pq}}$$

Maka persamaan (3.5) dapat ditulis:

$$P_p - jQ_p = \sum_{q=1}^n |V_p V_q Y_{pq}| e^{-j(\delta_p - \delta_q + \theta_{pq})} \quad \dots \dots \dots \quad (3.10)$$

Dengan memisahkan bagian riil dan bagian imajiner maka diperoleh:

$$P_p = \sum_{q=1}^n |V_p V_q Y_{pq}| \cos(\delta_p - \delta_q + \theta_{pq}) \quad \dots \dots \dots \quad (3.11)$$

$$Q_p = \sum_{q=1}^n |V_p V_q Y_{pq}| \sin(\delta_p - \delta_q + \theta_{pq}) \quad \dots \dots \dots \quad (3.12)$$

Kedua persamaan di atas akan menghasilkan suatu kumpulan persamaan serentak (simultan) yang tidak linier untuk setiap simpul sistem tenaga listrik. Untuk mengetahui *magnitude* tegangan (V) dan sudut fasa (δ) di setiap simpul dapat diselesaikan dengan menggunakan persamaan (3.11) dan (3.12) yang dilinierkan dengan metode *Newton Rapshon* seperti persamaan berikut:

$$\begin{bmatrix} \Delta P \\ \Delta Q \end{bmatrix} = \begin{bmatrix} J_1 & J_2 \\ J_3 & J_4 \end{bmatrix} \begin{bmatrix} \Delta \delta \\ \Delta |V| \end{bmatrix} \quad \dots \dots \dots \quad (3.13)$$

Dengan:

ΔP = selisih injeksi bersih daya nyata dengan penjumlahan aliran daya nyata tiap saluran yang menghubungkan simpul dengan V yang didapat dari perhitungan iterasi ke-k.

ΔQ = selisih injeksi bersih daya reaktif dengan penjumlahan aliran daya reaktif tiap saluran yang menghubungkan simpul dengan V yang didapat dari perhitungan iterasi ke-k.

$\Delta \delta$ = vektor koreksi sudut fasa tegangan.

$\Delta |V|$ = vektor koreksi *magnitude* tegangan.

J_1, J_2, J_3, J_4 merupakan elemen off diagonal dan diagonal dari sub matrik *Jacobian* yang dibentuk dengan mendefinisikan persamaan (3.11) dan (3.12), dimana:

$$J_1 = \frac{\partial P_p}{\partial \delta_q} \quad J_2 = \frac{\partial P_p}{\partial |V_q|} \quad J_3 = \frac{\partial Q_p}{\partial \delta_q} \quad J_4 = \frac{\partial Q_p}{\partial |V_q|}$$

Adapun rumus dari elemen matriks *Jacobian* adalah:

Untuk J_1 :

$$\frac{\partial P_p}{\partial \delta_q} = |V_p V_q Y_{pq}| \sin(\delta_p - \delta_q + \theta_{pq}) \quad q \neq p$$

$$\frac{\partial P_p}{\partial \delta_p} = \sum_{\substack{q=1 \\ q \neq p}}^n |V_p V_q Y_{pq}| \sin(\delta_p - \delta_q + \theta_{pq})$$

Untuk J_2 :

$$\frac{\partial P_p}{\partial |V_q|} = |V_p Y_{pq}| \cos(\delta_p - \delta_q + \theta_{pq}) \quad q \neq p$$

$$\frac{\partial P_p}{\partial |V_p|} = 2 |V_p Y_{pq}| \cos \theta_{pp} + \sum_{\substack{q=1 \\ q \neq p}}^n |V_q Y_{pq}| \cos(\delta_p - \delta_q + \theta_{pq})$$

Untuk J_3 :

$$\frac{\partial Q_p}{\partial \delta_q} = -|V_p V_q Y_{pq}| \cos(\delta_p - \delta_q + \theta_{pq}) \quad q \neq p$$

$$\frac{\partial Q_p}{\partial \delta_p} = -\sum_{\substack{q=1 \\ q \neq p}}^n |V_p V_q Y_{pq}| \cos(\delta_p - \delta_q + \theta_{pq})$$

Untuk J_4 :

$$\frac{\partial Q_p}{\partial V_q} = \left| V_p Y_{pq} \right| \sin(\delta_p - \delta_q + \theta_{pq}) \quad q \neq p$$

$$\frac{\partial Q_p}{\partial V_p} = 2 \left| V_p Y_{pp} \right| \sin \theta_{pp} + \sum_{\substack{q=1 \\ q \neq p}}^n \left| V_q Y_{pq} \right| \sin(\delta_p - \delta_q + \theta_{pq})$$

Untuk menghitung selisih daya, maka mula-mula ditentukan nilai awal tegangan simpul dan sudut fasanya. Kemudian daya nyata dan daya reaktif dihitung dengan menggunakan persamaan (3.11) dan (3.12). Selisih antara daya yang telah ditentukan dengan daya hasil perhitungan ini merupakan perubahan daya yang terjadi pada simpul.

$$\Delta P_p = P_{p \text{ specified}} - P_{p \text{ calculated}} \quad (3.14)$$

$$\Delta Q_p = Q_{p \text{ specified}} - Q_{p \text{ calculated}} \quad (3.15)$$

Magnitude tegangan $|V|$ dan sudut fasa δ_p yang diasumsikan serta selisih daya yang dihitung (ΔP_p dan ΔQ_p) digunakan untuk memperoleh elemen-elemen matriks *Jacobian*.

Persamaan (3.13) diselesaikan untuk menghitung vektor koreksi *magnitude* tegangan $\Delta |V|$ dan sudut fasa tegangan $\Delta \delta$ yang baru. Sehingga diperoleh harga *magnitude* tegangan dan sudut fasa tegangan yang baru, yaitu:

$$|V|^{k+1} = |V|^k + \Delta |V|^k$$

$$\delta^{k+1} = \delta^k + \Delta \delta^k$$

Proses perhitungan akan berulang sampai selisih daya nyata dan daya reaktif antara yang dijadwalkan dengan yang dihitung, yaitu ΔP dan ΔQ untuk semua simpul mendekati nilai toleransi atau proses perhitungan iterasi mencapai konvergen.

Prosedur Aliran Daya *Newton Rapshon*:

1. Tentukan nilai P_p (ditetapkan) dan Q_p (ditetapkan) yang mengalir ke dalam sistem pada setiap rel untuk nilai yang ditentukan atau diperkirakan dari tegangan nyata atau tegangan reaktif untuk iterasi pertama atau tegangan yang ditentukan paling akhir untuk iterasi berikutnya.
2. Hitung ΔP dan ΔQ pada setiap rel.
3. Hitung nilai-nilai untuk *Jacobian* dengan menggunakan nilai-nilai perkiraan atau yang ditentukan dari tegangan nyata dan tegangan reaktif dalam persamaan untuk konsumen parsial yang ditentukan.
4. Balikkan *Jacobian* itu dan hitung koreksi *magnitude* tegangan $\Delta |V_p|$ dan sudut fasa tegangan $\Delta \delta_p$ pada setiap rel.
5. Hitung nilai baru dari $|V_p|$ dan $\Delta \delta_p$ dengan menambahkan $\Delta |V_p|$ dan $\Delta \delta_p$ nilai sebelumnya.
6. Kembali ke langkah 1 dan ulangi proses ini dengan menggunakan nilai untuk tegangan nyata dan tegangan reaktif yang ditentukan paling akhir sehingga nilai ΔP dan ΔQ lebih kecil atau sama dengan nilai toleransi yang telah ditetapkan.

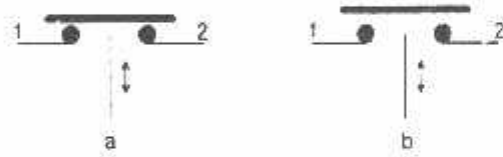
3.2. Metode Rekonfigurasi Jaringan

Proses manata ulang konfigurasi awal dari jaringan (*initial condition*) menjadi suatu konfigurasi optimum akhir (*optimal condition*), sehingga dari konfigurasi yang paling akhir ini diperoleh kerugian daya sistem distribusi yang paling kecil (aliran daya yang paling optimum).

Meskipun jaringan distribusi dioperasikan menggunakan sistem radial, namun besarnya sistem tersebut dikombinasikan ke dalam beberapa tipe. Tipe yang paling umum adalah model jaringan distribusi radial dengan *tie* dan *switch* pemisah.

Rekonfigurasi jaringan distribusi dapat dilakukan dengan mengatur kondisi dari *switch-switch* ini dalam keadaan *on* atau *off*. *Switch* yang terdapat dalam jaringan distribusi terdapat dua macam:

1. *Normally Closed switch (NC switch)* yang dalam keadaan operasi normal, posisi kontaknya selalu tertutup (*on*).
2. *Normally Open switch (NO switch)* yang dalam keadaan operasi normal, posisi kontaknya selalu terbuka (*off*).



Gambar 3.1
Diagram Skematis Tipe (a) NC switch dan (b) NO switch

Jadi jelaslah bahwa sebenarnya rekonfigurasi jaringan dalam sistem distribusi tenaga listrik adalah proses mengganti struktur topologi dari jaringan distribusi dengan mengubah status *open/closed* dari NO/NC switch sehingga dari proses ini bisa didapatkan aliran daya yang optimal pada sistem distribusi yang menyebabkan kerugian daya menjadi minimum dengan proses akhir sistem kembali radial.

3.3. Teori Dasar *Simulated Annealing (SA)*

3.3.1. Pengenalan Konsep *Simulated Annealing (SA)*

Konsep *simulated annealing* (SA), pertama kali diperkenalkan pada dunia optimasi pada permulaan tahun 1980 oleh Kirkpatrick dan secara bebas dikembangkan oleh Cerny 1985. Simulated annealing secara fisika, mengacu pada proses pemanasan benda padat pada temperature yang tinggi kemudian diikuti oleh pendinginan yang dicapai dengan menurunkan temperature secara bertahap. Pada masing-masing langkah, temperature dipertahankan konstan dengan periode waktu yang cukup agar benda padat mencapai keseimbangan panas.

Kriteria penerimaan untuk suatu keadaan pada masing-masing perulangan, dimana suatu kandidat solusi dihasilkan. Criteria ini dirangkum sebagai berikut :

- Keadaan dengan suatu solusi lebih rendah (baik) akan diterima.
- Keadaan dengan suatu solusi lebih tinggi (jelek) akan diterima secara terbatas dengan kemungkinan penerimaan yang sekurang ini memakai persamaan sebagai berikut :

$$Pr(\Delta) = [1/(1 + \exp(\Delta/T))]$$

Dimana : Δ adalah jumlah penurunan antara solusi lama dengan solusi baru,
 T adalah temperature dimana solusi baru dihasilkan.

3.3.2. Analogi Pada Pemanasan Fisik (*physical annealing*)

Nama pemanasan fisik berasal dari sebuah analogi antara pengkombinasian optimasi dan proses fisik pemanasan. Pada pemanasan fisik zat

padat didinginkan dengan sangat perlahan mulai dari temperature yang sangat tinggi sampai temperature yang sangat rendah agar dapat mencapai uraian energi internal minimum. Zat padat ini didinginkan secara perlahan supaya keseimbangan panas dicapai pada tiap temperature. Keseimbangan panas dapat digolongkan oleh distribusi boltzman :

$$P_i = \{X = x\} = \frac{e^{-E_x/k_B T}}{\sum e^{-E_i/k_B T}}$$

Dimana X adalah variable acak yang menunjukkan posisi baru, E_x adalah energi dari posisi x , K_B konstanta boltzman, dan T adalah temperature.

Evolusi dari posisi zat padat dalam temperature tinggi menuju keseimbangan panas dapat ditiru secara efisien oleh algoritma sederhana berdasarkan teknik Monte Carlo yang diusulkan oleh Metropolis tahun 1953. pada algoritma metropolis mengambil posisi baru dan menggambarkan posisi baru tersebut yaitu Y dengan mengaplikasikan beberapa gangguan kecil. Kemudian transisi dari posisi X menuju posisi Y diterima dengan kemungkinan :

$$P_{\text{accept}}(x,y) = \begin{cases} 1 & \text{jika } E_x - E_y \leq 0 \\ e^{-(E_x - E_y)/k_B T} & \text{jika } E_x - E_y > 0 \end{cases}$$

Jika diterima, y menjadi solusi baru dan prosedurnya diulang. Aturan penerimaan ini dikenal dengan *Metropolis Criterion*.

3.3.3. Parallel Simulated Annealing (PSA)

Parallel Simulated Annealing (PSA) adalah pengembangan dari *simulated annealing (SA)*. Meskipun *SA* merupakan sebuah teknik optimisasi yang menarik,

transisi keadaan kecil seringkali membuat SA terganggu dalam minima lokal pada kasus-kasus dimana ruangan solusi masalah targetnya adalah besar atau batasan-batasan masalah targetnya tepat. Agar dapat mengatasi masalah-masalah ini, PSA memparalelisasikan rutin-rutin transisi keadaan dalam SA orisinal untuk mendapatkan poin-poin pencarian yang lebih baik secara efektif. Pada dasarnya, PSA menggunakan satu poin pencarian seperti SA. Namun, PSA menghasilkan banyak keadaan berdekatan ketimbang keadaan tunggal seperti SA. Hal ini memperkenankan pencarian sebuah solusi yang mendekati global minimum pada berbagai jarak yang disebabkan oleh penanganan seperangkat calon-calon solusi. Karakteristik-karakteristik dari PSA diringkas sebagai berikut.

- a) PSA memiliki posibilitas pencapaian solusi optimal nyata yang disebabkan oleh banyaknya poin pencarian.
- b) PSA memiliki karakteristik konvergensi yang lebih baik karena memilih keadaan terbaik diantara calon-calon solusi.

3.3.4. Fungsi Objektif dan Batasan-batasan

Tujuan yang paling penting dari restorasi servis adalah merestorasi para pelanggan sebanyak mungkin. Dalam banyak kasus lesahan, adalah cukup untuk membangkitkan area yang rusak dari hanya satu sumber daya berdekatan. Namun, adalah penting untuk menggunakan beberapa sumber daya untuk area rusak yang besar. Dalam kasus semacam ini, restorasi servis dapat dirumuskan sebagai satu masalah pembagian grafik untuk membagi area rusak yang berhubungan dengan sumber-sumber daya. Fungsi objektifnya adalah untuk

menyeimbangkan kapasitas serap dari masing-masing sumber daya yang mempertimbangkan kesalahan-kesalahan selanjutnya dan memaksimalkan tegangan minimum jaringan yang mempertimbangkan kepuasan pelanggan dalam area rusak yang besar. Fungsi ini dapat dinyatakan sebagai berikut:

$$f_c = \min \left\{ w_1 \sum_{i=1}^m (SP_i - SP_{ave})^2 + w_2 \frac{1}{V_{min}} \right\} \quad (8)$$

dimana

m jumlah sumber daya

SP_i kapasitas serap sumber i

SP_{ave} rata-rata kapasitas serap dari semua sumber

V_{min} tegangan minimum dari jaringan target

w_1 koefisien-koefisien untuk masing-masing hubungan

Berikut ini adalah batasan-batasan yang seharusnya dipertimbangkan untuk restorasi servis praktis.

- a) Batasan Jaringan Radial: Jaringan distribusi seharusnya mencakup struktur radial dari satu sudut pandang operasional. Oleh karena itu, masing-masing bagian hanya memiliki satu bagian aliran.
- b) Batasan Limit Sumber Daya: Total kapasitas beban dari masing-masing jaringan parsial tidak dapat melebihi limit kapasitas dari sumber daya yang berhubungan.

$$\sum_{k=1}^h LOAD_k \leq CAP_i \quad (9)$$

dimana

I_i jumlah beban untuk sumber daya i

- CAP_i kapasitas sumber daya i
 $LOAD_{ik}$ kapasitas beban k yang dibangkitkan oleh sumber daya i

- c) Batasan Tegangan: Besaran tegangan pada masing-masing bagian harus berada pada batas-batasnya yang dapat diperkenankan

$$V_{\min} \leq V_i \leq V_{\max} \quad (10)$$

dimana

- V_{\min} tegangan bagian minimum yang diperbolehkan
 V_{\max} tegangan bagian maksimum yang diperbolehkan
 V_i tegangan pada bagian beban i

- d) Batasan Arus: Besaran arus dari masing-masing cabang (tombol dan saluran) harus berada pada batas-batasnya yang dapat diperbolehkan

$$I_i \leq I_{\max} \quad (11)$$

dimana

- I_{\max} arus bagian beban maksimum yang diperbolehkan
 I_i arus pada bagian beban i

3.3.5 Algoritma Parallel Simulated Annealing

Langkah 1) Inisialisasi:

Berikan keadaan awal, poin pencarian x_0 dan temperatur T_0 dan evaluasilah fungsi energi $E(x)$, yang dihasilkan oleh fungsi objektif dari masalah awal.

Langkah 2) Penciptaan dan evaluasi keadaan-keadaan berdekatan:

Menciptakan beberapa keadaan gangguan Δx_i (Δx dari poin pencarian) keadaan terkini (x) dan mengevaluasi fungsi energi $E(x + \Delta x_i)$ pada masing-masing keadaan berdekatan. Hitunglah energi ΔE dengan menggunakan persamaan berikut ini:

$$\Delta E = \min_j \{E(x + \Delta x_i)\} - E(x) \quad (1)$$

Langkah 3) Penciptaan keadaan selanjutnya:

Apabila kondisi berikut ini dipenuhi:

$$\Delta E < 0 \quad (2)$$

atau

$$\exp(-\Delta E/T_k) > R \quad (3)$$

maka keadaan terkini berubah menjadi

$$x \leftarrow x + \Delta x_i \quad (4)$$

Perbaharui temperatur dan ulangi langkah 2 dan 3 hingga kriteria konvergesi dipenuhi.

BAB IV

ANALISIS DAN HASIL PROGRAM REKONFIGURASI JARINGAN DISTRIBUSI

4.1. Program Komputer Metode Rekonfigurasi Jaringan

Untuk pemecahan masalah rekonfigurasi jaringan distribusi digunakan bantuan program komputer. Program komputer ini sangat berguna untuk mempercepat proses perhitungan yang membutuhkan ketelitian tinggi dan sering melibatkan iterasi yang membutuhkan waktu yang lama bila dikerjakan secara manual.

Program komputer ini menggunakan bahasa pemrograman *Borland Delphi* Versi 7.0 yang memiliki bahasa pemrograman terstruktur yang relatif mudah untuk dipahami dan mudah penggunaannya.

4.2. Algoritma Program

Urutan langkah-langkah pada program komputer yang digunakan dapat dilihat pada algoritma program berikut :

1. Memasukkan data-data jaringan distribusi PLN.
2. Menjalankan proses *load flow* menggunakan metode *Newton Raphson*.
3. Menampilkan *initial condition*.
4. Menutup semua *tie switch* pada jaringan dan mengubah menjadi jaringan Mesh.

5. Proses PSA.
6. Hasil PSA. kombinasi *switch* yang sudah ditentukan (jaringan radial baru).
7. Menampilkan hasil minimalisasi rugi-rugi jaringan distribusi.
8. Membandingkan hasil sebelum dengan hasil setelah rekonfigurasi.
9. Selesai.

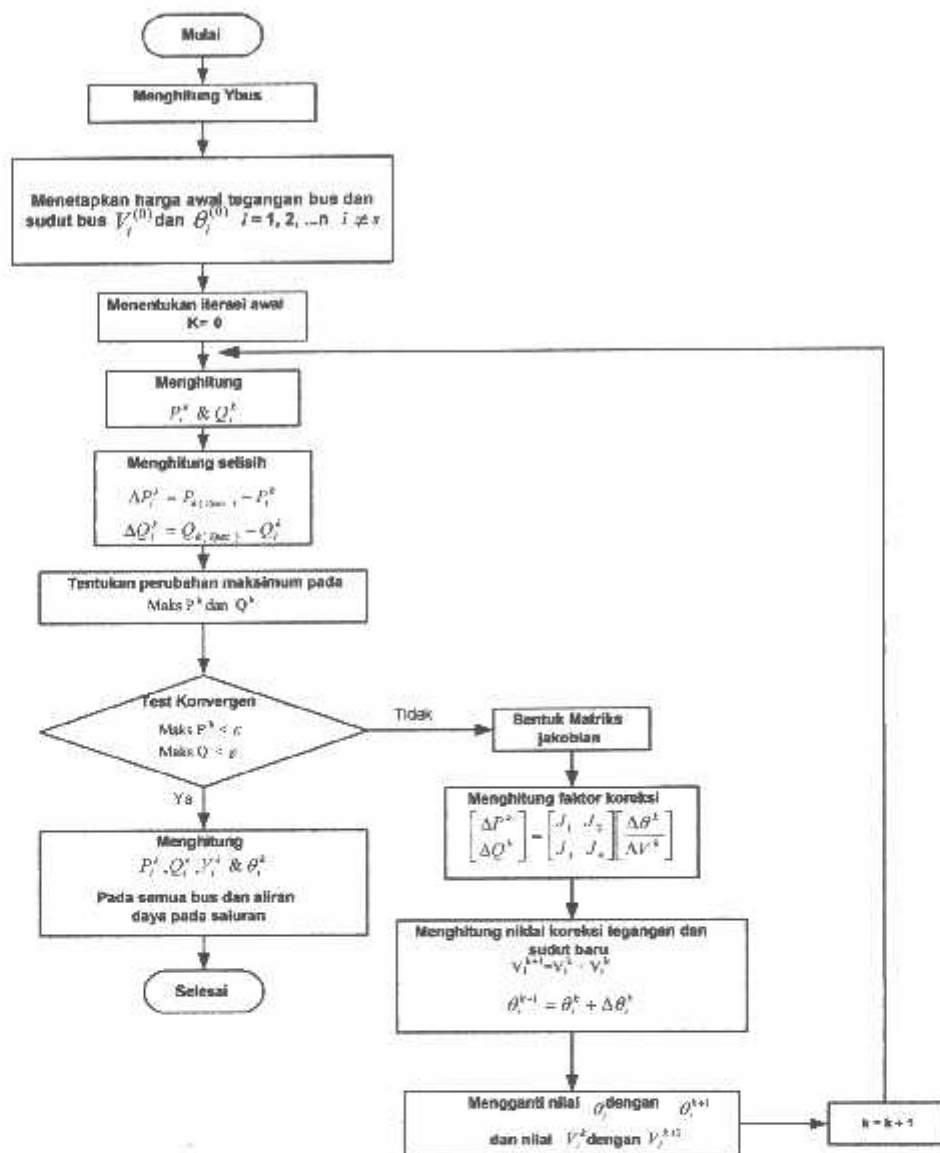
4.2.1. Flowchart Program



4.2.2. Algoritma Program Aliran Daya Metode Newton Raphson.

1. Menghitung matriks admittansi bus : $[Y_{bus}]$.
2. Menetapkan harga awal tegangan dan sudut fasa untuk semua bus kecuali bus slack $[V_i(0), \delta(0)]$.
3. Menentukan nomor iterasi awal, $k=0$.
4. Menghitung injeksi daya aktif dan reaktif pada setiap bus dengan persamaan 3.11 dan 3.12 kecuali bus slack.
5. Menghitung selisih daya yang dijadwalkan dengan injeksi daya bus dari perhitungan.
6. Menentukan perubahan maksimum pada daya aktif dan daya reaktif.
7. Membandingkan apakah selisih daya sudah sama atau lebih kecil dari ϵ .
8. Jika "ya" hitung daya aktif dan reaktif, tegangan dan sudut fasa tegangan pada setiap bus, serta aliran daya pada saluran dan perhitungan selesai, jika "tidak" lanjutkan ke langkah berikutnya.
9. Membentuk elemen matriks Jacobian.
10. Menghitung faktor koreksi tegangan dan sudut fasa setiap bus kecuali bus slack dan bus generator.
11. Menghitung nilai tegangan dan sudut fasa yang baru.
12. Mengganti nilai sudut fasa yang lama dengan sudut fasa yang baru, tegangan yang lama dengan tegangan yang baru.
13. Perhitungan dilanjutkan ke langkah 5 dengan nilai iterasi yang baru sampai hasil yang didapatkan konvergen.

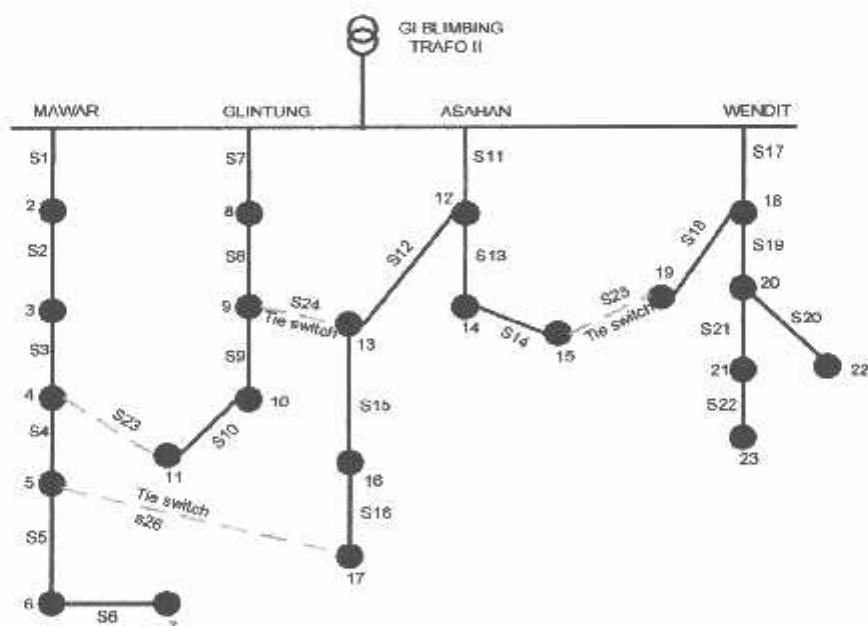
4.2.3. Flowchart Perhitungan Aliran Daya Metode Newton Rapshon



4.3. Sistem Distribusi Gardu Induk Blimbings

Dalam skripsi ini data yang digunakan adalah penyulang-penyulang yang keluar dari Trafo II GI Blimbings Malang. Kondisi awal jaringan (*initial condition*) terlihat pada lampiran *single line* diagram. Untuk memudahkan analisis, gambar

single line diagram tersebut diubah ke dalam bentuk gambar konfigurasi jaringan yang telah disusun perseksi seperti yang terlihat pada gambar 4.1. Penyusunan gambar 4.1 dilakukan dengan terlebih dahulu menentukan pembagian seksi tiap penyulang. Pembagian seksi tiap penyulang ditentukan berdasarkan adanya pemisah-pemisah yaitu *Automatic Vacum Switch* (AVS), dan *Load Break Switch* (LBS) dan PGS (Pole Mounth SF6 gas Switch) yang terdapat pada lampiran *single line diagram* GI Blimbing untuk *output* dari Trafo II (penjelasan lebih lanjut dapat dilihat pada lampiran). Kapasitas beban tiap seksi dapat dilihat pada lampiran tabel A1-A6. Alasan dari pemilihan daerah tersebut karena *output* dari Trafo II GI Blimbing Malang menyuplai daerah yang kepadatan bebananya bervariasi.



Gambar 4-1 Konfigurasi Jaringan Radial dari *Single Line* diagram GI Blimbing Malang (Kondisi Awal)

Dimana dasar yang digunakan :

- Tegangan Dasar : 20 kV
- Daya Dasar : 30 MVA
- Penghantar SUTM 20 kV : AAAC 150 mm²
- Impedansi Saluran : $0.2162 + j 0.3305 \Omega / \text{km}$
- Penyulang Mawar (300 A)
- Penyulang Glintung (300 A)
- Penyulang Asahan (300 A)
- Penyulang Wendit (300 A)

Dari data beban untuk masing-masing penyulang (lampiran A1-A6) dan data teknis, nilai P (MW), Q (MVAR), R (Ω) dan X (Ω) dari bus 1-2 Penyulang Mawar dapat dihitung sebagai berikut :

Dengan nilai $\cos\varphi$ diasumsikan sebesar 0.86

❖ Untuk bus 1-2 :

$$P = 1533,64 \cos \varphi \rightarrow P = 1533,64 \times 0.86 = 1.3190 \text{ MW}$$

$$Q = 1533,64 \sin \varphi \rightarrow Q = 1533,64 \times 0.51 = 0.7820 \text{ MVAR}$$

$$R = 5,616 \text{ km} \times R \text{ saluran} \quad R = 5,616 \text{ km} \times 0.2162 \Omega/\text{km} = 1,2142 \Omega$$

$$X = 5,616 \text{ km} \times X \text{ saluran} \quad X = 5,616 \text{ km} \times 0.3305 \Omega/\text{km} = 1,856 \Omega$$

Dengan cara menghitung yang sama, maka daya P, Q, R dan X untuk masing-masing bus akan diperoleh hasil seperti pada tabel 4-1 berikut :

Tabel 4.1
Hasil Perhitungan Daya dan Impedansi Saluran
Jaringan Distribusi GI Blimbing Malang

Bus	P Bus Ujung (MW)	Q Bus Ujung (MVAR)	Jarak (km)	Resistansi R (ohm)	Reaktansi X (ohm)
1 – 2	1.319	0.782	5,616	1,2142	1,8560
2 – 3	1.091	0.647	4,085	0,8832	1,3501
3 – 4	1.303	0.773	5,04	1,0896	1,6657
4 – 5	1.025	0.608	3,897	0,8425	1,2880
5 – 6	0.24	0.142	0,677	0,1464	0,2238
6 – 7	0.675	0.401	1,678	0,3628	0,5546
1 – 8	0.449	0.266	1,381	0,2986	0,4564
8 – 9	0.561	0.333	1,194	0,2581	0,3946
9 – 10	0.5	0.297	1,016	0,2197	0,3358
10 – 11	1.607	0.953	1,492	0,3226	0,4931
1 – 12	0.19	0.113	2,474	0,5349	0,8177
12 – 13	0.089	0.527	3,443	0,7444	1,1379
12 – 14	0.428	0.254	1,646	0,3559	0,5440
14 – 15	0.427	0.253	1,183	0,2558	0,3910
13 – 16	0.543	0.322	2,745	0,5935	0,9072
16 – 17	0.137	0.081	0,131	0,0283	0,0433
1 – 18	0.288	0.171	1,782	0,3853	0,5890
18 – 19	0.058	0.034	3,031	0,6553	1,0017
18 – 20	0.699	0.414	7,639	1,6516	2,5247
20 – 22	0.153	0.091	1,549	0,3349	0,5119
20 – 21	0.343	0.203	1,476	0,3191	0,4878
21 – 23	0.248	0.147	4,689	1,0138	1,5497
4 – 11	-	-	0,207	0,0448	0,0684
9 – 13	-	-	0,173	0,0374	0,0572
15 – 19	-	-	1,114	0,2408	0,3682
5 – 17	-	-	0,262	0,0566	0,0866

Keterangan : Bus 1 merupakan slack bus, bus 2 sampai dengan 23 merupakan bus beban

4.4. Analisis Perhitungan Aliran Daya Sebelum Rekonfigurasi

Untuk mengetahui kondisi awal jaringan (*initial condition*) dilakukan proses *load flow* menggunakan metode *Newton Raphson*. Dengan memasukan data dari tabel 4-1 ke dalam program simulasi, maka akan diperoleh hasil seperti yang terdapat pada tabel 4-2 dan 4-3 dibawah ini :

Tabel 4.2
Hasil Perhitungan Aliran Daya Sebelum Rekonfigurasi

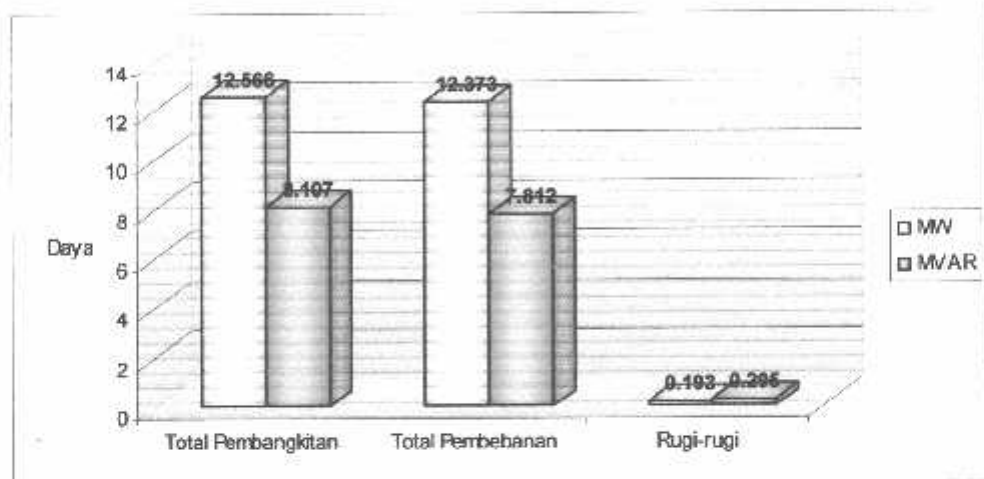
Bus	Tegangan		Daya Pembangkitan		Daya Pembebahan	
	V (pu)	Sudut($^{\circ}$)	MW	MVAR	MW	MVAR
1	1.00000	0.00000	12.566	8.107	0.000	0.00
2	0.97961	-0.53570	0.00	0.00	1.319	0.782
3	0.97049	-0.77298	0.00	0.00	1.091	0.647
4	0.96508	-0.90004	0.00	0.00	1.303	0.773
5	0.96633	-0.84100	0.00	0.00	1.025	0.608
6	0.96566	-0.86022	0.00	0.00	0.240	0.142
7	0.96445	-0.89542	0.00	0.00	0.675	0.401
8	0.99551	-0.12525	0.00	0.00	0.449	0.266
9	0.99219	-0.21867	0.00	0.00	0.561	0.333
10	0.98995	-0.28181	0.00	0.00	0.500	0.297
11	0.98745	-0.35287	0.00	0.00	1.607	0.953
12	0.98832	-0.27087	0.00	0.00	0.190	0.113
13	0.97585	-0.54906	0.00	0.00	0.089	0.527
14	0.98685	-0.31268	0.00	0.00	0.428	0.254
15	0.98632	-0.32773	0.00	0.00	0.427	0.253
16	0.96728	-0.81086	0.00	0.00	0.543	0.322
17	0.96695	-0.82127	0.00	0.00	0.137	0.081
18	0.99666	-0.09274	0.00	0.00	0.288	0.171
19	0.99648	-0.09791	0.00	0.00	0.058	0.034
20	0.98511	-0.41823	0.00	0.00	0.699	0.414
21	0.98449	-0.43590	0.00	0.00	0.153	0.091
22	0.98456	-0.43412	0.00	0.00	0.343	0.203
23	0.98327	-0.47072	0.00	0.00	0.248	0.147

Keterangan : Bus 1 merupakan slack bus, bus 2 sampai dengan 23 merupakan bus beban

Tabel 4.3
Hasil Perhitungan Rugi-rugi Daya Sebelum Rekonfigurasi

Total Pembangkitan		Total Pembebanan		Total Rugi-rugi Daya	
P (MW)	Q (MVAR)	P (MW)	Q (MVAR)	P (MW)	Q (MVAR)
12.566	8.107	12.373	7.812	0.193	0.295

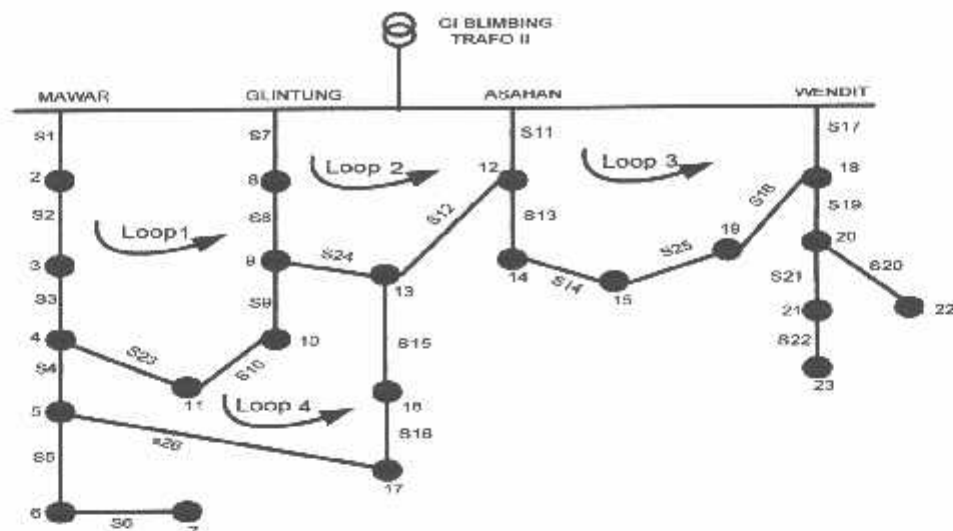
Dari tabel 4.3 di atas, total pembangkitan, pembebanan dan rugi-rugi daya dapat digambarkan dalam bentuk grafik 4.1 sebagai berikut :



Grafik 4.1
Grafik Hasil Pembangkitan , Pembebanan dan Rugi-rugi Daya
Sebelum Rekonfigurasi

4.5. Analisis Rekonfigurasi Jaringan

Dalam analisis rekonfigurasi jaringan semua *tie switch* (*normally open*) yang saling interkoneksi pada beberapa bus beban (*load bus*) baik dalam satu *feeder* maupun berlainan *feeder* ditutup (*normally closed*) sehingga jaringan radial seperti pada gambar 4.1 berubah menjadi jaringan *mesh* seperti terlihat pada gambar 4.2, dari penutupan *tie switch* terdapat 4 *loop*



Gambar 4.2
Konfigurasi Jaringan dengan Penutupan Tie Switch Sebelum Dilakukan Rekonfigurasi

4.5.1. Analisis Perhitungan Rekonfigurasi Jaringan

Langkah-langkah analisis perhitungan sebagai berikut :

1. Masukan Awal

Dengan memasukkan data pada tabel 4.1 ke dalam program simulasi rekonfigurasi *parallel simulated annealing*.

2. Memasukkan Parameter *parallel simulated annealing*

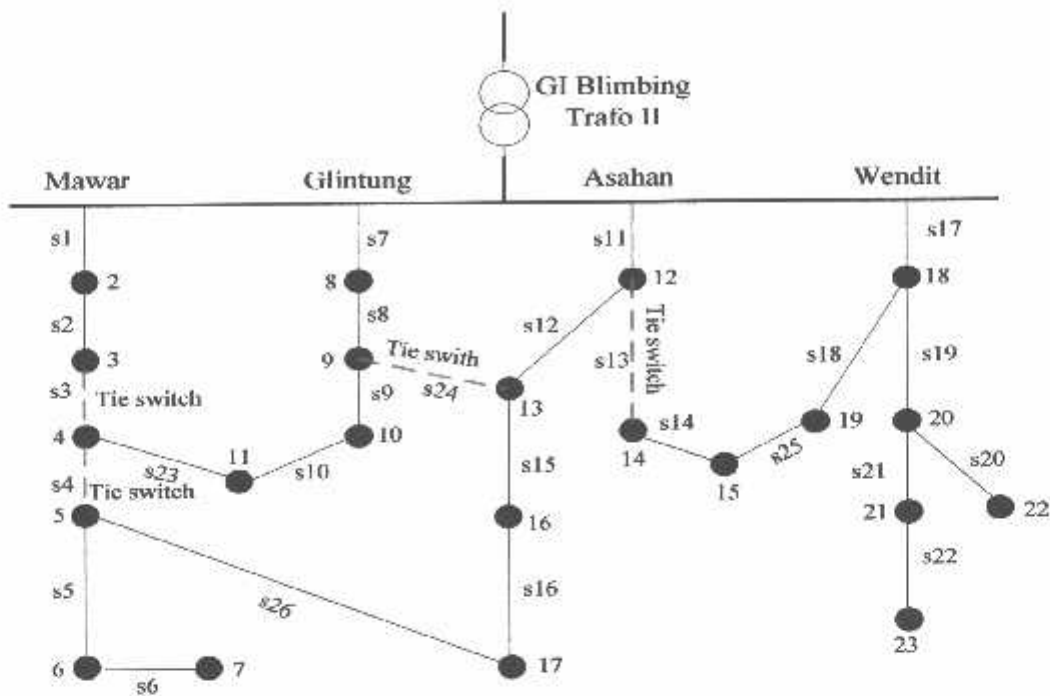
Memasukkan parameter *parallel simulated annealing* yang akan diolah oleh program simulasi rekonfigurasi *parallel simulated annealing* untuk memperoleh hasil yang diinginkan.

- Data masukan parameter *PSA* ini berupa :

Jumlah generasi	: 10
jumlah populasi	: 90
probabilitas crossover	: 0.75

probabilitas mutasi	: 0.001
konstanta Ka	: 10
pinality	: 1000
Jumlah bus	: 23
Jumlah loop	: 4
Saluran fault	: 4-5

Dengan memasukkan data jaringan distribusi pada program simulasi rekonfigurasi jaringan untuk menghitung aliran daya dan mencari konfigurasi jaringan yang baru dengan metode *parallel simulated annealing*, akan didapatkan hasil rekonfigurasi pada tabel 4.4 dengan kondisi *switch* yang memiliki status terbuka (*normally open*) adalah *switch* 3, 4, 24 dan *switch* 13 yang diperoleh dengan jumlah generasi 10 dan jumlah populasi 90, sehingga jaringan *mesh* yang ada telah berubah menjadi konfigurasi dengan jaringan radial *open loop* baru. Konfigurasi jaringan radial *open loop* baru dapat dilihat pada gambar 4.3 dan tabel 4.4 di bawah ini :



Gambar 4.3
Kondisi Jaringan Setelah Rekonfigurasi

Tabel 4.4
Hasil Kombinasi Optimal Switch

No	Sebelum Rekonfigurasi		Setelah Rekonfigurasi	
	Bus	Posisi Switch Open	Bus	Posisi Switch Open
1	4 – 11	23	3 – 4	3
2	9 – 13	24	4 – 5	4
3	15 – 19	25	9 – 13	24
4	5 – 17	26	12 – 14	13

4.5.2. Hasil Perhitungan Aliran Daya Setelah Rekonfigurasi

Kondisi jaringan radial *open loop* setelah dilakukan rekonfigurasi tersebut merupakan konfigurasi *open loop* dari berbagai kemungkinan konfigurasi jaringan

didapat dengan proses sekitar 0:0:29:953 detik. Hasil aliran daya setelah proses rekonfigurasi dapat dilihat pada tabel 4.5

Tabel 4.5
Hasil Perhitungan Aliran Daya Setelah Rekonfigurasi

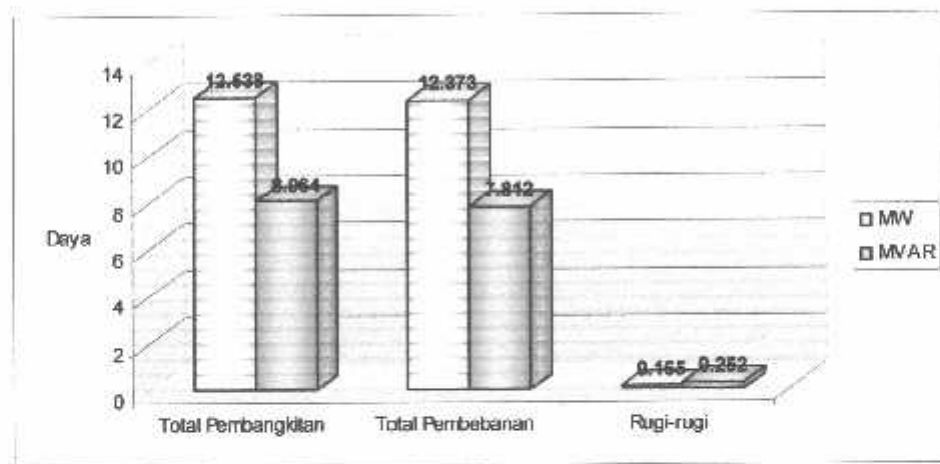
Bus	Tegangan		Daya Pembangkitan		Daya Pembebahan	
	V (pu)	Sudut (°)	MW	MVAR	MW	MVAR
1	1.00000	0.00000	12.538	8.064	0.000	0.000
2	0.98579	-0.39783	0.00	0.00	1.319	0.782
3	0.98111	-0.53134	0.00	0.00	1.091	0.647
4	0.98010	-0.55923	0.00	0.00	1.303	0.773
5	0.97162	-0.64153	0.00	0.00	1.025	0.608
6	0.97096	-0.66055	0.00	0.00	0.240	0.142
7	0.96975	-0.69537	0.00	0.00	0.675	0.401
8	0.99358	-0.17795	0.00	0.00	0.449	0.266
9	0.98859	-0.31778	0.00	0.00	0.561	0.333
10	0.98495	-0.42085	0.00	0.00	0.500	0.297
11	0.98038	-0.55110	0.00	0.00	1.607	0.953
12	0.99138	-0.17294	0.00	0.00	0.190	0.113
13	0.98008	-0.39900	0.00	0.00	0.089	0.527
14	0.99067	-0.26152	0.00	0.00	0.428	0.254
15	0.99120	-0.24658	0.00	0.00	0.427	0.253
16	0.97244	-0.61760	0.00	0.00	0.543	0.322
17	0.97215	-0.62594	0.00	0.00	0.137	0.081
18	0.99507	-0.13726	0.00	0.00	0.288	0.171
19	0.99219	-0.21851	0.00	0.00	0.058	0.034
20	0.98350	-0.46380	0.00	0.00	0.699	0.414
21	0.98288	-0.48153	0.00	0.00	0.153	0.091
22	0.98294	-0.47975	0.00	0.00	0.343	0.203
23	0.98166	-0.51647	0.00	0.00	0.248	0.147

Keterangan : Bus 1 merupakan slack bus, bus 2 sampai dengan 23 merupakan bus beban.

Tabel 4.6
Hasil Perhitungan Rugi-rugi Daya Setelah Rekonfigurasi

Total Pembangkitan		Total Pembebatan		Total Rugi Daya	
P (MW)	Q (MVAR)	P (MW)	Q (MVAR)	P (MW)	Q (MVAR)
12.538	8.064	12.373	7.812	0.165	0.252

Dari tabel 4.6 di atas, total pembangkitan, pembebatan dan rugi-rugi daya dapat digambarkan dalam bentuk grafik 4.2 sebagai berikut :



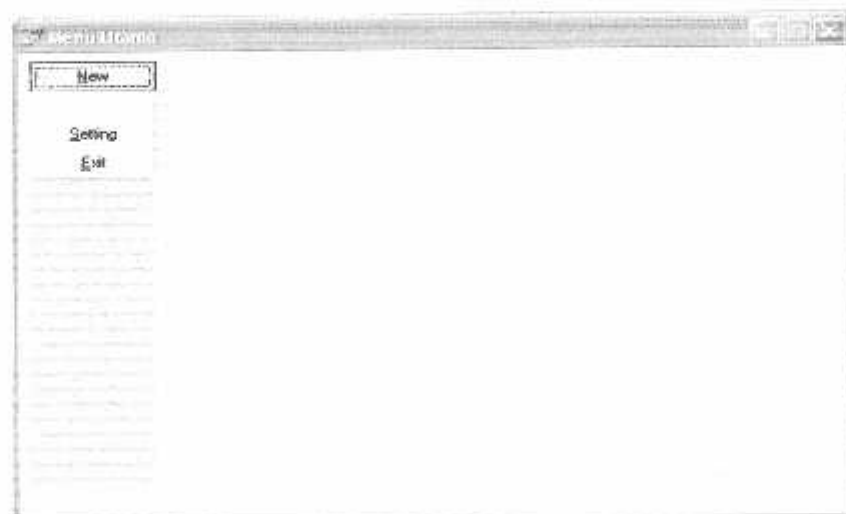
Grafik 4.2
**Grafik Hasil Pembangkitan , Pembebatan dan Rugi-rugi Daya
Setelah Rekonfigurasi**

4.6. Hasil Dan Analisis Hasil

4.6.1. tampilan program

Program dalam skripsi ini dijalankan dengan menggunakan program borland delphi versi 7.0 dan diaplikasikan pada komputer berprosesor intel PIII 600Mhz, dengan memori 128Mb. Mengenai jalannya program ikuti prosedur program sebagai berikut :

1. Tampilan utama program

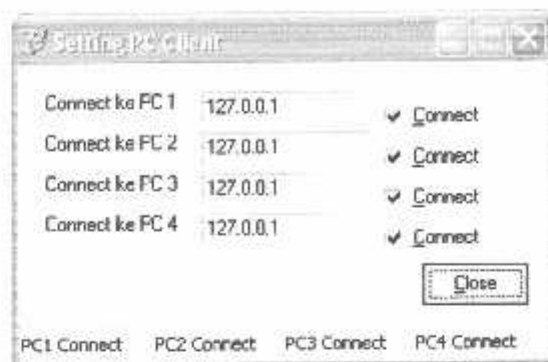


Gambar 4-5. tampilan utama program



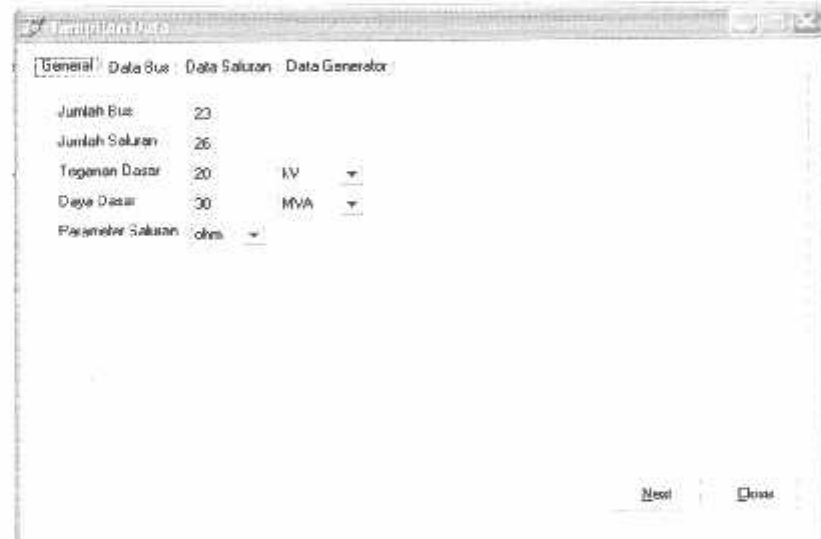
Tampilan *Monitor Client*

2. Tekan tombol **setting** untuk mensetting monitor client agar bisa connect.



Tampilan setting pc client

3. Tekan tombol **Open** untuk membuka file yang tersimpan



Tampilan data program

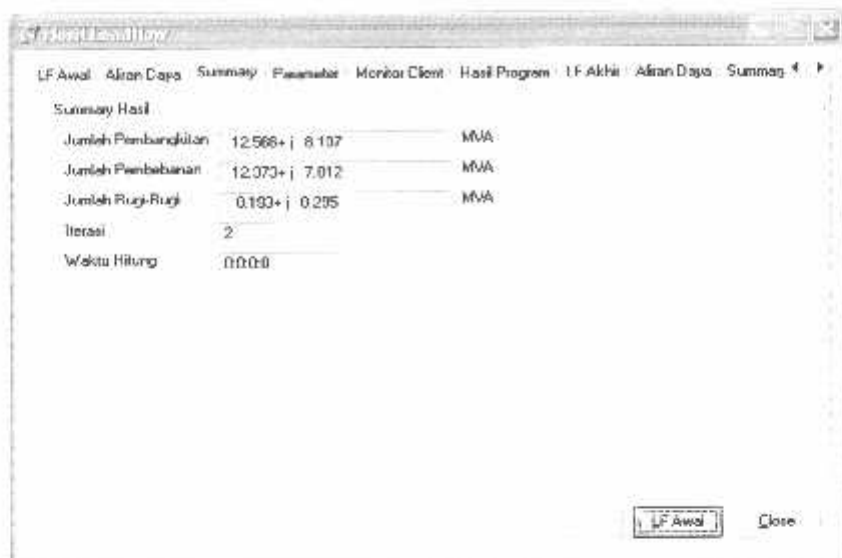
4. Tekan tombol *Next* untuk perhitungan aliran daya pada kondisi awal tekan *LF awal*.

Bus	absV (pu)	sudy (deg)	Pg (MW)	Qg (MVAR)	PL (MW)	QL (MVAR)	Sups (pu)	Type Bus
1	0.00000	12.566	8.107	0.000	1.319	0.782	0.000	1
2	0.97961	-0.53570	0.000	0.000	1.091	0.647	0.000	3
3	0.97049	-0.77298	0.000	0.000	1.303	0.773	0.000	3
4	0.96508	-0.90004	0.000	0.000	1.025	0.808	0.000	3
5	0.96633	-0.84100	0.000	0.000	0.240	0.142	0.000	3
6	0.96566	-0.86022	0.000	0.000	0.675	0.401	0.000	3
7	0.96445	-0.89542	0.000	0.000	0.448	0.266	0.000	3
8	0.99551	-0.12525	0.000	0.000	0.561	0.323	0.000	3
9	0.98219	-0.21867	0.000	0.000	0.500	0.297	0.000	3
10	0.98995	-0.28181	0.000	0.000	1.607	0.953	0.000	3
11	0.98745	-0.35287	0.000	0.000	0.190	0.113	0.000	3
12	0.98032	-0.27087	0.000	0.000	0.089	0.057	0.000	3
13	0.97585	-0.54906	0.000	0.000	0.428	0.254	0.000	3
14	0.98685	-0.31268	0.000	0.000	0.427	0.253	0.000	3
15	0.98632	0.32773	0.000	0.000	-----	-----	-----	-----

Tampilan load flow pada kondisi awal

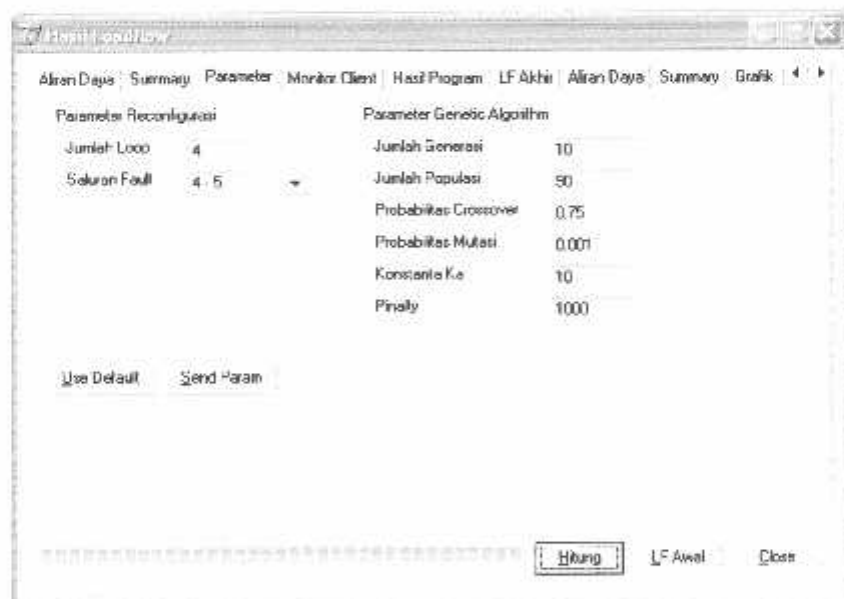
No	Dari	Ke	P (MW)	Q (MVAR)	Aarus n(A)	Aarus m(A)	Dari	Ke	P (MW)	Q
1	2	3	3.400	2.179	169.994	108.969	2	1	-3.350	-
2	2	3	2.031	1.322	103.036	68.431	3	2	-2.018	-
3	3	4	0.927	0.654	47.284	34.343	4	3	-0.923	-
4	4	5	-0.380	-0.125	-19.580	-6.761	5	4	0.380	-
5	5	6	0.316	0.545	46.975	26.872	6	5	-0.916	-
6	6	7	0.576	0.402	34.661	21.334	7	6	-0.675	-
7	1	8	3.140	1.084	156.981	94.179	8	1	-3.130	-
8	8	9	2.391	1.602	134.459	80.759	9	8	-2.674	-
9	9	10	2.113	1.260	106.252	63.881	10	9	-2.110	-
10	10	11	1.610	0.957	91.072	48.756	11	10	-1.607	-
11	1	12	4.221	2.959	211.051	147.931	12	1	-4.185	-
12	12	13	3.139	2.283	158.277	116.235	13	12	-3.111	-
13	12	14	0.856	0.509	43.187	26.936	14	12	-0.855	-
14	14	15	0.427	0.253	21.572	12.949	15	14	-0.427	-

Tampilan aliran daya pada kondisi awal



Hasil perhitungan aliran daya sebelum restorasi

5. Tekan tombol **Parameter** untuk menentukan jumlah parameter gunakan tombol **Use Default**, dan tentukan saluran gangguan selanjutnya tekan **Send Parameter** dan tekan **Hitung**.



Tampilan parameter (PSA)

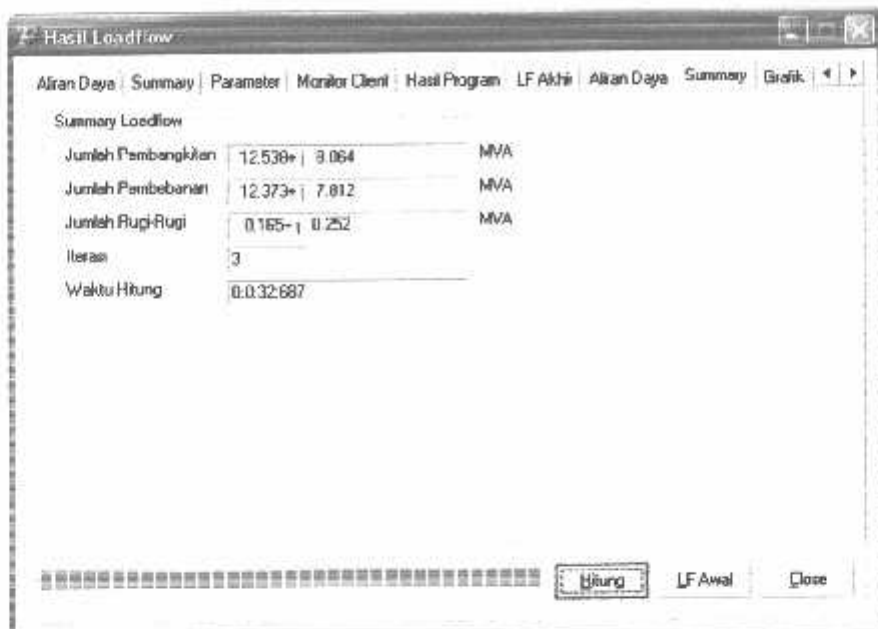
6. tekan tombol **LF Akhir** untuk mengetahui hasil load flow sesudah restorasi

Bus	aparV (pu)	audV (deg)	Pg (MW)	Qg (MVAR)	PL (MW)	QL (MVAR)	Sups (pu)	Type Bus
1	0.00000	12.538	6.064	0.000	1.319	0.782	0.000	1
2	0.98579	-0.39783	0.000	0.000	1.091	0.647	0.000	3
3	0.98111	0.53134	0.000	0.000	1.091	0.773	0.000	3
4	0.98010	-0.55923	0.000	0.000	1.303	0.608	0.000	3
5	0.97162	-0.64153	0.000	0.000	1.025	0.142	0.000	3
6	0.97096	-0.66055	0.000	0.000	0.240	0.401	0.000	3
7	0.96975	-0.00537	0.000	0.000	0.675	0.266	0.000	3
8	0.99358	-0.17795	0.000	0.000	0.443	0.000	0.000	3
9	0.98853	-0.31170	0.000	0.000	0.561	0.333	0.000	3
10	0.98495	0.42095	0.000	0.000	0.500	0.254	0.000	3
11	0.98036	-0.95110	0.000	0.000	1.607	0.953	0.000	3
12	0.99138	-0.17294	0.000	0.000	0.190	0.113	0.000	3
13	0.98006	-0.33900	0.000	0.000	0.089	0.627	0.000	3
14	0.99067	-0.26152	0.000	0.000	0.428	0.254	0.000	3
15	0.99120	-0.24658	0.000	0.000	0.427	0.253	0.000	3

Tampilan load flow pada kondisi akhir (sesudah restorasi)

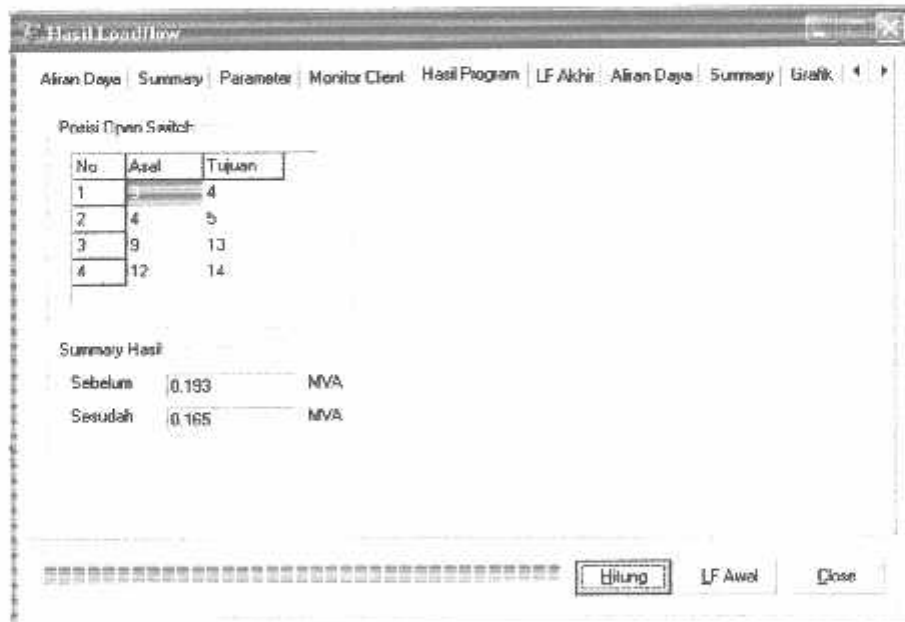
Nr	Dari	Ke	P (MW)	Q (MVAR)	Aruan [A]	Arusim [A]	Dari	Ke	P (MW)	Q
1	2	1	2.438	1.472	121.915	73.614	2	1	-2.414	-
2	3	2	1.095	0.653	55.292	33.487	3	2	-1.081	-
3	4	3	0.000	0.000	0.000	0.000	4	3	0.000	-
4	5	4	0.000	0.000	0.000	0.000	5	4	0.000	-
5	6	5	0.016	0.545	46.923	28.551	6	5	-0.916	-
6	7	6	0.676	0.402	34.547	21.036	7	6	-0.675	-
7	8	7	4.473	2.704	223.674	136.198	8	7	-4.453	-
8	9	8	4.004	2.407	201.121	121.732	9	8	-3.980	-
9	10	9	3.429	2.062	172.840	104.734	10	9	-3.420	-
10	11	10	2.560	1.741	147.568	89.471	11	10	-2.910	-
11	12	11	2.957	2.260	147.872	114.157	12	11	-2.939	-
12	13	12	2.743	2.142	138.385	108.439	13	12	-2.726	-
13	14	13	0.000	0.000	0.000	0.000	14	13	0.000	-
14	15	14	-0.428	-0.254	-21.543	-12.918	15	14	0.428	-

Tampilan aliran daya pada kondisi akhir (sesudah restorasi)

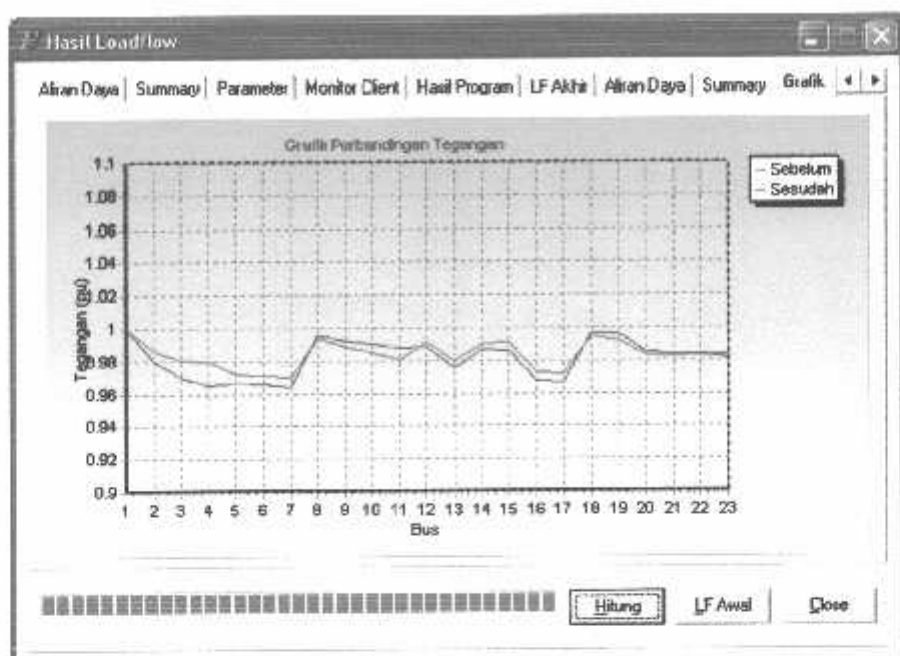


Hasil perhitungan aliran daya sesudah restorasi

7. tekan tombol **Hasil Program** untuk mengetahui hasil kombinasi switch



Hasil kombinasi open switch



Grafik perbandingan tegangan

BAB V

PENUTUP

5.1. KESIMPULAN

Dari hasil analisa data yang dilakukan didapatkan kesimpulan sebagai berikut :

1. Pada kondisi sebelum dilakukan rekonfigurasi status *switch* dalam keadaan *open* adalah *switch* 23, 24, 25 dan 26 dan pada kondisi setelah dilakukan rekonfigurasi status *switch* dalam keadaan *open* adalah *switch* 3, 4, 24, dan 13.
2. Rugi-rugi daya sebelum dilakukan rekonfigurasi jaringan adalah sebesar $0.193 + j0.295$ MVA dan setelah dilakukan rekonfigurasi jaringan rugi-rugi daya menjadi $0.165 + j0.252$ MVA atau turun sebesar $0.028 + j0.043$ MVA (14,51 %).
3. Nilai tegangan terendah sebelum rekonfigurasi sebesar 0,96445 pu yang terdapat pada bus 7, sedangkan setelah dilakukan rekonfigurasi nilai tegangan terendah sebesar 0,96975 pu pada bus 7.

5.2. SARAN

Dengan diperoleh hasil seperti pada kesimpulan, maka rekonfigurasi dengan menggunakan metode *PSA* dapat dijadikan sebagai masukan bagi instansi yang terkait, terutama GI Blimbings.

DAFTAR PUSTAKA

- [1]. H. Mori et al., "parallel simulated annealing for power system decomposition," *ieee trans. Power syst.*, Vol 9, may1999.
- [2]. Hasan Basri, Ir "Sistem Distribusi Tenaga Listrik", Balai Penerbit dan Humas IST Bumi Strengsreng Indah P. Minggu, Jakarta Selatan, 1996.
- [3]. Djiteng Marsudji " Operasi Sistem Tenaga listrik Listrik", Balai Penerbit Dan Humas ISTN 1990.
- [4]. A S Pabla " Sistem Distribusi Daya Listrik " Penerbit Erlangga 1980.
- [5]. Stevenson, William D," Analisis Sistem Tenaga Listrik ", Erlangga, Jakarta, 1990.

LAMPURAH



INSTITUT TEKNOLOGI NASIONAL MALANG
FAKULTAS TEKNOLOGI INDUSTRI
JURUSAN TEKNIK ELEKTRO S-1
KONSENTRASI TEKNIK ENERGI LISTRIK

BERITA ACARA UJIAN SKRIPSI FAKULTAS TEKNOLOGI INDUSTRI

1. Nama : AKHMAD MUSYAFAK
2. NIM : 01.12.101
3. Jurusan : Teknik Elektro S-1
4. Konsentrasi : Teknik Energi Listrik
5. Judul Skripsi : Rekonfigurasi jaringan sistem distribusi untuk perbaikan pelayanan dengan metode *parallel simulated annealing (psa)* pada gardu induk Blimbing - malang

Dipertahankan dihadapan Majelis Penguji Skripsi Jenjang Strata Satu (S-1) pada :

Hari : Kamis
Tanggal : 22 Maret 2007
Dengan Nilai : 74,5 (B+) *84*



Panitia Ujian Skripsi

Ir. F. Yudi Limpraptono, MT
Sekretaris

Ir. Mochtar Asroni, MSME
Ketua
[Signature]

Ir. H. Choirul Saleh, MT
Pengaji Kedua
[Signature]

Anggota Pengaji

Ir. Djojo Prijatmono, MT
Pengaji Pertama
[Signature]



PERMOHONAN PERSETUJUAN SKRIPSI

Yang bertanda tangan di bawah ini :

Nama : ARIANDA WASTAFIK
NIM : 0112101
Semester : X GENAP 13/14
Fakultas : Teknologi Industri
Jurusan : Teknik Elektro S-1
Konsentrasi : Teknik Energi Listrik
Alamat :

Dengan ini kami mengajukan permohonan untuk mendapatkan persetujuan untuk membuat *SKRIPSI Tingkat Sarjana*. Untuk melengkapi permohonan tersebut, bersama kami lampirkan persyaratan-persyaratan yang harus dipenuhi.

Adapun persyaratan-persyaratan pengajuan *SKRIPSI* adalah sebagai berikut :

1. Telah melaksanakan semua praktikum sesuai dengan konsentrasiya (.....)
2. Telah lulus dan menyepakati Laporan Praktek Kerja (.....)
3. Telah lulus seluruh mata kuliah keahlian (MKB) sesuai konsentrasiya (.....)
4. Telah menempuh mata kuliah ≥ 134 sks dengan IPK ≥ 2 dan tidak ada nilai E (.....)
5. Telah mengikuti secara aktif kegiatan seminar skripsi, yang diadakan Jurusan (.....)
6. Memenuhi persyaratan administrasi (.....)

Demikian permohonan ini untuk mendapatkan persetujuan lebih lanjut dan atas perhatiannya kami ucapkan terimakasih

Telah diteliti kezenaan diatas
Recording Teknik Elektro

Malang, 2000
Pemohon

Disetujui
Ketua Jurusan Teknik Elektro

Ir. F. Yudi Limpractono, MT
NIP. Y. 1039560274

Mengetahui
Dosen Wali

Catatan :

Ruoj mahasiswa yang telah memenuhi persyaratan mengambil SKRIPSI agar membuat

Surat Tanda Terima Skripsi



BERITA ACARA SEMINAR PROPOSAL SKRIPSI JURUSAN TEKNIK ELEKTRO S-1

Konsentrasi : Teknik Energi Listrik/Teknik Elektronika*)

1.	Nama Mahasiswa: AKHMAD MUSYRAFIC			Nim: 01.12.101
2.	Keterangan	Tanggal	Waktu	Tempat
	Pelaksanaan	30/06/2006	13.00 - selesai	Ruang:
Spesifikasi Judul (berilah tanda silang)**)				
3.	a. Sistem Tenaga Elektrik b. Energi & Konversi Energi c. Tegangan Tinggi & Pengukuran d. Sistem Kendali Industri	e. Elektronika & Komponen f. Elektronika Digital & Komputer g. Elektronika Komunikasi h. lainnya		
4.	Judul Proposal yang diseminarkan Mahasiswa	Rekomendasi penggunaan sistem busi untuk penyekatan pelepasan pengaruh metode aliran keahlian pada gajah untuk banting. Malang		
5.	Perubahan Judul yang diusulkan oleh Kelompok Dosen Keahlian			
6.	Catatan:			
Catatan:				
Persetujuan Judul Skripsi				
7.	Disetujui, Dosen Keahlian I 	Disetujui, Dosen Keahlian II 		
	Mengetahui, Ketua Jurusan	Disetujui, Calon Dosen Pembimbing ybs 		
	Ir. F. Yudi Limpraptono, MT NIP. P. 1039500274			

Perhatian:



(PERSERO) MALANG
IK NIAGA MALANG

PERKUMPULAN PENGELOLA PENDIDIKAN UMUM DAN TEKNOLOGI NASIONAL MALANG
INSTITUT TEKNOLOGI NASIONAL MALANG

FAKULTAS TEKNOLOGI INDUSTRI
FAKULTAS TEKNIK SIPIL DAN PERENCANAAN
PROGRAM PASCASARJANA MAGISTER TEKNIK

Kampus I : Jl. Bencungan Sigura gura No. 2 Telp. (0341) 551431 (Hunting) Fax. (0341) 552015 Malang 65145
Kampus II : Jl. Raya Karanglo, Km 2 Telp. (0341) 417636 Fax. (0341) 417634 Malang

Malang, 12 Sept. 2006

Nomer : JTN-1696/LTA/2/06
Lampiran : satu lembar
Perihal : **BIMBINGAN SKRIPSI**

Kepada : Yth. Sdr. Ir. H. TAUFIK HIDAYAT, MT
Dosen Institut Teknologi Nasional
di –
Malang

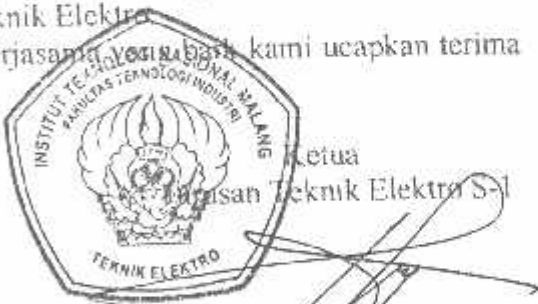
Dengan Hormat,
Sesuai dengan permohonan dan persetujuan dalam proposal skripsi
melalui seminar proposal yang telah dilakukan untuk mahasiswa :

Nama	: AKHMAD MUSYAFAK
Nim	: 0112101
Fakultas	: Teknologi Industri
Jurusan	: Teknik Elektro
Konsentrasi	: T. Energi Listrik (S-1)

Dengan ini pembimbingan skripsi tersebut kami serahkan sepenuhnya
kepada saudara/l selama masa waktu 6 (enam) bulan terhitung mulai
tanggal:

01 Juli 2006 s/d 01 Jan. 2006

Adapun tugas tersebut merupakan salah satu syarat untuk memperoleh
gelar Sarjana Teknik, Jurusan Teknik Elektro.
Demikian atas perhatian serta kerjasama yang baik, kami ucapkan terima
kasih.



Ir. F. Yudi Limpraptono, MT
Nip. Y. 1039500274

Tindasan

1. Mahasiswa yang bersangkutan
2. Acara

Form S-4a

SURAT PERNYATAAN

Perihal : Permohonan Pergantian Judul Skripsi
Kepada : Yth. Bapak Kepala Jurusan
Ir. F. Yudi Limpraptono, MT

Dengan Hormat, Bersama Ini Saya :

Nama : Akhmad Musyafak
Nim : 01.12.101
Jurusan : Teknik Elektro
Konsentrasi : Energi Listrik S-1

Mengajukan permohonan pergantian judul penulisan skripsi saya dengan judul yang pertama :

REKONFIGURASI JARINGAN SISTEM DISTRIBUSI UNTUK PERBAIKAN PELAYANAN DENGAN MENGGUNAKAN METODE ATURAN HEURISTIC PADA GARDU INDUK BLIMBING – MALANG

Menjadi :

REKONFIGURASI JARINGAN SISTEM DISTRIBUSI UNTUK PERBAIKAN PELAYANAN DENGAN MENGGUNAKAN METODE PARALLEL SIMULATED ANNEALING (PSA) PADA GARDU INDUK BLIMBING – MALANG

Hal ini saya ajukan karena ada kesulitan data dan program yang saya buat pada judul yang pertama di atas, dimana hal ini sudah disetujui dan diperiksa oleh bapak Ir. H. Taufik Hidayat, MT, selaku dosen pembimbing dalam penulisan skripsi, atas perhatian bapak kami ucapan terima kasih.

Malang, Agustus 2006

Pemohon

Akhmad Musyafak

Mengetahui
Ketua Jurusan Teknik Elektro S-1


Ir. F. Yudi Limpraptono, MT
NIP. 1039500274

Disetujui Dan Diperiksa
Dosen Pembimbing Skripsi


Ir. H. Taufik Hidayat, MT
NIP. 1018700151

INSTITUT TEKNOLOGI NASIONAL
Jl. Bendungan Siguregura No. 2
MALANG

No.

UNTUK MAHASISWA

SURAT PUAS TUGAS / PRAKTIKUM

Nomor : ITN - 014 / SKRIP/62 / SPT / 2007

Menerangkan bahwa mahasiswa :

Nama : AKHMAD MUSTAFAK NIM : 01.13.101

Jurusan : Teknik Energi Listrik S1

Angkatan : 2001 ()

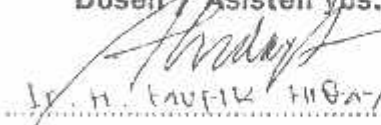
Telah menyelesaikan tugas : SKRIPSI

Semester : XI ()

Dengan Hasil : 80 (Delapan puluh) ()

Malang, 30 maret 2007..

Dosen Asisten ybs.


Dr. H. Yusuf Hidayat, MT.



FORMULIR BIMBINGAN SKRIPSI

Nama : AKHMAID MUSYAFAK
Nim : 01.12.101
Masa Bimbingan : 01 Juli 2006 s/d 01 Januari 2007
Judul Skripsi : REKONFIGURASI JARINGAN SISTEM DISTRIBUSI UNTUK PERBAIKAN PELAYANAN DENGAN METODE PARALLEL SIMULATED ANNEALING (PSA) PADA GARDU INDUK BLIMBING - MALANG

No.	Tanggal	Uraian	Paraf Pembimbing
1.	20-11-06	- Pelajaran Bab IV	Ah
2.	07-12-06	- Review Bab IV, Tambahan tabel Status switch kondisi normal, dilur	Ah
3.	13-12-06	Lambaran Bab V, keterangan teknis dan kesulitan dg Bab IV, Langkah Bab III	Ah
4.	20-12-06	- Langkah Bab V	Ah
5.	28-01-07	Review Bab V, menambahkan kerangka dan ciri-ciri tipe dan karakter yg terjadi	Ah
6.	5-02-07	Tambahan pengalaman tentang metode PSA yg	Ah
7.	10-02-07	Langkah Bab III	Ah
8.	22-02-07	Tambahan tentang pengembangan sistem sudut	Ah
9.	27-02-07	Langkah Bab I	Ah
10.	05/03-07	Ace Seminar	Ah

Malang,
Dosen Pembimbing,

Irfan H. Taufik Hidayat, MT
Nip. P. 101 8700 151

DATA PENGUKURAN BEBAN DAN TEGANGAN UJUNG (MALAM)
"UJ KOTA P GLINTUNG"

NO GRD	NO ALAMAT	DAYA (KVAr)	TGL UCH			JURUSAN "A"			JURUSAN "B"			JURUSAN "C"			JURUSAN "D"			PADA TRAF			TEG. O - G			BEBAN (KVAr)			PERSEN BEBAN			
			U	T	N	U	T	N	U	T	N	U	T	N	U	T	N	U	T	N	U	T	N	U	T	N	U	T	N	
1	16 JL LETJEND SUJIOYO	250	27-02-2006	147	125				56	46	32	83	54	34	264	40	726	228	347	197	486.96	74.78								
2	45 JL SETIAWU	250	24-04-2006			69	46					149	135	135	195	54	223	271	441	389	138.46	59.39								
3	39 JL BONGSUDAH	250	01-03-2006	74	159				192	146					305	35	132	221	311		0	0.00	0.00							
4	44 JL LETJEND SUTOMO	250	27-02-2006	55	131				187	187					173	20	111	226	311		0	0.00	0.00							
5	51 JL JAKARTA	150	20-02-2006	50	56	26	46								174	46	111	226	311		396	79.33	52.88							
6	39 JL KERTI	150	24-04-2006			51	39								72	45	111	226	311		790	88.65	55.41							
7	75 JL PADAMANTRIP	200	26-02-2006	236	757										73	55	274	226	311		390	153.00	76.50							
8	85 JL STMANTRIP	200	26-02-2006	41	59										123	84	214	216	311		380	69.55	34.78							
9	93 JL LETJEND SUTOMAN	150							10	10					7	0		0			0	0.00	0.00							
10	107 JL KALIJURANG	150	03-04-2006												70	76		80	30	379	799	431	400	53.82	53.82					
11	114 JL SEMARANG (ZTB)	150	09-03-2006	32	51										37	54	24	230	432		403	24.38	16.25							
12	137 JL SEMARANG	150	20-02-2006			31	93								38	112	131	56	233	234	411	410	104.85	69.90						
13	138 JL FONDOWOSO	160	24-04-2006												163	181	164	141	58	718	157	218	380	115.16	72.35					
14	141 JL LETJEND SUTOMAN	200													7	0		0			0	0.00	0.00							
15	142 JL KALIJURANG BARAT	160	24-04-2006	140	169										102	128	224	297	315	214	373	168.63	105.40							
16	156 JL BANDUNG (UNMUH)	250	27-02-2006	82	68				94	74					173	51	738	728	414	403	106.48	42.59								
17	148 JL LETJEND SUTOMAN	160	31-03-2006	153	132										152	186	72	223	361	223	361	109.78	68.61							
18	153 JL LETJEND SUTOMAN	160	20-02-2006												10	2	19	228	326	236	414	146.32	73.16							
19	166 JL KONSELIK	160	24-04-2006	31	34										7	2	19	227	325	225	389	46.58	29.11							
20	173 JL SUBABAYA (JASA TIRTA)	250													25	22	164	50	236	236	414	0	0.00	0.00						
21	196 JL ACHMAD YANI	200													10	0	0	0	0	0	0	0.00	0.00							
22	210 JL LETJEND SUTOMAN (TELKOM)	400													10	0	0	0	0	0	0	0.00	0.00							

**DATA PENGUKURAN BEBAN DAN TEGANGAN UJUNG (M.ALAM)
"UJU KOTA P GINTUNG"**

DISTRIBUSI JAWA TIMUR
A P & J MALANG

P.T. PLN (PERSEBERO)
DISTRIBUSI JAWA TIMUR
A.P & J. MALANG

DATA PENGUKURAN BEBAN DAN TEGANGAN UTJUNG (MALAM)
"UJ KOTA P GLINTUNG"

DATA PENGUKURAN BEBAN DAN TEGANAN UTJUNG (MALAM)
"UJ KOTA PWENDIT"

NO ENO	NO ALAMAT	DAYA (KV.A)	TEL UGR	JUBUSAN "A"			JUBUSAN "B"			JUBUSAN "C"			JUBUSAN "D"			PADA TEGO			TEG 2 - Ø			BEBAN PERSEN						
				T	N	S	T	N	S	T	N	S	T	N	S	T	N	S	T	N	S	T	N	S				
1	28	JL. KERTAWENDIT	160	07-01-2006									168	186	86	168	188	86	49	220	220	380	380	377.24	62.78			
2	185	jl. TELUK CENDAWASIH	150													0	0	0	0	0	0	0	0	0.00	0.00			
3	202	JL. TELUK CENDAWASIH	250	07-01-2006			120	132	79				67	51	69	187	183	148	65	220	220	384	384	384	113.96			
4	203	JL. KERTAWENDIT	150	07-02-2006			137	81	136				36	78	39	174	175	175	39	230	230	403	403	403	116.61			
5	215	DS. P. OCEAN SARAT	200	23-03-2006			40	90	03				72	57	93	120	135	176	55	228	228	397	397	397	102.83			
6	227	JL. SAWAH WENDIT	50													0	0	0	0	0	0	0	0	0.00	0.00			
7	224	JL. KERTAWENDIT	150										63	20	1	111	125	67	63	222	222	387	387	387	67.27			
8	254	JL. TELUK BONE	150													0	0	0	0	0	0	0	0	0.00	0.00			
9	233	DS. MANGGARAWAN	150	07-03-2006			52	45	25				78	93	68	130	138	93	54	222	222	390	390	390	82.14			
10	338	DS. W. CHODASAH	200	10-02-2006			155	155	27.3				96	104	92	251	259	68	226	226	396	396	396	181.93				
11	378	JL. SAWAH INTAN	150	78-02-2006			241	250	193				3	12	15	244	762	208	63	213	213	395	395	395	152.04			
12	428	JL. TELUK SARANTALO	150	28-02-2006	23	65	34					40	56	46	63	171	80	54	222	222	392	392	392	58.61				
13	459	JL. ARJUNASARI (2ST)	430												0	0	0	0	0	0	0	0	0.00	0.00				
14	522	DS. MANGGARAWAN	150	29-01-2006									25	28	30	25	28	30	15	227	227	396	396	396	18.84			
15	533	DS. MANGGARAWAN	150												0	0	0	0	0	0	0	0	0.00	0.00				
16	537	PWM. POND. BLIMbing INDAH	200	28-02-2006			53	80	27	84	80	92	31	59	85	168	219	164	90	224	224	399	399	398	123.42			
17	554	PWM. KOMPAK ADAYA (VILLA GARDY)	160												0	0	0	0	0	0	0	0	0.00	0.00				
18	577	DS. PASAN TIMUR	250	23-03-2006			258	131	236				137	119	150	395	300	186	105	215	215	371	371	371	92.57			
19	606	JL. GADING TELAGA GADING	160	03-04-2006	16	0	6	2	0	0	23	21	21	41	21	27	24	223	223	393	393	393	19.85					
20	608	JL. MANGGARAWAN	150	29-03-2006			37	78	49				17	16	4	54	94	53	43	223	223	389	389	389	44.82			
21	649	JL. TISITOMOYO / PAKIS	250	01-02-2006									186	189	165		164	142	147	349	331	312	214	214	336	386	212.29	
22	650	JL. TISITOMOYO / PAKIS	200	01-03-2006									126	168	100		146	99	128	251	257	228	57	212	212	383	383	153.91
23	655	PRM. ASASII / MANGGARAWAN	100	07-03-2006			44	19	53				38	76	82	82	95	135	63	223	223	383	383	383	69.58			
24	659	DS. MANGGARAWAN (P. PLASIKER)	90													0	0	0	0	0	0	0	0	0.00	0.00			
25	676	DS. MANGGARAWAN (C. SETIAWAN)	200													0	0	0	0	0	0	0	0	0.00	0.00			
26	681	PWM. POND. BLIMbing INDAH	150	28-02-2006									46	31	25	102	89	80	31	223	223	397	397	397	80.21			

DATA PENGUKURAN BEBAN DAN TEGANGAN UTJUNG (MALAM)

"UTJ KOTA P WENDIT"

NO GRD	NO ALAMAT	DAYA (kVA)	TSL UKUR	JURUSAN "A"			JURUSAN "B"			JURUSAN "C"			JURUSAN "D"			PADA TRAFO			TEG. 2			BERAN BERAT (tva)					
				R	I	N	R	I	N	R	I	N	R	I	N	T	H	S	T	G	S	T					
27	705 JL. TELUKENIA (PTU)	10														0	0	0	0	0	0	0	0	0	0	0	
28	714 PRM PONDOK BLIMBING INDAH	160	28-03-2006				11	40	18	56	54	52	46	33	30	115	129	106	45	226	236	402	403	403	79,10	45,44	
29	715 PRM PONDOK BLIMBING INDAH	160	28-03-2006				14	52	11	125	96	78	36	73	16	172	177	105	83	222	222	391	391	391	102,12	53,83	
30	717 PRM PAZA ARAYA	1250											0	0	0		0	0	0	0	0	0	0	0	0,00		
31	727 JL. RAHEN DIANTAN PT TASHEN	160											0	0	0		0	0	0	0	0	0	0	0	0,00		
32	728 PRM PAZA ARAYA	160											0	0	0		0	0	0	0	0	0	0	0	0,00		
33	749 PRM PAZA ARAYA	25	23-04-2006	6	0	0							8	0	0	7	223	223	191	191	191	191	191	191	7,14		
34	749 PRM PAZA GOLF ARAYA	200											0	0	0		0	0	0	0	0	0	0	0	0,00		
35	755 DS MANGIARAWAN (PT BENEN)	630											0	0	0		0	0	0	0	0	0	0	0	0,00		
36	763 JL. RAHEN DIANTAN	160	28-03-2006	163	120	139							165	165	163	52	220	220	222	222	401	401	401	393	393	70,94	
37	768 PRM PONDOK BLIMBING INDAH	160	28-03-2006				54	19	41				20	11	14	74	40	55	49	222	222	401	401	401	35,30	22,06	
38	769 PRM PONDOK BLIMBING INDAH	160	28-03-2006										15	39	6	144	130	119	55	224	224	395	395	395	83,03	55,02	
39	773 DS MANGIARAWAN	250	29-01-2006										164	117	130	304	241	279	66	220	220	383	383	380	161,28	72,51	
40	779 PRM PAZA GOLF ARAYA	700	01-01-2006	7	2	0							7	2	0	7	223	223	223	223	392	392	392	392	1,00		
41	780 PRM PAZA GOLF ARAYA	160	01-01-2006	8	9	8							8	9	8	4	210	210	220	220	388	388	388	388	5,50		
42	781 PRM PEGIPALMA	200	03-04-2006	17	22	19	18	12	11				25	34	30	21	226	226	226	226	399	399	399	399	22,37		
43	822 PRM PONDOK BLIMBING INDAH	200	28-03-2006										55	75	89	116	128	155	53	222	222	396	396	396	88,58	44,29	
44	828 DS MANGIARAWAN	100	29-03-2006	37	44	43							5	8	4	42	52	47	29	228	228	403	403	403	32,15	32,15	
45	840 DS PEGIKATEN / BUGIS	250	07-03-2006										92	110	69	103	84	119	195	194	188	719	719	719	176,36	50,05	
46	844 PRM PONDOK BLIMBING INDAH	200	21-03-2006	37	14	14							69	89	92				126	96	125	64	215	215	378	74,61	37,30
47	854 PRM PONDOK BLIMBING INDAH	100	20-03-2006	37	79	91							27	12	37	73	39	56	100	51	93	56	227	227	399	399	55,39
48	864 PRM PONDOK BLIMBING INDAH	200	23-03-2006																0	0	0	0	0	0	0,00		
49	891 PRM ARAYA VILLA GARDEN II	200																									
50	903 PRM PONDOK BLIMBING INDAH	160	23-03-2006										30	55	65				45	226	226	397	397	397	49,04	30,65	
51	905 PRM PONDOK BLIMBING INDAH	200	23-03-2006	30	12	33							16	20	33	46	32	65	33	228	228	401	401	401	32,33	16,42	
52	906 PRM PONDOK BLIMBING INDAH	100	23-03-2006	36	55	30							53	57	11				89	112	41	82	228	228	399	399	55,18

**DATA PENGUKURAN BEBAN DAN TEGANGAN UTUNG (MALAM)
"UT KOTA P WENDIT"**

No	No 620	ALAMAT	DAYA (KVA)	JURUSAN 'A'		JURUSAN 'B'		JURUSAN 'C'		JURUSAN 'D'		PADA TRAFIC		TEG PADA S-1		TEG PADA S-2		EDBAN (KA)		PERSEN BEBAN		
				OKUR	2	N	4	T	N	4	T	N	R	-	N	R	-	N	R	-	N	R
53	966	PRM SAPTORAYA (SATOREN 660)	100									0	0	0	0	0	0	0	0	0	0	0
64	967	PRM SAPTORAYA (SATOREN 660)	160									0	0	0	0	0	0	0	0	0	0	0
75	968	PRM SAPTORAYA (SATOREN 660)	160	03-04-2006	36	61	70		100	25	75	136	86	145	80	222	222	382	382	61 47	50 92	
76	974	PRM PONDOK BLOMING INDAH	160	05-04-2006					56	50	49	56	50	47	15	221	221	390	390	34 26	21 41	
77	991	JL MANG TAWAN (PAB 6211HNS)	160						0	0	0	0	0	0	0	0	0	0	0	0	0	
78	997	LHS BULU (JEPY REN 660)	100	03-03-2006	134	132	131					134	131	131	216	216	216	375	376	376	85 75	
79	999	PRM KOTA ARAYA BLOMINGS	75%									0	0	0	0	0	0	0	0	0	0	0
80	1000	PRM KOTA ARAYA BLOMINGS	200	03-04-2006	9	14	15		104	94	95	113	97	111	38	229	229	350	350	360	360	
81	1001	PRM KOTA ARAYA BLOMINGS	200	03-04-2006	15	17	14		2	28	2	17	40	15	13	224	224	388	388	360	360	
82	1002	PRM KOTA ARAYA BLOMINGS	200	03-04-2006	13	9	3					13	9	4	3	222	222	387	387	5 77	2 89	
83	1003	PRM KOTA ARAYA BLOMINGS	160	03-04-2006	8	0	0					8	0	0	2	222	222	391	391	391	1 78	
84	1004	PRM KOTA ARAYA BLOMINGS	100	15-02-2006	79	113	26					70	113	26	70	225	225	391	391	47 03	47 03	
85	1035	PRM P B J PUKUT DAKA	200						0	0	0	0	0	0	0	0	0	0	0	0	0	
86	1036	PRM P B J PUKUT DAKA	200	03-03-2006	8	7	5		42	26	46		50	33	51	24	226	226	392	392	32 28	15 14
87	1036	PRM PONDOK BLOMINGS INDAH	160	03-04-2006	141	163	174					141	163	172	37	223	223	395	395	106 59	56 62	
88	1040	DS MANDIRAWA (PAB KAYU)	160									0	0	0	0	0	0	0	0	0	0	0
89	1041	JL RADEN INTAN (PAB SEPUTU)	100									0	0	0	0	0	0	0	0	0	0	0
90	1054	JL TELUK TOMINI	160	28-02-2006	173	139	140		25	5	53		198	144	193	69	221	221	391	391	119 34	74 59
71	1055	PRM VILLA SARIAN SY IT ARAYA	200	03-04-2006	11	24	17					11	24	17	13	220	220	388	388	11 44	5 72	
72	1056	PRM VILLA SARIAN SY IT ARAYA	20									0	0	0	0	0	0	0	0	0	0	0
73	1056	JL TEL SPAGETTI	160	03-03-2006					56	45	22	153	55	54	222	222	386	386	386	75 70	47 31	

DATA PENGUKURAN BEBAN TRAFO DISTRIBUSI (MALAM)
"UJ KCTA MALANG" / PASAHAN"

NO GRID	NO	ALAMAT	DAYA (KVA)	TRG UKUR	JURUSAN "A"			JURUSAN "B"			JURUSAN "C"			JURUSAN "D"			PADA TRAFO			TRG Ø 2			PERSEN BEDAN	
					N	R	T	N	R	T	N	R	T	N	R	T	N	R	T	N	R	T		
1	2	JL. DIPONEGORO	200	10-03-2006	74	69											218	57	217	217	380	136.06	66.03	
2	3	JL. JACINTA SURYA STC	200	10-01-2006	35	37											222	47	219	219	387	169.94	84.97	
-	83	JL. MADIUN	100	10-03-2006	38	70											16	70	24	225	395	51.98	51.98	
4	86	JL. TENAGA 2 PAKET PPN KERAMIK	250																					
5	112	JL. CILWUNG	200	10-03-2006	97	56	69	49	58	214	212	54	238	225	475	225	475	225	225	475	405	132.08	66.04	
6	124	JL. GAYA (N2) KROYA NATAS	250	11-03-2006	4	6											10	2	103	223	390	396	6.02	3.01
7	125	JL. KARYA DR. PRAMANA	160	11-03-2006	1	2											5		78	12	34	264	50.01	
8	128	JL. CILWUNG	100	11-03-2006	5	7											5	2	6	775	226	422	402	23.07
9	145	JL. CILWUNG II	220	11-03-2006	35	13											32	13	174	186	396	412	3.16	
10	147	JL. CILWUNG	250	11-03-2006	47	57											39	86	231	231	355	400	143.22	57.29
11	221	JL. CILWUNG	100	11-03-2006	30	46											46	34	151	151	230	230	106.95	42.78
12	223	JL. J. A SUPRAFIC	75														45	76	46	229	229	229	425	39.39
13	234	JL. HASANUDIN	100	11-03-2006	73	112											0	0	0	0	0	0	0.00	0.00
14	267	JL. TENAGA UTA	100	11-03-2006	27	50	79	57									6	76	118	118	227	227	62.65	62.65
15	279	JL. JASOROKO (TIARA)	200	10-03-2006	77	110											32	13	105	120	226	226	380	80.46
16	285	Jl. LETJEND SPARWAN (GRENSEL)	25														0	0	0	0	0	0	0.00	0.00
17	286	JL. KARYA THUS	200														0	0	0	0	0	0	0.00	0.00
18	301	JL. CILWUNG	150	10-03-2006	121	133											121	45	223	223	351	391	76.04	76.04
19	314	JL. DR. WADIN	150	10-03-2006	165	176											177	203	48	215	219	384	123.39	82.26
20	354	JL. KARYA THUS	160	09-03-2006	4	10											4	10	4	230	230	230	407	4.60
21	364	JL. DIPONEGORO	150	10-03-2006	3	8											105	112	57	46	122	226	226	56.95
22	372	JL. CILWUNG III	250	13-03-2006	122	136											108	120	214	214	377	377	43.80	
23	373	DS. PATIK SALAH	165	13-03-2006	4	70	46										167	206	72	226	401	401	142.38	
24	384	JL. MAHALAM	75	10-03-2006	35	12											57	46	92	36	228	226	398	74.10
25	434	JL. PATUK SALAM (IND KERAMIK)	160														35	12	30	225	225	392	392	16.43
26	445	JL. TENAGA CILWUNG	630														0	0	0	0	0	0	0.00	0.00

DATA PENGUKURAN BEBAN TRAFO DISTRIBUSI (MALAM)

"WT KOTA MALANG"/PASAHAN"

DATA PENGUKURAN BEBAN TRAFO DISTRIBUSI (MALAM)

"UJ KOTA MALANG "/ P ASAHAH"

DATA PENGUKURAN BEBAN DAN TEGANGAN UTJUNG (MALAM)
"UJ KOTA P MAWAR"

NO	GRD	ALAMAT	DAYA (KVA)	TEL UKUR	JURUSAN "A"			JURUSAN "B"			JURUSAN "C"			JURUSAN "D"			PAJU TRAF			TEG D			BEBAN (KVA)			PERSEN BEBAN						
					R	T	N	R	T	N	R	T	N	R	T	N	R	T	N	R	T	N	R	T	N							
1	15	JL BRIDGE S SUPRADI	200	13-02-2006				161	141	122				72	108	82		233	249	204	53	213	213	379	379	146,12	73,36					
2	21	JL MURIA	200	17-02-2006	128	114	119				92	42	50					220	156	159	64	223	223	391	391	121,54	60,77					
3	22	JL MAYTEND PANJAITAN	150	26-02-2006				24	37	20	80	21	25		110	128	148		214	186	123	49	218	218	386	386	129,27	96,18				
4	32	JL KALIUKANG (SAMAWAN)	150	16-02-2006				22	37	12	71	101	60					92	138	72	45	224	224	195	195	395	395	67,87	67,87			
5	36	JL BUNCAC	150	17-02-2006				137	115	173							152	145	138		249	270	311	61	222	222	392	392	193,14	77,26		
6	38	JL TAYSA AGUNG SURAPATO	150	14-02-2006	176	115	92											176	115	92	56	220	220	220	220	385	385	144,26	52,65			
7	53	JL. MAYTENG PANJAITAN	150	26-02-2006				20	17	4							205	125	189		225	142	193	32	225	225	391	391	126,00	64,00		
8	100	JL MAYTENG HARTONO (UNIBRA)	150	22-04-2006				5	19	0							6	15	69	11	34	69	35	226	226	226	226	376	376	25,76	25,76	
9	110	JL KAWAS	150	20-04-2006	81	84	11				140	58	116					221	152	127	69	220	220	220	220	380	380	110,00	73,33			
10	122	JL MAYTENG HARLONO	150	24-04-2006				2	2	12							293	157	226		295	169	233	95	232	232	202	202	364	364	145,64	97,23
11	133	JL WILAYAH KUSUMA (EX MAWAR)	150														0	0	0		0	0	0	0	0	0	0,00	0,00				
12	150	JL CIANTUR	100	17-02-2006	98	103	97										98	103	97	34	222	222	222	222	392	392	66,16	66,16				
13	186	JL BOROBUDUR	150														0	0	0		0	0	0	0	0	0	0,00	0,00				
14	193	JL CENGKEH	250	17-02-2006				198	153	130						150	172	90		348	325	220	75	219	219	397	397	195,57	76,23			
15	230	JL LITJEND SU TOYO V	200	14-02-2006				115	82	78						114	126	99		229	210	177	67	218	218	378	378	134,29	67,14			
16	231	JL PARANG TRITIS	163	16-02-2006				152	182	168						1	1	12		153	183	180	39	221	221	390	390	114,04	71,27			
17	235	JL SUKA PURA	200	14-02-2006	74	80	68	14	41	31	8	22	36					96	143	135	54	212	212	371	371	79,29	39,64					
18	237	JL PANGSEUNG	250	17-02-2006				19	163	95							194	175	181		213	139	218	93	230	230	406	406	190,90	76,36		
19	240	JL MAYTENG PANJAITAN	150	13-02-2006				117	21	40						29	74	69		176	95	109	81	220	220	383	383	83,60	52,25			
20	244	JL MALABAR	150	17-02-2006				38	82	42						5	8	25		43	90	67	37	225	225	396	396	45,00	28,13			
21	251	JL PLESANG KIPAS	150	17-02-2006				60	78	98							135	99	83		195	177	181	62	223	223	392	392	123,32	82,21		
22	265	JL PANJAITAN	150	17-02-2006				69	74	90							85	34	19		155	108	99	42	223	223	392	392	80,73	53,82		
23	270	JL BOROBUDUR BARAT	150	17-02-2006				169	101	203							23	39	24		192	140	227	72	220	220	380	380	122,98	81,99		
24	273	JL M.T. HARIONO (UNIBRA)	200	22-04-2006	36	69	66										36	59	66	39	225	225	225	225	403	403	703	703	100,00	-		

DATA PENGUKURAN BEBAN DAN TEGANGAN UTJUNG (MALAM)
"UJ KOTA P MAWAR"

NO GRD	NO	ALAMAT	DAYA (kVA)	TOL UKUR	JURUSAN "A"			JURUSAN "B"			JURUSAN "C"			JURUSAN "D"			JADWA TRAFCO			TEG PADA			BEBAN			PERSEN BEBAN					
					T	N	P	T	N	P	T	N	P	T	N	P	T	N	P	S-I	T-O	P-C	S-I	T-O	P-C						
25	284	JL. KALPATARU	150	28-03-2006	105	171	107				13	22	51				118	193	158	80	721	221	221	383	383	103.65	69.10				
26	290	DS. TUMBALANGAN	150	08-03-2006				57	47	48				174	153	116				231	200	164	110	217	717	217	386	386	129.12	85.08	
27	305	JL. KEDAWUNG	160	14-02-2006				94	108	106				51	63	62				145	171	168	55	221	721	221	384	384	106.96	66.85	
28	316	JL. LEMBARAN / BATANG BATU	160	24-03-2006				10	20	16				78	124	116				88	144	132	71	218	210	218	365	325	105	70.35	49.60
29	315	JL. TA SOFIAH DIT	150	14-02-2006				21	13	38				175	137	152				196	150	200	45	226	226	226	402	402	412	121.40	82.76
30	323	JL. SOGOR	150														0	0	0			0	0	0				0.00	0.00	0.00	
31	325	JL. LEMBANG	150	20-04-2006	77	73	98				70	87	69				147	160	157	75	222	222	222	365	365	173.05	66.67				
32	337	JL. UNIGRA POLITEKNIK	150	KHUSUS													0	0	0			0	0	0				0.00	0.00	0.00	
33	350	JL. MAWAD SELATAN	150	20-04-2006	9	17	6				175	106	135				184	122	141	53	220	220	220	360	360	170	98.34	65.56			
34	361	JL. MAYJEND PANTJAWATAN	150														0	0	0			0	0	0				0.00	0.00	0.00	
35	368	JL. NUSA INDAH	150	16-02-2006				157	162	143				67	26	68				246	188	210	43	224	224	224	390	390	144.26	96.17	
36	369	JL. RANTAUAN TERJUSAN	150														0	0	0			0	0	0				0.00	0.00	0.00	
37	370	PRABOTM / LANDIL MENTAL	150														0	0	0			0	0	0				0.00	0.00	0.00	
38	389	DS. TEMBALANGAN / KALPATARI	150	20-04-2006	6	0	2								94	125	157				100	125	159	73	219	219	219	382	382	24.10	56.06
39	408	JL. KEMBANG RIST	200	17-02-2006				128	162	164				24	53	34				152	215	198	45	231	231	231	405	405	130.52	65.26	
40	409	JL. SARANGAN	150	14-02-2006				52	76	147				61	82	71				143	153	218	64	218	218	218	385	385	195	131.14	75.43
41	412	JL. MAYJEND HARTONO (UNIBRA)	160														0	0	0			0	0	0				0.00	0.00	0.00	
42	424	PROMBTN / SEMP BOROBUDUR	250	16-04-2006				95	132	145				125	136	149				220	268	294	60	226	226	226	398	398	174.73	70.69	
43	425	PERMANTARAN TEGAL	100	16-02-2006				25	79	36				45	8	15				70	87	53	34	238	228	228	401	401	47.88	47.88	
44	455	DK BUKIR SAJI / TULUSREJO	250	24-03-2006				167	178	123				109	86	58				276	224	131	94	218	218	218	390	390	143.46	59.38	
45	460	JL. M.T HARYONO (UNIBRA)	1250	KHUSUS													0	0	0			0	0	0				0.00	0.00	0.00	
46	485	JL. KEDAWUNG	200	14-03-2006	142	151	120										142	151	120	44	222	222	222	389	389	91.69	45.84				
47	520	JL. LEBAK SAKI	160	14-02-2006													45	115	116	39	115	116	39	227	227	401	401	71.73	44.83		
48	527	JL. KALPATARU	150	14-02-2006													91	36	86		197	101	118	218	218	383	383	90.69	60.46		
49	542	JL. CENGGRAYAM	150	16-02-2006													93	54	138	67	227	227	227	398	398	89.8	81.52	55.40			

DATA PENGUKURAN BEBAN DAN TEGANGAN UTJUNG (MALAM)

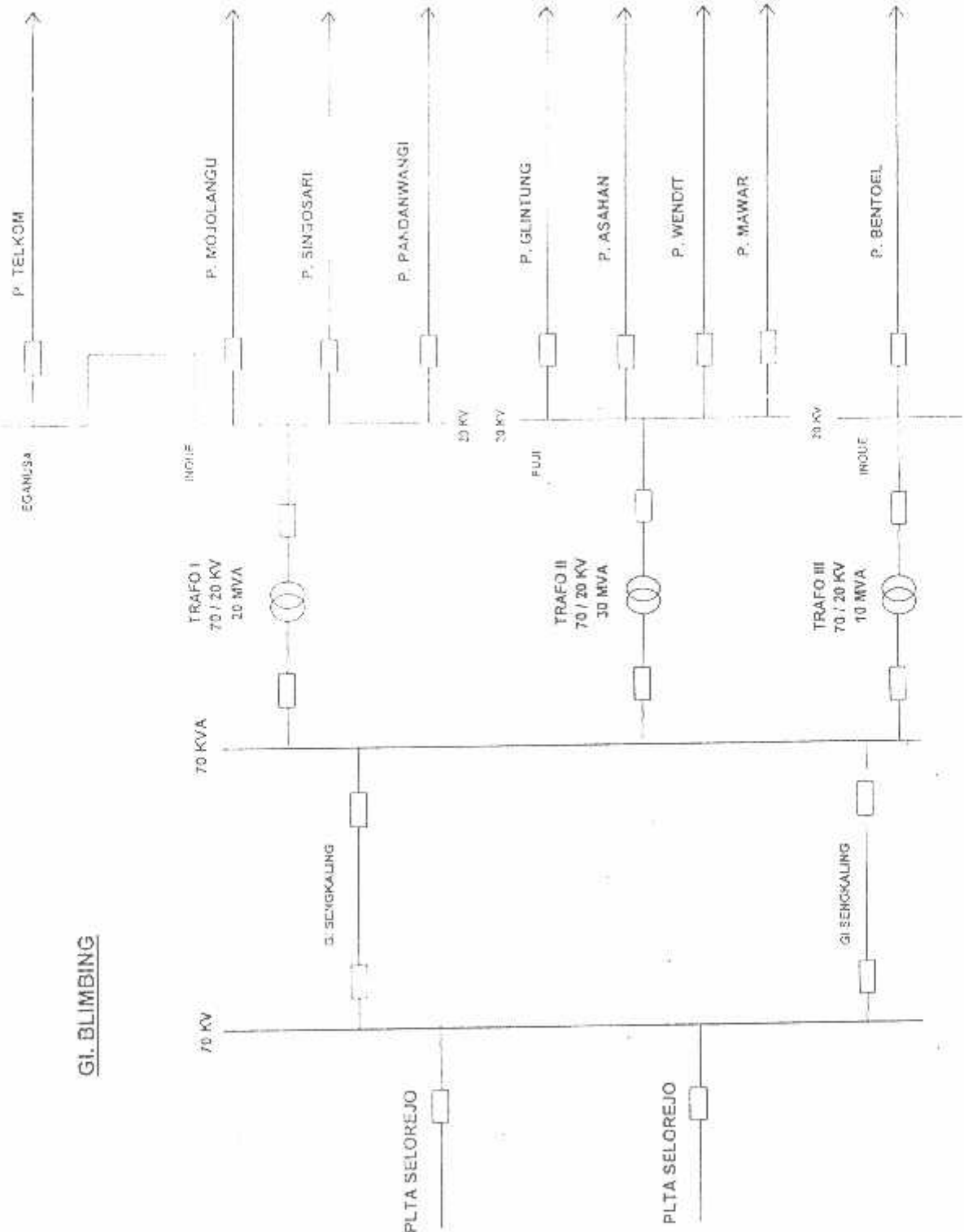
"UJ KOTA P MAWAR"

NO ERD	NO	ALAMAT	DAYA (kVA)	TEL UELR	JURUSAN "A"			JURUSAN "B"			JURUSAN "C"			JURUSAN "D"			PADA TRAF			TEG. RADA			TEG. 2 - Ø			BEBAN (kVA)			PERSEN BEBAN			
					R	N	T	R	N	T	R	N	T	R	N	T	R	N	T	R	N	T	R	N	T	R	N	T	R	N	T	
50	543	JL. KALPATARI	150	14-03-2006	153	74	186																									
51	555	JL. MAYJEND PANJAITAN	160	25-02-2006																												
52	570	JL. MAYTEN HARGONO	160	17-02-2006		44	13	64																								
53	584	JL. SUMEDOJA	160	16-07-2006		152	72	24																								
54	525	JL. TEMBALUANAN	200	08-03-2006		193	241	213																								
55	588	PRM YOGYAKARTA	160	14-03-2006		18	28	22																								
56	605	JL. GAMIKAHAN BARAT	120	16-01-2006		67	56	64																								
57	613	JL. SRI GADUNG	210	06-03-2006		125	147	110																								
58	689	JL. UNDIAFIAT FISIKOMI	160																													
59	708	JL. SERIADI (SMK S. QSH)	160																													
60	729	JL. J. A. SUPARDO (B MASDEKT)	160																													
61	737	JL. CENGKEH	250	17-02-2006		65	30	37																								
62	741	JL. MELAI	160	16-12-2006		117	86	156																								
63	744	JL. CANDI ASUNG	160	17-02-2006		24	6	13																								
64	754	JL. BOROBUDUR	200	14-03-2006		161	139	173																								
65	775	JL. CANDI SARULUARA	250	14-03-2006		136	100	171																								
66	777	JL. MAYJEND PANJAITAN	250	17-02-2006		193	162	180																								
67	857	JL. KANTOR REKORAT UNIBRA	200	22-04-2006		35	21	38																								
68	920	JL. SEMANSEUTIUR	160	05-03-2006		15	4																									
69	937	JL. LAB BIOLÓGI UNIBRA	160																													
70	972	JL. SUKARNO HATTA (UNIBRA)	200																													
71	998	JL. KFMONGO / MALANG	160	24-03-2006		161	158	213																								
72	1369	JL. CANDI MENUT	100	17-02-2006		52	45	48																								
73	1071	JL. GUNTUR	100	24-04-2006		71	94	79																								
74	1079	DS SAMAAN	100	24-04-2006		37	18	49																								
						11	7	6																								

DATA PENGUKURAN BEBAN DAN TEGANGAN UJUNG (MALAM)
"JJ KOTA P MAWAR"

NO GRD	NO ALAMAT	DAYA (KVA)	JURUSAN "A"			JURUSAN "B"			JURUSAN "C"			JURUSAN "D"			PADATRAFU			TEG PADA			TEG Ø - Ø			BEBAN (KVA)							
			T	R	I	T	N	R	F	N	S	T	N	E	T	N	S	T	N	R-L	T-L	N-L	T-S	N-S	R-S	T-S	N-S	R-S	T-S	N-S	
75	1084	JL. AT HARYONO (PABES)	200																	0	0	0	0	0	0	0	0	0	0	0	
76	1095	JL. SOEKARNO HATTA	100	25-02-2006	106	55	61													179	116	95	78	222	222	272	388	388	388	80.58	86.58
77	1101	JL. RUKTB SAAT / TULUS DEJO	100	18-01-2006	91	62	58													163	109	88	72	221	221	221	382	382	382	79.56	79.56
78	1124	JL. IKAMBALIS	200	16-04-2006	78	95	45													127	116	124	56	227	227	227	393	393	393	83.31	63.31
79	1157	JL. SULISTYO - FAHIMA	160	24-04-2006	10	59	31													107	137	82	47	230	230	230	403	403	403	74.52	37.26
80	1158	JL. EGROMO DUR	150	17-02-2006	95	112	95													95	112	49	28	228	228	228	397	397	397	69.77	43.61

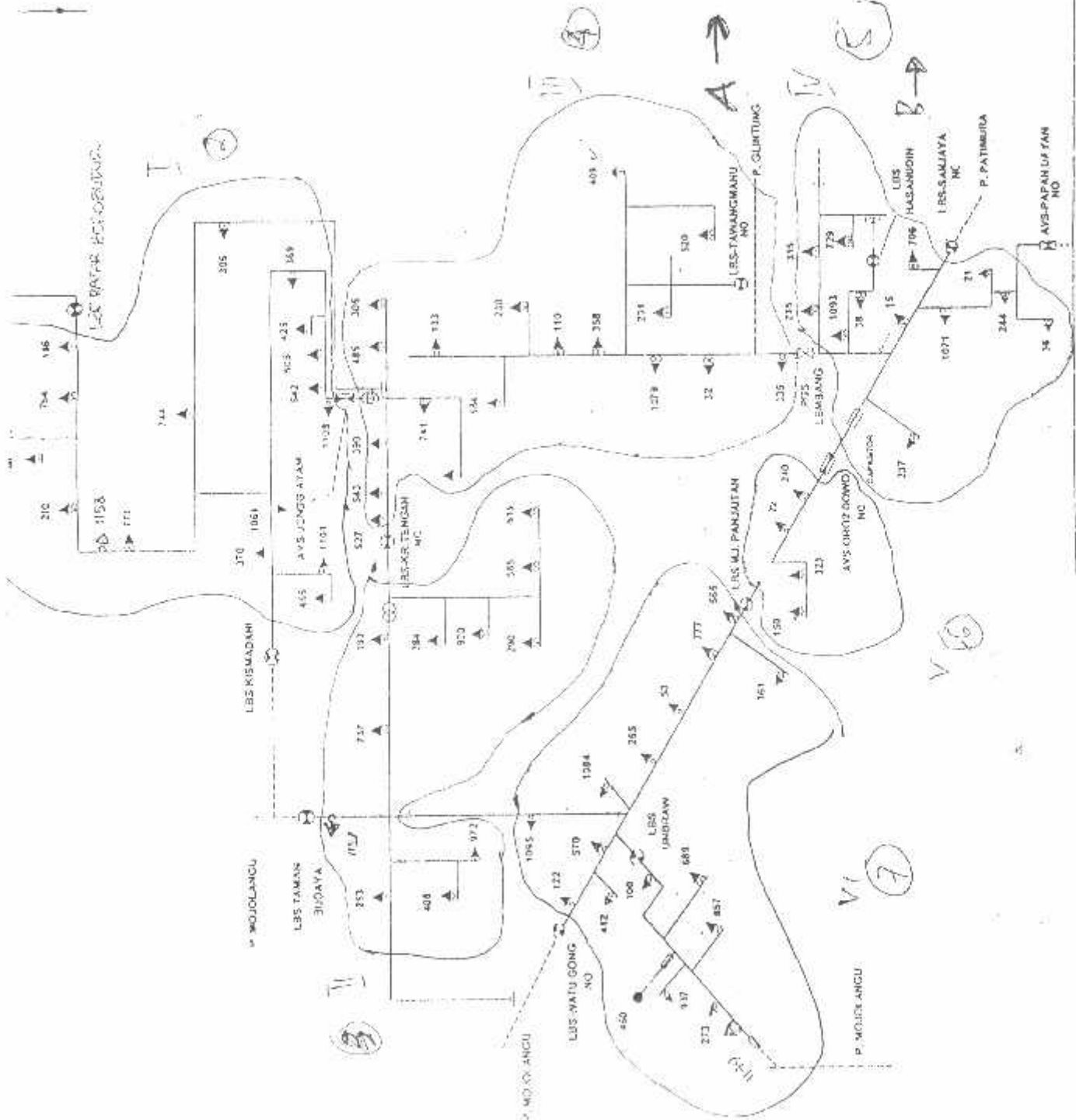
GI. BLIMBING



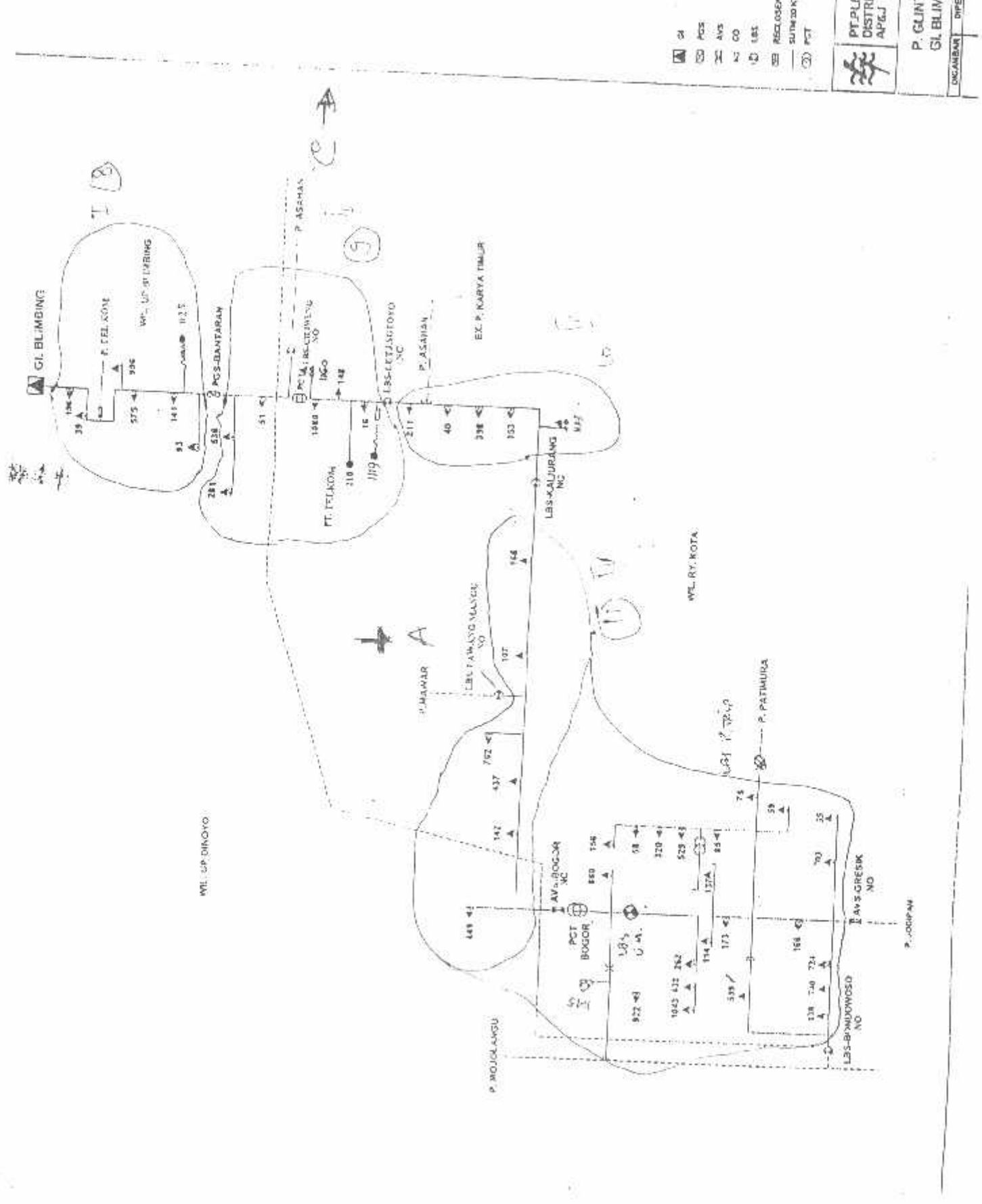
SINGLE LINE DIAGRAM
GARDU INDUK BLIMBING

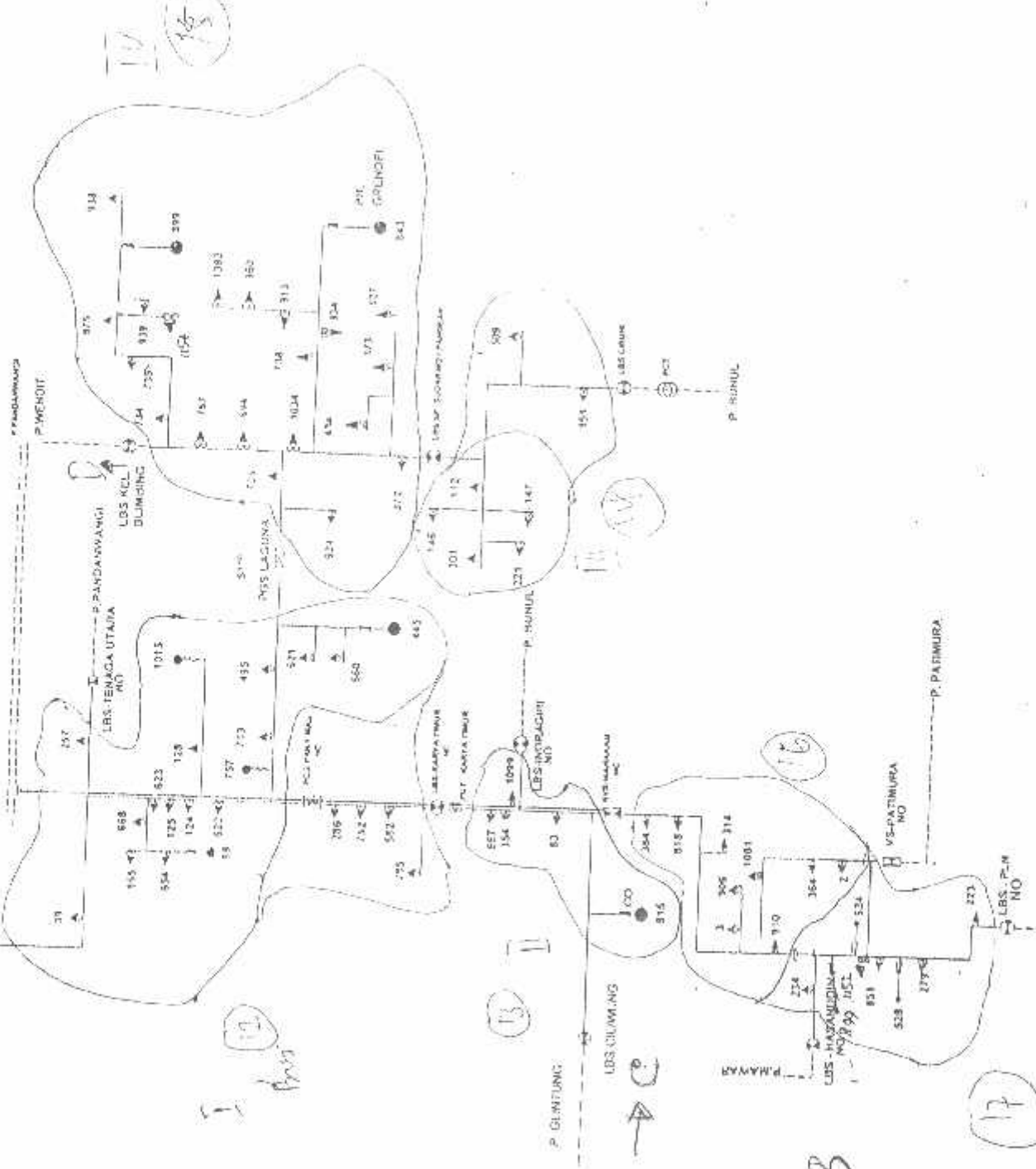
- DISNAHLAR	CSPERIKSA	CSSETUJA
OPDST	GUJMAUD. D	ARIF H.

PT BUMN PERSECI
DISTRIBUSI JATIM
APLJ MALANG



DEWAHAN - DEWATA - DEWATA
OPORT - BUMN - ANPEN



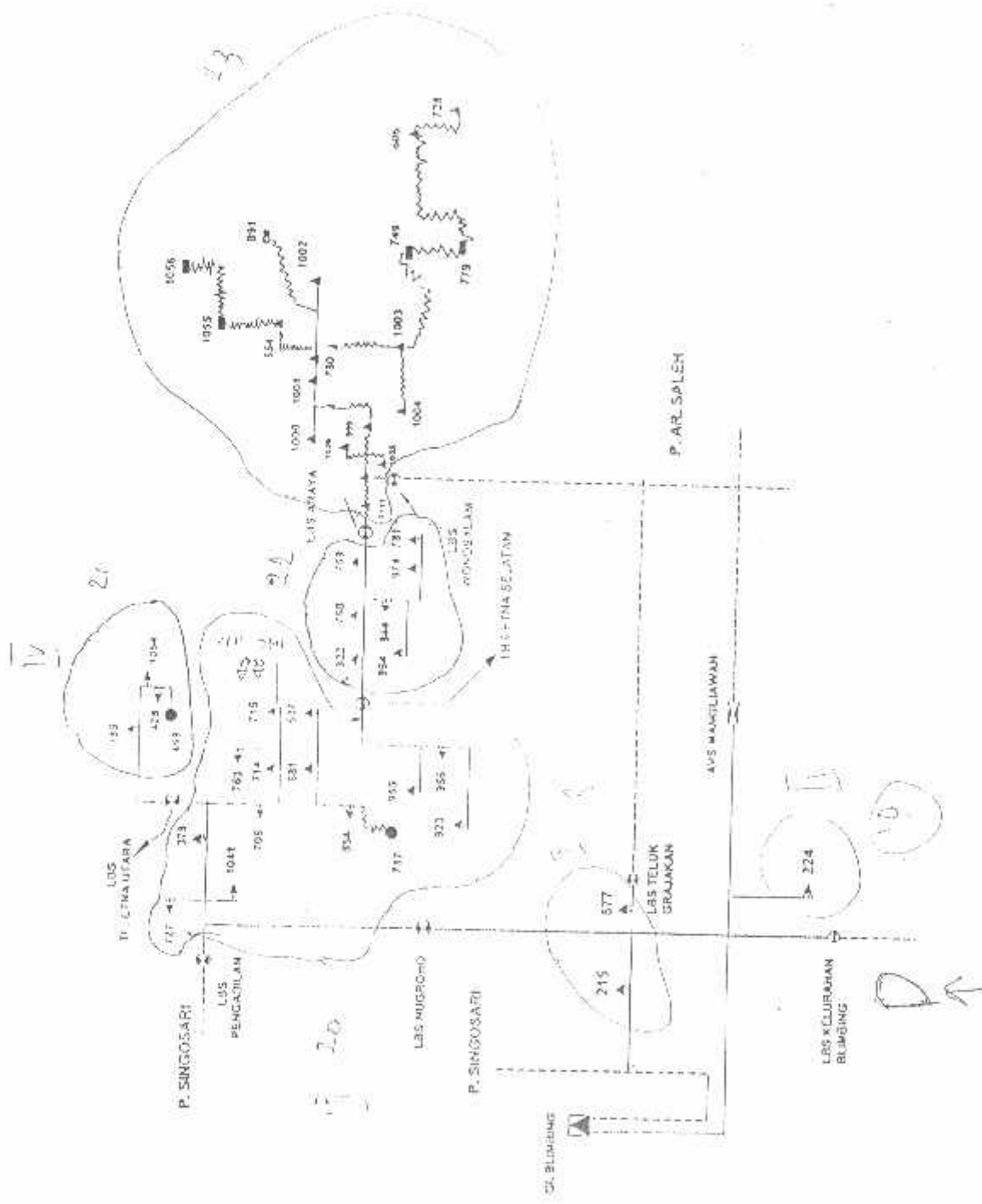


P. ASAHIAN
GI. BLIMMING

PT.PLN (PERSERO)
DISTRIBUSI JATIM
APLJ MALANG

三

卷之三



PT.PLN (PERSERO)
DISTRIBUSI JATIM
APL MALANG

P. WENDT
GI. BLUMING

Amid P. H.

Tabel A5
Pengelompokan Switch

Penyalang	Seksi	Switch	Jumlah Beban (kVA)
Mawar	1	1	1533.64
	2	2	1268.78
	3	3	1515.48
	4	4	1192.34
	5	5	279.03
	6	6	785.5
Glintung	1	7	522.35
	2	8	652.88
	3	9	581.78
	4	10	1868.64
Asahan	1	11	221.42
	2	12	103.44
	3	13	497.68
	4	14	496.39
	5	15	631.95
	6	16	159.23
Wendit	1	17	335.25
	2	18	67.27
	3	19	812.82
	4	20	177.95
	5	21	398.54
	6	22	288.5

**Panjang Saluran
Penyalang
Mawar**

Ket	Bus						
	1 ke 2	2 ke 3	3 ke 4	4 ke 5	5 ke 6	6 ke 7	7 ke 8
Panjang Saluran (m)	25	202	98	48	364	15	102
	35	239	147	369	149	184	922
	385	121	49	254	207	49	37
	123	195	343	54	44	425	259
	102	390	210	141	10	12	563
	172	25	254	230		231	130
	213	314	45				377
	245	169	25				15
	25	334	132				161
	302	42	213				292
	230	232	65				135
	238	141	191				168
	144	42	201				251
	385	149	321				123
	385	174	166				47
	321	77	252				492
	335	168	73				
	51	117	35				
	233	194	120				
	110	68	52				
	70	297	41				
	65	222	163				
	70	167	25				
	360	132	697				
	89	32	73				
	335	133	49				
	140	29					
	170	195					
	175	144					
	300	138					
	319	325					
	222	91					
	50						
Jumlah (km)	6,424	5,298	4,040	1,096	0,774	0,916	4,074

Perhitungan
 Panjang Saluran
 Penyalang
 Glintung

Ket	Bus				
	1 ke 9	9 ke 10	10 ke 11	11 ke 12	12 ke 13
Panjang Saluran (m)	120	145	174	18	50
	183	75	150	227	150
	306	19	37.5	85	145
	106	63	86	39.5	34
	19	150	146	101	35
	252	40	392	79	102
	143	41		241	265
	247	252		51	215
	98	86		348	25
	84	202		35	159
		150		296	140
					103
					49
					154
					195
					120
					119
					37
					295
					85
					254
					256
					37
					231
Jumlah (km)	1,558	1,223	0,986	1,521	3,255

Perhitungan
Panjang Saluran
Penyulang
Asahan

Ket	Bus					
	1 ke 14	14 ke 15	15 ke 16	16 ke 17	14 ke 18	18 ke 19
Panjang Saluran (m)	40	372	39	123	40	122
	56,2	46	20	334	48	231
	40,8	49,8	433	100	43	35
	37,4	368	233	130	46	50
	54	78	150	327	48,5	320
	40	742	44	66	32,5	52
	84		42	164	48,5	560
	85		223	265	205	
	44,4		17,3	185	169	
	12		65	122	35	
	62,5			35	120	
	63,5			220	120	
	30			61	40	
				60	45	
				147	93	
				32	100	
				102	466	
Jumlah (km)				39	49	
				50	134	
				265	340	
				75	80	
				48	45	
				20	91,2	
				111	62,5	
				20	364	
					50	
					240	
					184	
Jumlah (km)	0,650	1,565	1,266	3,101	3,340	1,370

Permitangan
 Panjang Saluran
 Penyulang
 Wendorit

Ket	Bus			
	1 ke 20	20 ke 21	21 ke 22	21 ke 23
Panjang Saluran (m)	35	94,5	251	345
	137	80	722	355
	164	381	40	308
	500	67	262	42
	266	192	130	192
	234	20	50	67
	322	178		670
	38	60		30
		187		275
		96		266
		247		130
		42		30
		192		355
		97		275
		345		322
		355		500
		147		
		140		
		43		
		308		
		30		
		135		
		37		
		670		
		190		
		47		
		45		
		30		
		275		
		60		
		355		
		40		
		188		
		366		
Jumlah (km)	1,696	5,739	1,455	4,162

Tabel A1
Data Beban Penyulang Penyulang Mawar

Seksi (switch)	No. Trafo	Nominal (kVA)	Persen Beban %	Baban Trafo (kVA)
1	186	150	0	0
	764	200	67.74	135.47
	588	160	60.05	96.08
	424	250	70.69	176.73
	1124	200	37.26	74.52
	270	150	81.99	122.98
	775	250	57.18	142.96
	744	160	82.66	132.25
	306	160	49.6	79.35
	1069	100	69.3	69.3
	370	150	0	0
	455	250	59.38	148.46
	1101	100	83.31	83.31
	369	150	0	0
	425	100	47.88	47.88
	605	100	61.25	61.25
	542	150	55.69	83.54
	1108	100	79.56	79.56
Jumlah				1533.64
2	253	150	82.21	123.32
	1157	160	47.45	75.92
	737	250	57.79	144.48
	193	250	78.23	195.57
	284	150	69.1	103.65
	920	100	48.39	48.39
	290	150	86.08	129.12
	585	200	71.17	142.34
	615	250	70.19	175.47
	408	200	65.26	130.52
	972	200	0	0
	Jumlah			
	527	150	60.46	90.69
	543	150	60.3	90.45

	390	150	56.06	84.1
	485	200	45.84	91.69
3	305	160	66.85	106.96
	741	160	50.26	80.42
	133	150	0	0
	584	160	81.3	130.08
	230	200	67.14	134.29
	110	150	73.33	110
	409	150	75.43	113.14
4	231	160	71.27	114.04
	32	100	67.87	67.87
	335	150	68.67	103.01
	1079	100	28.67	28.67
	520	160	44.83	71.73
	358	150	65.56	98.34
	Jumlah			1515.48
	235	150	60.46	90.69
	315	150	60.3	90.45
5	1093	150	56.06	84.1
	729	200	45.84	91.69
	38	160	66.85	106.96
	15	160	50.26	80.42
	706	150	0	0
	1071	160	81.3	130.08
	21	200	78.23	195.57
	244	150	73.33	110
	36	150	65.56	98.34
	237	160	71.27	114.04
Jumlah			1192.34	
	240	160	52.25	83.6
	22	150	86.18	129.27
	323	150	0	0
	150	100	66.16	66.16
	Jumlah			279.03
	1095	100	86.58	86.58
	565	160	1.29	2.06
	361	160	0	0
	777	250	62.26	155.65
	53	150	84	126

6	265	150	53.82	80.73
	1084	200	0	0
	570	160	50.31	80.5
	122	150	97.23	145.84
	412	160	0	0
	100	100	25.76	25.76
	689	160	0	0
	857	200	21.95	43.9
	460	1250	0	0
	937	160	0	0
	273	200	19.24	38.48
	Jumlah			785.5

Tabel A2
Data Beban Penyulang Penyulang Glintung

Seksi (switch)	No. Trafo	Nominal (kVA)	Persen Beban %	Baban Trafo (kVA)
7	195	200	78.98	157.96
	39	200	77.29	154.58
	996	200	0	0
	575	160	37.26	59.62
	141	200	75.1	150.19
	1125	340	0	0
	93	100	0	0
	Jumlah			522.35
8	536	160	63.07	100.91
	281	160	0	0
	51	250	71.59	178.98
	1080	100	79.55	79.55
	1160	100	0	0
	148	250	42.59	106.48
	210	400	0	0
	16	250	74.78	186.96
	1119	630	0	0
	Jumlah			652.88
	211	150	85.57	128.35

	40	250	75.91	189.77
9	398	160	42.79	68.46
	153	160	68.61	109.78
	1133	200	42.71	85.42
	Jumlah			
				581.78
	165	200	73.16	146.32
	107	100	53.82	53.82
10	762	100	0	0
	437	100	75.73	75.73
	142	160	105.4	168.63
	449	250	0	0
	1145	160	0	0
	860	200	39.16	78.32
	1043	200	0	0
	432	200	14.63	29.25
	262	200	18.29	36.57
	114	150	16.25	24.38
	173	250	0	0
	598	150	81.21	121.81
	138	160	72.35	115.76
	166	160	29.11	46.58
	703	250	84	210.01
	35	250	55.39	138.48
	59	160	55.41	98.65
	75	200	76.5	153
	137	150	69.9	104.85
	85	200	34.78	69.55
	529	160	9	14.4
	320	150	68.47	102.71
	58	150	52.88	79.33
	156	100	10.49	10.49
	Jumlah			
				1868.64

Tabel A.3
Data Beban Penyulang Penyulang Asahan

Seksi (switch)	No. Trafo	Nominal (kVA)	Persen Beban %	Beban Trafo (kVA)
11	267	100	80.46	80.46
	668	250	0	0
	865	200	0	0
	654	100	0	0
	88	250	0	0
	623	200	0	0
	125	150	15.38	23.07
	124	200	3.01	6.02
	128	100	3.16	3.16
	1015	630	0	0
	622	100	0	0
	757	630	0	0
	739	100	0	0
	495	200	17.18	34.35
	621	100	0	0
	660	160	0	0
	445	630	0	0
	286	200	37.18	74.36
	752	200	0	0
	582	160	0	0
	285	25	0	0
Jumlah				221.42
12	667	160	0	0
	354	160	2.88	4.6
	1099	100	46.86	46.86
	83	100	51.98	51.98
	815	630	0	0
Jumlah				103.44
13	112	200	66.04	132.08
	146	250	57.29	143.22
	147	250	42.78	106.95
	301	100	76.04	76.04
	221	160	24.62	39.39
Jumlah				497.68

	924	200	0	0
	726	160	7.48	11.96
	694	160	0	0
	767	160	0	0
	734	160	15.53	24.84
	735	160	33.9	54.24
	875	100	36.9	36.9
14	939	100	0	0
	899	1250	0	0
	938	200	18.42	36.84
	1034	100	0	0
	738	200	49.56	99.12
	834	160	0	0
	913	100	0	0
	960	160	0	0
	1082	100	16.01	16.01
	434	160	0	0
	373	160	46.31	74.1
	843	2600	0	0
	372	250	56.95	142.38
	Jumlah			496.39
	384	75	21.9	16.43
	818	100	33.53	33.53
	314	150	82.26	123.39
15	3	200	84.97	169.94
	906	100	0	0
	1081	160	54.31	86.9
	364	150	43.8	65.7
	2	200	68.03	136.06
	910	100	0	0
	Jumlah			631.95
	234	100	62.65	62.65
	624	630	0	0
	851	160	0	0
	528	630	0	0
	279	200	48.29	96.58
	223	75	0	0
16	899	1250	0	0
	Jumlah			159.23

Tabel A4
Data Beban Penyulang Penyulang Wendit

Seksi (switch)	No. Trafo	Nominal (kVA)	Persen Beban %	Beban Trafo (kVA)
17	215	200	51.41	102.83
	577	250	92.97	232.42
	Jumlah			335.25
18	224	160	42.04	67.27
	Jumlah			67.27
19	727	160	0	0
	1041	100	0	0
	378	160	95.05	152.08
	705	50	0	0
	714	160	49.44	79.1
	763	160	70.54	112.86
	715	160	63.83	102.12
	681	150	40.14	60.21
	537	200	61.71	123.42
	854	100	45.98	45.98
	717	1250	0	0
	955	200	16.42	32.83
	956	100	55.18	55.18
	923	160	30.65	49.04
Jumlah				812.82
20	185	150	0	0
	1054	160	74.59	119.34
	428	100	58.61	58.61
	469	630	0	0
	Jumlah			177.95
21	822	200	44.29	88.58
	768	160	22.06	35.3
	769	160	55.02	88.03
	864	200	27.69	55.39
	844	200	37.3	74.61
	974	160	21.41	34.26
	781	200	11.19	22.37

		Jumlah		398,54
	1035	200	0	0
22	1036	160	66,62	106,59
	999	25	0	0
	1000	200	35,31	70,62
	1001	200	8,06	16,13
	780	160	3,44	5,5
	554	160	0	0
	1055	200	5,72	11,44
	1056	20	0	0
	891	200	0	0
	1002	200	2,89	5,77
	1004	100	47,03	47,03
	1003	160	1,11	1,78
	749	25	7,14	1,78
	779	200	1	2,01
	606	160	12,4	19,85
	728	160	0	0
	1041	0	0	0
	Jumlah			288,5

```
unit uSetting;

interface

uses
  Windows, Messages, SysUtils, Variants, Classes, Graphics, Controls, Forms,
  Dialogs, ComCtrls, StdCtrls, ScktComp;

type
  TfrmSetting = class(TForm)
    ClientSocket1: TClientSocket;
    ClientSocket2: TClientSocket;
    ClientSocket3: TClientSocket;
    ClientSocket4: TClientSocket;
    Label4: TLabel;
    Label3: TLabel;
    Label2: TLabel;
    Label1: TLabel;
    edtServer1: TEdit;
    edtServer2: TEdit;
    edtServer3: TEdit;
    edtServer4: TEdit;
    CheckBox4: TCheckBox;
    CheckBox3: TCheckBox;
    CheckBox2: TCheckBox;
    CheckBox1: TCheckBox;
    btnClose: TButton;
    StatusBar1: TStatusBar;
    procedure btnCloseClick(Sender: TObject);
    procedure CheckBox1Click(Sender: TObject);
    procedure CheckBox2Click(Sender: TObject);
    procedure CheckBox3Click(Sender: TObject);
    procedure CheckBox4Click(Sender: TObject);
    procedure ClientSocket1Connecting(Sender: TObject;
      Socket: TCustomWinSocket);
    procedure ClientSocket2Connecting(Sender: TObject;
      Socket: TCustomWinSocket);
    procedure ClientSocket3Connecting(Sender: TObject;
      Socket: TCustomWinSocket);
    procedure ClientSocket4Connecting(Sender: TObject;
      Socket: TCustomWinSocket);
    procedure FormCreate(Sender: TObject);
    procedure ClientSocket1Disconnect(Sender: TObject;
      Socket: TCustomWinSocket);
    procedure ClientSocket2Disconnect(Sender: TObject;
      Socket: TCustomWinSocket);
  end;
```

```
procedure ClientSocket3Disconnect(Sender: TObject;
  Socket: TCustomWinSocket);
procedure ClientSocket4Disconnect(Sender: TObject;
  Socket: TCustomWinSocket);
procedure ClientSocket1Read(Sender: TObject; Socket: TCustomWinSocket);
procedure ClientSocket2Read(Sender: TObject; Socket: TCustomWinSocket);
procedure ClientSocket3Read(Sender: TObject; Socket: TCustomWinSocket);
procedure ClientSocket4Read(Sender: TObject; Socket: TCustomWinSocket);
private
  { Private declarations }
  Buffer:array[0..9999] of char;
public
  { Public declarations }
end;

var
  frmSetting: TfrmSetting;

implementation

uses uHasil, uVarGlobal;

//uses uInputGen, uHasil, uVarGlobal;

{$R *.dfm}

procedure TfrmSetting.btnCloseClick(Sender: TObject);
begin
  Close;
end;

procedure TfrmSetting.CheckBox1Click(Sender: TObject);
begin
  if not ClientSocket1.Active then
  begin
    ClientSocket1.Address:= edtServer1.Text;
  end;
  ClientSocket1.Active:= CheckBox1.Checked;
end;

procedure TfrmSetting.CheckBox2Click(Sender: TObject);
begin
  if not ClientSocket2.Active then
  begin
    ClientSocket2.Address:= edtServer2.Text;
  end;

```

```
CientSocket2.Active:=CheckBox2.Checked;
end;

procedure TfrmSetting.CheckBox3Click(Sender: TObject);
begin
  if not ClientSocket3.Active then
  begin
    ClientSocket3.Address:= edtServer3.Text;
  end;
  ClientSocket3.Active:=CheckBox3.Checked;
end;

procedure TfrmSetting.CheckBox4Click(Sender: TObject);
begin
  if not ClientSocket4.Active then
  begin
    ClientSocket4.Address:= edtServer4.Text;
  end;
  ClientSocket4.Active:=CheckBox4.Checked;
end;

procedure TfrmSetting.ClientSocket1Connecting(Sender: TObject;
  Socket: TCustomWinSocket);
begin
  StatusBar1.Panels[0].Text:='PC1 Connect';
end;

procedure TfrmSetting.ClientSocket2Connecting(Sender: TObject;
  Socket: TCustomWinSocket);
begin
  StatusBar1.Panels[1].Text:='PC2 Connect';
end;

procedure TfrmSetting.ClientSocket3Connecting(Sender: TObject;
  Socket: TCustomWinSocket);
begin
  StatusBar1.Panels[2].Text:='PC3 Connect';
end;

procedure TfrmSetting.ClientSocket4Connecting(Sender: TObject;
  Socket: TCustomWinSocket);
begin
  StatusBar1.Panels[3].Text:='PC4 Connect';
end;

procedure TfrmSetting.FormCreate(Sender: TObject);
```

```
begin
  StatusBar1.Panels[0].Text:='PC1 Disconnect';
  StatusBar1.Panels[1].Text:='PC2 Disconnect';
  StatusBar1.Panels[2].Text:='PC3 Disconnect';
  StatusBar1.Panels[3].Text:='PC4 Disconnect';
end;

procedure TfrmSetting.ClientSocket1Disconnect(Sender: TObject;
  Socket: TCustomWinSocket);
begin
  StatusBar1.Panels[0].Text:='PC1 Disconnect';
end;

procedure TfrmSetting.ClientSocket2Disconnect(Sender: TObject;
  Socket: TCustomWinSocket);
begin
  StatusBar1.Panels[1].Text:='PC2 Disconnect';
end;

procedure TfrmSetting.ClientSocket3Disconnect(Sender: TObject;
  Socket: TCustomWinSocket);
begin
  StatusBar1.Panels[2].Text:='PC3 Disconnect';
end;

procedure TfrmSetting.ClientSocket4Disconnect(Sender: TObject;
  Socket: TCustomWinSocket);
begin
  StatusBar1.Panels[3].Text:='PC4 Disconnect';
end;

procedure TfrmSetting.ClientSocket1Read(Sender: TObject;
  Socket: TCustomWinSocket);
var strData:TStringList;
  Stream:TMemoryStream;
  terima,count:integer;
begin
  strData:=TStringList.Create;
  Stream:=TMemoryStream.Create;
  count:=0;
  try
    while true do
    begin
      Terima:=Socket.ReceiveBuf(Buffer,sizeof(Buffer));
      if Terima<=0 then
        begin
```

```
        break;
    end
else
begin
    Stream.Write(Buffer,Terima);
    inc(count);
end;
Sleep(200);
end;
Stream.Position:=0;
strData.LoadFromStream(Stream);
finally
    Stream.Free;
end;
if count=0 then
begin
    Exit;
end;
if strData.Strings[0]='FileData' then
begin
    frmHasil.lbxPesan1.Items.Clear;
    frmHasil.lbxPesan1.Items.Add(strData.Strings[1]);
end
else if strData.Strings[0]='Param' then
begin
    frmHasil.lbxPesan1.Items.Clear;
    frmHasil.lbxPesan1.Items:=strData;
    strPC1:=strData.Text;
    statPC1:=true;
end
else if strData.Strings[0]='Execute' then
begin
    frmHasil.lbxPesan1.Items.Clear;
    frmHasil.lbxPesan1.Items:=strData;
    strPC1:=strData.Text;
    statPC1:=true;
end;
strData.Free;
end;

procedure TfrmSetting.ClientSocket2Read(Sender: TObject;
  Socket: TCustomWinSocket);
var strData:TStringList;
  Stream:TMemoryStream;
  terima,count:integer;
begin
```

```
strData:=TStringList.Create;
Stream:=TMemoryStream.Create;
count:=0;
try
  while true do
  begin
    Terima:=Socket.ReceiveBuf(Buffer,sizeof(Buffer));
    if Terima<=0 then
    begin
      break;
    end
    else
    begin
      Stream.Write(Buffer,Terima);
      inc(count);
    end;
    Sleep(200);
  end;
  Stream.Position:=0;
  strData.LoadFromStream(Stream);
finally
  Stream.Free;
end;
if count=0 then
begin
  Exit;
end;
if strData.Strings[0]='FileData' then
begin
  frmHasil.lbxPesan2.Items.Clear;
  frmHasil.lbxPesan2.Items.Add(strData.Strings[1]);
end
else if strData.Strings[0]='Param' then
begin
  frmHasil.lbxPesan2.Items.Clear;
  frmHasil.lbxPesan2.Items:=strData;
  strPC2:=strData.Text;
  statPC2:=true;
end
else if strData.Strings[0]='Execute' then
begin
  frmHasil.lbxPesan2.Items.Clear;
  frmHasil.lbxPesan2.Items:=strData;
  strPC2:=strData.Text;
  statPC2:=true;
end;
```

```
strData.Free;
end;

procedure TfrmSetting.ClientSocket3Read(Sender: TObject;
  Socket: TCustomWinSocket);
var strData:TStringList;
  Stream:TMemoryStream;
  Terima,count:integer;
begin
  strData:=TStringList.Create;
  Stream:=TMemoryStream.Create;
  count:=0;
  try
    while true do
    begin
      Terima:=Socket.ReceiveBuf(Buffer,sizeof(Buffer));
      if Terima<=0 then
        begin
          break;
        end
      else
        begin
          Stream.Write(Buffer,Terima);
          inc(count);
        end;
      Sleep(200);
    end;
    Stream.Position:=0;
    strData.LoadFromStream(Stream);
  finally
    Stream.Free;
  end;
  if count=0 then
    begin
      Exit;
    end;
  if strData.Strings[0]='FileData' then
    begin
      frmHasil.lbxPesan3.Items.Clear;
      frmHasil.lbxPesan3.Items.Add(strData.Strings[1]);
    end
  else if strData.Strings[0]='Param' then
    begin
      frmHasil.lbxPesan3.Items.Clear;
      frmHasil.lbxPesan3.Items:=strData;
      strPC3:=strData.Text;
    end
  end;
```

```
statPC3:=true;
end
else if strData.Strings[0]='Execute' then
begin
  frmHasil.lbxPesan3.Items.Clear;
  frmHasil.lbxPesan3.Items:=strData;
  strPC3:=strData.Text;
  statPC3:=true;
end;
strData.Free;
end;

procedure TfrmSetting.ClientSocket4Read(Sender: TObject;
  Socket: TCustomWinSocket);
var strData:TStringList;
  Stream:TMemoryStream;
  terima,count:integer;
begin
  strData:=TStringList.Create;
  Stream:=TMemoryStream.Create;
  count:=0;
try
  while true do
  begin
    Terima:=Socket.ReceiveBuf(Buffer,sizeof(Buffer));
    if Terima<=0 then
    begin
      break;
    end
    else
    begin
      Stream.Write(Buffer,Terima);
      inc(count);
    end;
    Sleep(200);
  end;
  Stream.Position:=0;
  strData.LoadFromStream(Stream);
finally
  Stream.Free;
end;
if count=0 then
begin
  Exit;
end;
if strData.Strings[0]='FileData' then
```

```
begin
  frmHasil.lbxPesan4.Items.Clear;
  frmHasil.lbxPesan4.Items.Add(strData.Strings[1]);
end
else if strData.Strings[0]='Param' then
begin
  frmHasil.lbxPesan4.Items.Clear;
  frmHasil.lbxPesan4.Items:=strData;
  strPC4:=strData.Text;
  statPC4:=true;
end
else if strData.Strings[0]='Execute' then
begin
  frmHasil.lbxPesan4.Items.Clear;
  frmHasil.lbxPesan4.Items:=strData;
  strPC4:=strData.Text;
  statPC4:=true;
end;
strData.Free;
end;

end.
```

```
unit uMenu;

interface

uses
  Windows, Messages, SysUtils, Variants, Classes, Graphics, Controls, Forms,
  Dialogs, ComCtrls, StdCtrls, ExtCtrls;

type
  TfrmMenu = class(TForm)
    Panel1: TPanel;
    btnNew: TButton;
    btnOpen: TButton;
    btnSetting: TButton;
    StatusBar1: TStatusBar;
    Panel2: TPanel;
    btnExit: TButton;
    Label1: TLabel;
    Label2: TLabel;
    Label3: TLabel;
    Label4: TLabel;
    procedure btnNewClick(Sender: TObject);
    procedure btnOpenClick(Sender: TObject);
    procedure btnExitClick(Sender: TObject);
    procedure btnSettingClick(Sender: TObject);
  private
    { Private declarations }
  public
    { Public declarations }
  end;

var
  frmMenu: TfrmMenu;

implementation

uses uInputLFChild,uComplex, uUtils, uLoadflow, uSetting;

{$R *.dfm}

procedure TfrmMenu.btnNewClick(Sender: TObject);
begin
  try
    if frmInput=nil then
      begin
        frmInput:=TfrmInputLFChild.Create(Application);
      end;
  except
  end;
end;
```

```
end;
frmInput.Caption:='Input Data';
frmInput.btnExit.Caption:='&Save';
frmInput.ShowModal;
finally
  frmInput.Free;
end;
end;

procedure TfrmMenu.btnOpenClick(Sender: TObject);
var NamaFile,Nama:string;
  output:TextFile;
  i,j,Typ,dari,ke,Nbus,Nsal,Param,Ngen,NCable:integer;
  Cap,absV,sudV,Fg,Qg,PL,QL,CapSal,Pmin,Pmax,Harga,Length:double;
  R,X,Lc,Tr,Tu,Su,VKonst,PKonst,Pbase,Vbase:double;
  FileStream:TFileStream;
  str:TStringList;
begin
try
  if OpenDialog1.Execute then
  begin
    NamaFile:=OpenDialog1.FileName;
    FileStream:=TFileStream.Create(NamaFile,
      fmOpenRead or fmShareDenyWrite);
    str:=TStringList.Create;
    str.LoadFromStream(FileStream);
    frmSetting.ClientSocket1.Socket.SendText(str.Text);
    frmSetting.ClientSocket2.Socket.SendText(str.Text);
    frmSetting.ClientSocket3.Socket.SendText(str.Text);
    frmSetting.ClientSocket4.Socket.SendText(str.Text);
    str.Free;
    FileStream.Free;
    AssignFile(output,NamaFile);
    Reset(output);
    Readln(output,Nbus);
    Readln(output,Nsal);
    Readln(output,Vbase);
    Readln(output,VKonst);
    Readln(output,Pbase);
    Readln(output,PKonst);
    Readln(output,param);
    gParamLF.Vbase:=Vbase;
    gParamLF.VKonst:=VKonst;
    gParamLF.Pbase:=Pbase;
    gParamLF.PKonst:=PKonst;
    if Param=1 then
```

```
begin
  gParamLF.ParamBranch:=pbPu;
end
else if Param=2 then
begin
  gParamLF.ParamBranch:=pbOhm;
end;
gParamLF.MaxIterasi:=15;
gParamLF.Toleransi:=0.0001;
try
  frmInput:=TfrmInputLFChild.Create(Application);
  frmInput.edtNbus.Text:=IntToStr(Nbus);
  frmInput.edtNsal.Text:=IntToStr(Nsal);
  frmInput.edtVbase.Text:=FloatToStr(Vbase);
  if VKonst=1 then
    begin
      frmInput.cmbVKonst.Text:='V';
    end
  else if VKonst=1000 then
    begin
      frmInput.cmbVKonst.Text:='kV';
    end
  else if VKonst=1000000 then
    begin
      frmInput.cmbVKonst.Text:='MV';
    end;
  frmInput.edtPhase.Text:=FloatToStr(Phase);
  if PKonst=1 then
    begin
      frmInput.cmbPKonst.Text:='VA';
      frmInput.fgBus.Cells[3,0]:='Pg (W)';
      frmInput.fgBus.Cells[4,0]:='Qg (VAR)';
      frmInput.fgBus.Cells[5,0]:='PL (W)';
      frmInput.fgBus.Cells[6,0]:='QL (VAR)';
      frmInput.fgBranch.Cells[9,0] :='Kap (VA)';
      frmInput.fgBranch.Cells[10,0]:=P (W)';
      frmInput.fgBranch.Cells[11,0]:=Q (VAR)';
      frmInput.fgBranch.Cells[16,0]:=P (W)';
      frmInput.fgBranch.Cells[17,0]:=Q (VAR)';
    end
  else if PKonst=1000 then
    begin
      frmInput.cmbPKonst.Text:='kVA';
      frmInput.fgBus.Cells[3,0]:='Pg (kW)';
      frmInput.fgBus.Cells[4,0]:='Qg (kVAR)';
      frmInput.fgBus.Cells[5,0]:='PL (kW)';
    end
  end
end;
```

```

frmInput.fgBus.Cells[6,0]:='QL (kVAR)';
frmInput.fgBranch.Cells[9,0] :='Kap (kVA)';
frmInput.fgBranch.Cells[10,0]:='P (kW)';
frmInput.fgBranch.Cells[11,0]:='Q (kVAR)';
frmInput.fgBranch.Cells[16,0]:='P (kW)';
frmInput.fgBranch.Cells[17,0]:='Q (kVAR)';
end
else if PKonst=1000000 then
begin
  frmInput.cmbPKonst.Text:='MVA';
  frmInput.fgBus.Cells[3,0]:='Pg (MW)';
  frmInput.fgBus.Cells[4,0]:='Qg (MVAR)';
  frmInput.fgBus.Cells[5,0]:='PL (MW)';
  frmInput.fgBus.Cells[6,0]:='QL (MVAR)';
  frmInput.fgBranch.Cells[9,0] :='Kap (MVA)';
  frmInput.fgBranch.Cells[10,0]:='P (MW)';
  frmInput.fgBranch.Cells[11,0]:='Q (MVAR)';
  frmInput.fgBranch.Cells[16,0]:='P (MW)';
  frmInput.fgBranch.Cells[17,0]:='Q (MVAR)';
end;
if param=1 then
begin
  frmInput.cmbParam.Text:='pu';
  frmInput.fgBranch.Cells[3,0]:='R (pu)';
  frmInput.fgBranch.Cells[4,0]:='X (pu)';
  frmInput.fgBranch.Cells[5,0]:='Lc (pu)';
  frmInput.fgBus.Cells[7,0]:='Cap (pu)';
end
else if param=2 then
begin
  frmInput.cmbParam.Text:='ohm';
  frmInput.fgBranch.Cells[3,0]:='R (ohm)';
  frmInput.fgBranch.Cells[4,0]:='X (ohm)';
  frmInput.fgBranch.Cells[5,0]:='Lc (ohm)';
  frmInput.fgBus.Cells[7,0]:='Cap (ohm)';
end;
SetLength(gBus,Nbus);
for i:=0 to Nbus-1 do
begin
  Readln(output.absV,sudV,Pg,Qg,PL,QL,Cap,Typ);
  gBus[i].absV:=absV;
  gBus[i].sudV:=sudV;
  gBus[i].Pgen:=Pg;
  gBus[i].Qgen:=Qg;
  gBus[i].PL:=PL;
  gBus[i].QL:=QL;

```

```

gBus[i].Cap:= Cap;
gBus[i].typeBus:=Typ;
frmInput.fgBus.Cells[0,i+1]:=IntToStr(i+1);
frmInput.fgBus.Cells[1,i+1]:=FloatToStr(absV);
frmInput.fgBus.Cells[2,i+1]:=FloatToStr(sudV);
frmInput.fgBus.Cells[3,i+1]:=FloatToStr(Pg);
frmInput.fgBus.Cells[4,i+1]:=FloatToStr(Qg);
frmInput.fgBus.Cells[5,i+1]:=FloatToStr(PL);
frmInput.fgBus.Cells[6,i+1]:=FloatToStr(QL);
frmInput.fgBus.Cells[7,i+1]:=FloatToStr(Cap);
frmInput.fgBus.Cells[8,i+1]:=IntToStr(typ);
end;
SetLength(gBranch.Nsal);
for i:=0 to Nsal-1 do
begin
  Readln(output,dari,ke,R,X,Lc,Tr,Tu,Su,CapSal);
  gBranch[i].dari:=dari;
  gBranch[i].ke:=ke;
  gBranch[i].R:=R;
  gBranch[i].X:=X;
  gBranch[i].Lc:=Lc;
  gBranch[i].Tr:=Tr;
  gBranch[i].Tu:=Tu;
  gBranch[i].Su:=Su;
  gBranch[i].KapSal:=CapSal;
  frmInput.fgBranch.Cells[0,i+1]:=IntToStr(i+1);
  frmInput.fgBranch.Cells[1,i+1]:=IntToStr(dari);
  frmInput.fgBranch.Cells[2,i+1]:=IntToStr(ke);
  frmInput.fgBranch.Cells[3,i+1]:=FloatToStr(R);
  frmInput.fgBranch.Cells[4,i+1]:=FloatToStr(X);
  frmInput.fgBranch.Cells[5,i+1]:=FloatToStr(Lc);
  frmInput.fgBranch.Cells[6,i+1]:=FloatToStr(Tr);
  frmInput.fgBranch.Cells[7,i+1]:=FloatToStr(Tu);
  frmInput.fgBranch.Cells[8,i+1]:=FloatToStr(Su);
  frmInput.fgBranch.Cells[9,i+1]:=FloatToStr(CapSal);
end;
Readln(output,Ngen);
if Ngen<>0 then
begin
  frmInput.fgGen.RowCount:=Ngen+1;
  SetLength(gGenLF,Ngen);
  for i:=0 to Ngen-1 do
  begin
    Readln(output,dari,R,X,Lc,Tr,Tu,Su,CapSal,Pmin,Pmax);
    gGenLF[i].bus:=dari;
    gGenLF[i].Qmin:=R;
  end;
end;

```

```

gGenLF[i].Qmax:=X;
gGenLF[i].a2:=l.c;
gGenLF[i].a1:=Tr;
gGenLF[i].a0:=Tu;
gGenLF[i].FixCost:=Su;
gGenLF[i].VarCost:=CapSal;
gGenLF[i].Pmin:=Pmin;
gGenLF[i].Pmax:=Pmax;
frmInput.fgGen.Cells[0,i+1]:=IntToStr(i+1);
frmInput.fgGen.Cells[1,i+1]:=IntToStr(gGenLF[i].bus);
frmInput.fgGen.Cells[2,i+1]:=RealToStr(gGenLF[i].Qmin,2);
frmInput.fgGen.Cells[3,i+1]:=RealToStr(gGenLF[i].Qmax,2);
frmInput.fgGen.Cells[4,i+1]:=RealToStr(gGenLF[i].a2,5);
frmInput.fgGen.Cells[5,i+1]:=RealToStr(gGenLF[i].a1,5);
frmInput.fgGen.Cells[6,i+1]:=RealToStr(gGenLF[i].a0,5);
frmInput.fgGen.Cells[7,i+1]:=RealToStr(gGenLF[i].FixCost,2);
frmInput.fgGen.Cells[8,i+1]:=RealToStr(gGenLF[i].VarCost,2);
frmInput.fgGen.Cells[9,i+1]:=RealToStr(gGenLF[i].Pmin,2);
frmInput.fgGen.Cells[10,i+1]:=RealToStr(gGenLF[i].Pmax,2);
end;
end
else
begin
  frmInput.fgGen.RowCount:=2;
end;
CloseFile(output);
frmInput.Caption:='Tampilan Data';
frmInput.btnExit.Caption:='&Next';
frmInput.ShowModal;
finally
  frmInput.Free;
end;
end;
except
  MessageDlg('File Corrupt atau Error Program!',mtWarning,[mbOK],0);
end;
end;

procedure TfrmMenu.btnExitClick(Sender: TObject);
begin
  Application.Terminate;
end;

procedure TfrmMenu.btnSettingClick(Sender: TObject);
begin
  frmSetting.Show;

```

```
btnOpen.Enabled:=true;
```

```
end;
```

```
end.
```

```
unit uInputLFChild;

interface

uses uInputLF,SysUtils,uHasil,Forms;

type
  TfrmInputLFChild=class(TfrmInputLF)
  protected
    procedure ShowHasil;override;
  end;

var frmInput:TfrmInputLFChild;

implementation

uses uLoadflow;

procedure TfrmInputLFChild.ShowHasil;
begin
try
  if frmHasil=nil then
  begin
    frmHasil:=TfrmHasil.Create(Application);
  end;
  frmHasil.fgBus.Cells[0,0]:='Bus';
  frmHasil.fgBus.Cells[1,0]:='absV (pu)';
  frmHasil.fgBus.Cells[2,0]:='sudV (deg)';
  frmHasil.fgBus.Cells[7,0]:='Sups (pu)';
  frmHasil.fgBus.Cells[8,0]:='Type Bus';
  frmHasil.fgBranch.Cells[0,0]:='No';
  frmHasil.fgBranch.Cells[1,0]:='Dari';
  frmHasil.fgBranch.Cells[2,0]:='Ke';
  frmHasil.fgBranch.Cells[5,0]:='Arus re (A)';
  frmHasil.fgBranch.Cells[6,0]:='Arus im (A)';
  frmHasil.fgBranch.Cells[7,0]:='Dari';
  frmHasil.fgBranch.Cells[8,0]:='Ke';
  frmHasil.fgBranch.Cells[11,0]:='Arus re (A)';
  frmHasil.fgBranch.Cells[12,0]:='Arus im (A)';
  frmHasil.fgBus2.Cells[0,0]:='Bus';
  frmHasil.fgBus2.Cells[1,0]:='absV (pu)';
  frmHasil.fgBus2.Cells[2,0]:='sudV (deg)';
  frmHasil.fgBus2.Cells[7,0]:='Sups (pu)';
  frmHasil.fgBus2.Cells[8,0]:='Type Bus';
  frmHasil.fgBranch2.Cells[0,0]:='No';
  frmHasil.fgBranch2.Cells[1,0]:='Dari';
```

```

frmHasil.fgBranch2.Cells[2,0]:='Ke';
frmHasil.fgBranch2.Cells[5,0]:='Arus re (A)';
frmHasil.fgBranch2.Cells[6,0]:='Arus im (A)';
frmHasil.fgBranch2.Cells[7,0]:='Dari';
frmHasil.fgBranch2.Cells[8,0]:='Ke';
frmHasil.fgBranch2.Cells[11,0]:='Arus re (A)';
frmHasil.fgBranch2.Cells[12,0]:='Arus im (A)';
if gParamLF.PKonst=1 then
begin
  frmHasil.fgBus.Cells[3,0]:='Pg (W)';
  frmHasil.fgBus.Cells[4,0]:='Qg (VAR)';
  frmHasil.fgBus.Cells[5,0]:='PL (W)';
  frmHasil.fgBus.Cells[6,0]:='QL (VAR)';
  frmHasil.fgBranch.Cells[3,0]:='P (W)';
  frmHasil.fgBranch.Cells[4,0]:='Q (VAR)';
  frmHasil.fgBranch.Cells[9,0]:='P (W)';
  frmHasil.fgBranch.Cells[10,0]:='Q (VAR)';
  frmHasil.lblGen.Caption:='VA';
  frmHasil.lblLoad.Caption:='VA';
  frmHasil.lblLoss.Caption:='VA';
  frmHasil.fgBus2.Cells[3,0]:='Pg (W)';
  frmHasil.fgBus2.Cells[4,0]:='Qg (VAR)';
  frmHasil.fgBus2.Cells[5,0]:='PL (W)';
  frmHasil.fgBus2.Cells[6,0]:='QL (VAR)';
  frmHasil.fgBranch2.Cells[3,0]:='P (W)';
  frmHasil.fgBranch2.Cells[4,0]:='Q (VAR)';
  frmHasil.fgBranch2.Cells[9,0]:='P (W)';
  frmHasil.fgBranch2.Cells[10,0]:='Q (VAR)';
  frmHasil.lblGen2.Caption:='VA';
  frmHasil.lblLoad2.Caption:='VA';
  frmHasil.lblLoss2.Caption:='VA';
  frmHasil.lblLossP.Caption:='VA';
  frmHasil.lblLossN.Caption:='VA';
end
else if gParamLF.PKonst=1000 then
begin
  frmHasil.fgBus.Cells[3,0]:='Pg (kW)';
  frmHasil.fgBus.Cells[4,0]:='Qg (kVAR)';
  frmHasil.fgBus.Cells[5,0]:='PL (kW)';
  frmHasil.fgBus.Cells[6,0]:='QL (kVAR)';
  frmHasil.fgBranch.Cells[3,0]:='P (kW)';
  frmHasil.fgBranch.Cells[4,0]:='Q (kVAR)';
  frmHasil.fgBranch.Cells[9,0]:='P (kW)';
  frmHasil.fgBranch.Cells[10,0]:='Q (kVAR)';
  frmHasil.lblGen.Caption:='kVA';
  frmHasil.lblLoad.Caption:='kVA';

```

```

frmHasil.lblLoss.Caption:='kVA';
frmHasil.fgBus2.Cells[3,0]:='Pg (kW)';
frmHasil.fgBus2.Cells[4,0]:='Qg (kVAR)';
frmHasil.fgBus2.Cells[5,0]:='PL (kW)';
frmHasil.fgBus2.Cells[6,0]:='QL (kVAR)';
frmHasil.fgBranch2.Cells[3,0]:='P (kW)';
frmHasil.fgBranch2.Cells[4,0]:='Q (kVAR)';
frmHasil.fgBranch2.Cells[9,0]:='P (kW)';
frmHasil.fgBranch2.Cells[10,0]:='Q (kVAR)';
frmHasil.lblGen2.Caption:='kVA';
frmHasil.lblLoad2.Caption:='kVA';
frmHasil.lblLoss2.Caption:='kVA';
frmHasil.lblLossP.Caption:='kVA';
frmHasil.lblLossN.Caption:='kVA';
end
else if gParamLF.PKonst=1000000 then
begin
  frmHasil.fgBus.Cells[3,0]:='Pg (MW)';
  frmHasil.fgBus.Cells[4,0]:='Qg (MVAR)';
  frmHasil.fgBus.Cells[5,0]:='PL (MW)';
  frmHasil.fgBus.Cells[6,0]:='QL (MVAR)';
  frmHasil.fgBranch.Cells[3,0]:='P (MW)';
  frmHasil.fgBranch.Cells[4,0]:='Q (MVAR)';
  frmHasil.fgBranch.Cells[9,0]:='P (MW)';
  frmHasil.fgBranch.Cells[10,0]:='Q (MVAR)';
  frmHasil.lblGen.Caption:='MVA';
  frmHasil.lblLoad.Caption:='MVA';
  frmHasil.lblLoss.Caption:='MVA';
  frmHasil.fgBus2.Cells[3,0]:='Pg (MW)';
  frmHasil.fgBus2.Cells[4,0]:='Qg (MVAR)';
  frmHasil.fgBus2.Cells[5,0]:='PL (MW)';
  frmHasil.fgBus2.Cells[6,0]:='QL (MVAR)';
  frmHasil.fgBranch2.Cells[3,0]:='P (MW)';
  frmHasil.fgBranch2.Cells[4,0]:='Q (MVAR)';
  frmHasil.fgBranch2.Cells[9,0]:='P (MW)';
  frmHasil.fgBranch2.Cells[10,0]:='Q (MVAR)';
  frmHasil.lblGen2.Caption:='MVA';
  frmHasil.lblLoad2.Caption:='MVA';
  frmHasil.lblLoss2.Caption:='MVA';
  frmHasil.lblLossP.Caption:='MVA';
  frmHasil.lblLossN.Caption:='MVA';
end;
frmHasil.fgBus.RowCount:=StrToInt(edtNbus.Text)+1;
frmHasil.fgBranch.RowCount:=StrToInt(edtNsal.Text)+1;
frmHasil.fgBus2.RowCount:=StrToInt(edtNbus.Text)+1;
frmHasil.fgBranch2.RowCount:=StrToInt(edtNsal.Text)+1;

```

```
    frmHasil.ShowModal;  
  finally  
    frmHasil.Free;  
  end;  
end;  
  
end.
```

```
unit uHasi';

interface

uses
  Windows, Messages, SysUtils, Variants, Classes, Graphics, Controls, Forms,
  Dialogs, StdCtrls, ExtCtrls, TeEngine, Series, TeeProcs, Chart, Grids,
  ComCtrls;

type
  TfrmHasil = class(TForm)
    TabSheet2: TTabSheet;
    TabSheet3: TTabSheet;
    TabSheet4: TTabSheet;
    TabSheet9: TTabSheet;
    Panel1: TPanel;
    btnClose: TButton;
    btnHitung: TButton;
    TabSheet1: TTabSheet;
    TabSheet5: TTabSheet;
    TabSheet6: TTabSheet;
    TabSheet7: TTabSheet;
    PageControl1: TPageControl;
    btnCreate: TButton;
    TabSheet8: TTabSheet;
    fGBus: TStringGrid;
    fGBranch: TStringGrid;
    GroupBox6: TGroupBox;
    Label8: TLabel;
    Label9: TLabel;
    Label10: TLabel;
    Label11: TLabel;
    Label12: TLabel;
    lblGen: TLabel;
    lblLoad: TLabel;
    lblLoss: TLabel;
    edtSumGen: TEdit;
    edtSumLoad: TEdit;
    edtSumLoss: TEdit;
    edtIterasi: TEdit;
    edtTime: TEdit;
    GroupBox2: TGroupBox;
    Label6: TLabel;
    Label22: TLabel;
    edtNLoop: TEdit;
    cmbFault: TComboBox;
```

```
Label7: TLabel;
lbxPesan1: TListBox;
Label13: TLabel;
lbxPesan2: TListBox;
Label15: TLabel;
lbxPesan4: TListBox;
lbxPesan3: TListBox;
Label14: TLabel;
GroupBox4: TGroupBox;
Label18: TLabel;
edtmaxgen: TEdit;
Label19: TLabel;
edtpopsize: TEdit;
Label20: TLabel;
edtpcross: TEdit;
Label21: TLabel;
edtpmutasi: TEdit;
Label23: TLabel;
edtKa: TEdit;
lblPinalty: TLabel;
edtPinalty: TEdit;
TabSheet10: TTabSheet;
Chart1: TChart;
Series1: TLineSeries;
Series2: TLineSeries;
GroupBox1: TGroupBox;
Label1: TLabel;
Label2: TLabel;
Label3: TLabel;
Label4: TLabel;
Label5: TLabel;
lblGen2: TLabel;
lblLoad2: TLabel;
lblLoss2: TLabel;
edtSumGen2: TEdit;
edtSumLoad2: TEdit;
edtSumLoss2: TEdit;
edtIterasi2: TEdit;
edtTime2: TEdit;
fgBranch2: TStringGrid;
fgBus2: TStringGrid;
GroupBox5: TGroupBox;
fgOS: TStringGrid;
GroupBox3: TGroupBox;
Label16: TLabel;
Label17: TLabel;
```

```
lblLossP: TLabel;
lblLossN: TLabel;
editSebelum: TEdit;
editSesudah: TEdit;
btnUseDefault: TButton;
btnSendParam: TButton;
pbCount: TProgressBar;
procedure btnCloseClick(Sender: TObject);
procedure btnHitungClick(Sender: TObject);
procedure btnCreateClick(Sender: TObject);
procedure btnUseDefaultClick(Sender: TObject);
procedure FormCreate(Sender: TObject);
procedure edtNLoopChange(Sender: TObject);
procedure btnSendParamClick(Sender: TObject);
procedure cmbFaultClick(Sender: TObject);
private
  { Private declarations }
  function isDataOnList(const rStr:string;
    const rItems:TStrings):integer;
public
  { Public declarations }
end;

var
  frmHasil: TfrmHasil;

implementation

uses uUtils, uLoadflow, uNewtonRaphson, uComplex, uTopology,
  uRecursive,uMatrix, uFitness, uSetting, uVarGlobal;

{$R *.dfm}

var Nsal:integer;
  CostSebelum,CostSesudah:double;
  Data,DataAkhir:iArr1;

function TfrmHasil.isDataOnList(const rStr:string;
  const rItems:TStrings):integer;
var i:integer;
begin
  result:=-1;
  for i:=0 to rItems.Count-1 do
  begin
    if rStr=rItems[i] then
    begin
```

```

result:=i;
break;
end;
end;
end;

procedure TfrmHasil.btnCloseClick(Sender: TObject);
begin
  Close;
end;

procedure TfrmHasil.btnHitungClick(Sender: TObject);
var i,ia,ja,Nbus:integer;
  mulai,se' esai,selang:TDateTime;
  jam,menit,detik,mdetik:word;
  V,Sg,SL:CxArr1;
  Cap:dArr1;
  TypBus:iArr1;
  Z,Tp,Alir,Arus:CxArr2;
  Lc,Tr:dArr2;
  sw:TSwithArr1;
begin
  DecodeCommDataToLFData(gBus,Nbus,Nsal,V,Sg,SL,Cap,Ty'Bus,gBranch,
  Z,Tp,Lc,Tr);
  gZrec:=CopyMatrix(Z);
  Z[3,10]:=Cmplx(0,0);
  Z[8,12]:=Cmplx(0,0);
  Z[14,18]:=Cmplx(0,0);
  Z[4,15]:=Cmplx(0,0);
  btnUseDefault.Enabled:=true;
  mulai:=time;
  NewtonRaphson(gParamLF,V,Sg,SL,Cap,TypBus,Z,Tp,Alir,Arus,Lc,Tr);
  selesai:=time;
  selang:=selesai-mulai;
  Series1.Clear;
  for i:=0 to Nbus-1 do
  begin
    fgBus.Cells[0,i+1]:=IntToStr(i+1);
    fgBus.Cells[1,i+1]:=RealToStr(V[i].real,5);
    fgBus.Cells[2,i+1]:=RealToStr(V[i].imag*
      ANGLE_OF_DEGREES/ANGLE_OF_RADIAN,5);
    fgBus.Cells[3,i+1]:=RealToStr(Sg[i].real,3);
    fgBus.Cells[4,i+1]:=RealToStr(Sg[i].imag,3);
    fgBus.Cells[5,i+1]:=RealToStr(SL[i].real,3);
    fgBus.Cells[6,i+1]:=RealToStr(SL[i].irnag,3);
    fgBus.Cells[7,i+1]:=RealToStr(Cap[i],3);
  end;
end;

```

```

fgBus.Cells[8,i+1]:=IntToStr(TypBus[i]);
Series1.Add(V[i].real,IntToStr(i+1));
end;
for i:=0 to high(gBranch) do
begin
ia:=gBranch[i].dari-1;
ja:=gBranch[i].ke-1;
fgBranch.Cells[0,i+1]:=IntToStr(i+1);
fgBranch.Cells[1,i+1]:=IntToStr(ia+1);
fgBranch.Cells[2,i+1]:=IntToStr(ja+1);
fgBranch.Cells[3,i+1]:=RealToStr(Alir[ia,ja].real,3);
fgBranch.Cells[4,i+1]:=RealToStr(Alir[ia,ja].imag,3);
fgBranch.Cells[5,i+1]:=RealToStr(Arus[ia,ja].real,3);
fgBranch.Cells[6,i+1]:=RealToStr(Arus[ia,ja].imag,3);
fgBranch.Cells[7,i+1]:=IntToStr(ja+1);
fgBranch.Cells[8,i+1]:=IntToStr(ia+1);
fgBranch.Cells[9,i+1]:=RealToStr(Alir[ja,ia].real,3);
fgBranch.Cells[10,i+1]:=RealToStr(Alir[ja,ia].imag,3);
fgBranch.Cells[11,i+1]:=RealToStr(Arus[ja,ia].real,3);
fgBranch.Cells[12,i+1]:=RealToStr(Arus[ja,ia].imag,3);
end;
edtSumGen.Text:=toStringJ(gParamLF.SumGen,3);
edtSumLoad.Text:=toStringJ(gParamLF.SumLoad,3);
edtSumLoss.Text:=toStringJ(gParamLF.SumLoss,3);
edtIterasi.Text:=IntToStr(gParamLF.Iterasi);
DecodeTime(selang,jam,menit,detik,mdetik);
edtTime.Text:=IntToStr(jam)+':'+IntToStr(menit)+':'+
IntToStr(detik)+':'+IntToStr(mdetik);
CostSebelum:=gParamLF.SumLoss.real;
sw:=InitSwith(gZrec);
for i:=0 to high(sw) do
begin
cmbFault.Items.Add(IntToStr(sw[i].dari+1)+ '-' +
IntToStr(sw[i].ke+1));
end;
end;

procedure TfrmHasil.btnCreateClick(Sender: TObject);
var i,ia,ja,Nbus,Nsal,NFault,NLoop,pos:integer;
Fita1,Fita2,Fita3,Fita4:double;
jam,menit,detik,mdetik:word;
tesRadial:boolean;
mulai,selesai,selang:TDateTime;
str:TStringList;
Cap:dArr1;
Lc,Tr:dArr2;

```

```
TypBus,DataHasil,Data1:iArr1;
V,Sg,SL:CxArr1;
Zb,Tp,Alir,Arus:CxArr2;
fit:TFitness;
sw:TSwithArr1;
begin
//new code place here
mulai:=time;
statPC1:=false;
statPC2:=false;
statPC3:=false;
statPC4:=false;
pbCount.Max:=StrToInt(edtMaxGen.Text);
for i:=1 to StrToInt(edtMaxGen.Text) do
begin
str:=TStringList.Create;
//data from PC1 send to PC2
str.Text:=strPC1;
if str.Strings[0]='Param' then
begin
Data1:=DecodeStrToData(str.Strings[2]);
Fit1:=StrToFloat(str.Strings[3]);
end
else
begin
Data1:=DecodeStrToData(str.Strings[1]);
Fit1:=StrToFloat(str.Strings[2]);
end;
str.Clear;
str.Add('Execute');
str.Add(DecodeDataToStr(Data1));
str.Add(FloatToStr(Fit1));
frmSetting.ClientSocket2.Socket.SendText(str.Text);
//data from PC2 send to PC3
str.Clear;
str.Text:=strPC2;
if str.Strings[0]='Param' then
begin
Data1:=DecodeStrToData(str.Strings[2]);
Fit1:=StrToFloat(str.Strings[3]);
end
else
begin
Data1:=DecodeStrToData(str.Strings[1]);
Fit1:=StrToFloat(str.Strings[2]);
end;
```

```
str.Clear;
str.Add('Execute');
str.Add(DecodeDataToStr(Data1));
str.Add(FloatToStr(Fita1));
frmSetting.ClientSocket3.Socket.SendText(str.Text);
//data from PC3 send to PC4
str.Clear;
str.Text:=strPC3;
if str.Strings[0]='Param' then
begin
  Data1:=DecodeStrToData(str.Strings[2]);
  Fita1:=StrToFloat(str.Strings[3]);
end
else
begin
  Data1:=DecodeStrToData(str.Strings[1]);
  Fita1:=StrToFloat(str.Strings[2]);
end;
str.Clear;
str.Add('Execute');
str.Add(DecodeDataToStr(Data1));
str.Add(FloatToStr(Fita1));
frmSetting.ClientSocket4.Socket.SendText(str.Text);
//data from PC4 send to PC1
str.Clear;
str.Text:=strPC4;
if str.Strings[0]='Param' then
begin
  Data1:=DecodeStrToData(str.Strings[2]);
  Fita1:=StrToFloat(str.Strings[3]);
end
else
begin
  Data1:=DecodeStrToData(str.Strings[1]);
  Fita1:=StrToFloat(str.Strings[2]);
end;
str.Clear;
str.Add('Execute');
str.Add(DecodeDataToStr(Data1));
str.Add(FloatToStr(Fita1));
frmSetting.ClientSocket1.Socket.SendText(str.Text);
//end of send to All PC Client
repeat
  Application.ProcessMessages;
until (statPC1=true) and (statPC2=true) and (statPC3=true) and
  (statPC4=true);
```

```
statPC1:=false;
statPC2:=false;
statPC3:=false;
statPC4:=false;
str.Free;
pbCount.StepBy(1);
end;
str:=TStringList.Create;
str.Text:=strPC1;
Fita1:=StrToFloat(str.Strings[2]);
str.Clear;
str.Text:=strPC2;
Fita2:=StrToFloat(str.Strings[2]);
str.Clear;
str.Text:=strPC3;
Fita3:=StrToFloat(str.Strings[2]);
str.Clear;
str.Text:=strPC4;
Fita4:=StrToFloat(str.Strings[2]);
str.Clear;
pos:=1;
if Fita1<Fita2 then
begin
  Fita1:=Fita2;
  pos:=2;
end;
if Fita1<Fita3 then
begin
  Fita1:=Fita3;
  pos:=3;
end;
if Fita1<Fita4 then
begin
  pos:=4;
end;
str.Clear;
if pos=1 then
begin
  str.Text:=strPC1;
end
else if pos=2 then
begin
  str.Text:=strPC2;
end
else if pos=3 then
begin
```

```

str.Text:=strPC3;
end
else if pos=4 then
begin
  str.Text:=strPC4;
end;
DataHasil:=DecodeStrToData(str.Strings[1]);
str.Free;
NLoop:=StrToInt(edtNLoop.Text);
NFault:=isDataOnList(cmbFault.Text,cmbFault.Items);
fit:=TFitness.Create(NLoop,NFault,Data,DataAkhir);
sw:=fit.GetSwith(DataHasil);
fit.Free;
DecodeCommDataToLFData(gBus,Nbus,Nsal,V,Sg,SL,Cap,TypBus,gBranch,
Zb,Tp,Lc,Tr);
Zb:=BuatZBaru(gZrec,sw);
tesRadial:=TesJaringan(Zb);
if tesRadial=true then
begin
  NewtonRaphson(gParamLF,V,Sg,SL,Cap,TypBus,Zb,Tp,Alir,Arus,Lc,Tr);
end;
selesai:=time;
selang:=selesai-mulai;
Series2.Clear;
for i:=0 to Nbus-1 do
begin
  fgBus2.Cells[0,i+1]:=IntToStr(i+1);
  fgBus2.Cells[1,i+1]:=RealToStr(V[i].real,5);
  fgBus2.Cells[2,i+1]:=RealToStr(V[i].imag*
    ANGLE_OF_DEGREES/ANGLE_OF_RADIAN,5);
  fgBus2.Cells[3,i+1]:=RealToStr(Sg[i].real,3);
  fgBus2.Cells[4,i+1]:=RealToStr(Sg[i].imag,3);
  fgBus2.Cells[5,i+1]:=RealToStr(SL[i].real,3);
  fgBus2.Cells[6,i+1]:=RealToStr(SL[i].imag,3);
  fgBus2.Cells[7,i+1]:=RealToStr(Cap[i],3);
  fgBus2.Cells[8,i+1]:=IntToStr(TypBus[i]);
  Series2.Add(V[i].real,IntToStr(i-1));
end;
for i:=0 to high(gBranch) do
begin
  ia:=gBranch[i].dari-1;
  ja:=gBranch[i].ke-1;
  fgBranch2.Cells[0,i+1]:=IntToStr(i+1);
  fgBranch2.Cells[1,i+1]:=IntToStr(ia+1);
  fgBranch2.Cells[2,i+1]:=IntToStr(ja+1);
  fgBranch2.Cells[3,i+1]:=RealToStr(Alir[ia,ja].real,3);

```

```

fgBranch2.Cells[4,i+1]:=RealToStr(Alir[ia,ja].imag,3);
fgBranch2.Cells[5,i+1]:=RealToStr(Arus[ia,ja].real,3);
fgBranch2.Cells[6,i+1]:=RealToStr(Arus[ia,ja].imag,3);
fgBranch2.Cells[7,i+1]:=IntToStr(ja+1);
fgBranch2.Cells[8,i+1]:=IntToStr(ia+1);
fgBranch2.Cells[9,i+1]:=RealToStr(Alir[ja,ia].real,3);
fgBranch2.Cells[10,i+1]:=RealToStr(Alir[ja,ia].imag,3);
fgBranch2.Cells[11,i+1]:=RealToStr(Arus[ja,ia].real,3);
fgBranch2.Cells[12,i+1]:=RealToStr(Arus[ja,ia].imag,3);
end;
edtSumGen2.Text:=toStringJ(gParamLF.SumGen,3);
edtSumLoad2.Text:=toStringJ(gParamLF.SumLoad,3);
edtSumLoss2.Text:=toStringJ(gParamLF.SumLoss,3);
edtIterasi2.Text:='3';
DecodeTime(selang,jam,menit,detik,mdetik);
edtTime2.Text:=IntToStr(jam)+':'+IntToStr(menit)+':'+
  IntToStr(detik)+':'+IntToStr(mdetik);
CostSesudah:=gParamLF.SumLoss.real;
edtSebelum.Text:=FormatFloat('#,##0.000',CostSebelum);
edtSesudah.Text:=FormatFloat('#,##0.000',CostSesudah);
for i:=0 to 3 do
begin
  fgOS.Cells[0,i+1]:=IntToStr(i+1);
  fgOS.Cells[1,i+1]:=IntToStr(sw[i].dari+1);
  fgOS.Cells[2,i+1]:=IntToStr(sw[i].ke+1);
end;
end;

procedure TfrmHasil.btnUseDefaultClick(Sender: TObject);
begin
  edtNLoop.Text:='4';
  fgOS.RowCount:=StrToInt(edtNLoop.Text)+1;
  edtmaxgen.Text:='50';
  edtpopsize.Text:='10';
  edtpcross.Text:='0.75';
  edtpmutasi.Text:='0.001';
  edtKa.Text:='10';
  edtPinality.Text:='1000';
end;

procedure TfrmHasil.FormCreate(Sender: TObject);
begin
  fgOS.Cells[0,0]:='No';
  fgOS.Cells[1,0]:='Asal';
  fgOS.Cells[2,0]:='Tujuan';
end;

```

```
procedure TfrmHasil.edtNLoopChange(Sender: TObject);
begin
  if edtNLoop.Text="" then
    begin
      fgOS.RowCount:=2;
    end
  else
    begin
      fgOS.RowCount:=StrToInt(edtNLoop.Text)+1;
    end;
end;

procedure TfrmHasil.btnSendParamClick(Sender: TObject);
var str:TStringList;
  strData,strDataAkhir:string;
  MaxGen,PopSize,Length,NLoop,NFault:integer;
  pcross,pmutasi,Ka:double;
begin
  statPC1:=false;
  statPC2:=false;
  statPC3:=false;
  statPC4:=false;
  str:=TStringList.Create;
  NLoop:=StrToInt(edtNLoop.Text);
  NFault:=isDataOnList(cmbFault.Text,cmbFault.Items);
  MaxGen:=StrToInt(edtMaxGen.Text);
  PopSize:=StrToInt(edtPopSize.Text);
  Length:=high(gBranch)+1;
  pcross:=StrToFloat(edtPCross.Text);
  pmutasi:=StrToFloat(edtPMutasi.Text);
  Ka:=StrToFloat(edtKa.Text);
  SetLength(Data,NLoop);
  SetLength(DataAkhir,NLoop);
  Data[0]:=0;
  Data[1]:=0;
  Data[2]:=0;
  Data[3]:=0;
  DataAkhir[0]:=5;
  DataAkhir[1]:=25;
  DataAkhir[2]:=25;
  DataAkhir[3]:=25;
  strData:=DecodeDataToStr(Data);
  strDataAkhir:=DecodeDataToStr(DataAkhir);
  str.Add('Param');
  str.Add(IntToStr(NLoop));
```

```
str.Add(IntToStr(NFault));
str.Add(IntToStr(MaxGen));
str.Add(IntToStr(PopSize));
str.Add(IntToStr(Length));
str.Add(FloatToStr(pcross));
str.Add(FloatToStr(pmutasi));
str.Add(FloatToStr(Ka));
str.Add(strData);
str.Add(strDataAkhir);
frmSetting.ClientSocket1.Socket.SendText(str.Text);
frmSetting.ClientSocket2.Socket.SendText(str.Text);
frmSetting.ClientSocket3.Socket.SendText(str.Text);
frmSetting.ClientSocket4.Socket.SendText(st.Text);
str.Free;
btnCreate.Enabled:=true;
end;

procedure TfrmHasil.cmbFaultClick(Sender: TObject);
begin
  btnSendParam.Enabled:=true;
end;

end.
```

Puji syukur ALHAMDULILLAH atas nikmat dan rakhmad yang telah diberikan oleh allah swt tanpa hidayahnya manusia tak mungkin bisa mengetahui mana yang benar dan mana yang salah, hanya allah yang memberiku jalan kemudahan bagiku sehingga dapat menyelesaikan tugas skripsi ini
"alhamdulillah ya allah"

Tak lupa juga shalawat serta salam mudah²han tercurahkan pada junjungan nabi besar Muhammad saw, beliau adalah panutan seluruh umat " khulafa'ul anbiya' "

Buat my family : sembah sujud aku acapkan terima kasih atas doa dan restu ibu/bapak karna sudah memberikanku yang terbaik membimbingku dari kecil dan selalu sabar dalam mendidik aku, tanpa kasih sayang dan ketulusan kalian aku tak mungkin bisa berhasil dan untuk selanjutnya sekali lagi aku minta doa dan restumu agar bisa jadi orang sukses. "kaKak2+suaMi" yang selalu mengerti aku "poNakan2" Muhammad uLul albab yg cepet berEsar dan pintar "tanTe+oM" yang sering menasehati aku "ePupuku" isma, vivin, Firda, riF'an, lutfi. Tua kalian sdh2 yang terbaik "eyAng terCinta almarhum" makasih. Mat wasiatnya semoga aku bisa jadi orang sukses Amin.

Buat someone yang selalu memberiku motifasi dan semangat, mendoakanku, dan selalu setia menemani "my soulmate AINTku you're everything for me without you i can't do anything "

pAra sobatku in BALI "kute" team KUDA BINAL : gomad yang sllu miss me, fery,gondo,ragil (jabLi),topeng,om sin,rozi,d'Urasit,"Adeku" ICA,gondaL, andRe,Doel, kapan2 aku maen kesana Guys.

" dlan athoillah (persik)" akhirnya kita bisa lulus bareng prend aku yakin setiap ada kesulitan pasti ada kemudahan dAn akhirnya kita bisa mElewatinya he..he..... tHanks buat tips menggaet CEWEX."Acong & iTa"maKasih jurnalnya dan semoga kalian tetep langgeng "budi Kurniawan" yaNg selalu setia ngajak maju bimbingaN bareng , "mas zAin" tetep semangat & maju trus, "Hadi surya" iLove you prend cepetan Lulus, pak-De, ary, deny, hurry, suryo, padang, iMam,iMron,Holillul, temen kontrak "Emprit dLu tmen baekQ kenangan bale kambang",Hemo dLu teman Masak "mBah gas" dLu tmen wkt jomblo, sapi yang cool banget dAn berhati sabar, aa' hEndro, Edwin+dyah, suEb, ja'On (si pecundang), Temen'ku yang udah lulus duluAn aku tetep iNgat sm kenangan kita Fahmi, yuda, bremi, samsul, ulum, ubet, anang, krebet, ucoK, didik, iRwan,ebEt,dan semuanya alumni itN